

THE ZEEMAN EFFECTS IN RUTHENIUM I

By

J. Rand McNally, Jr.
B.S., Boston College
June, 1939

Submitted in Partial Fulfillment of the
Requirements for the Degree of
Master of Science
from the
Massachusetts Institute of Technology
June, 1941

Signature of Author _____

Department of Physics, May 22, 1941.

Signature of Professor in

Charge of Research _____

Signature of Chairman of Department *O'Neill*

Committee on Graduate Students

/ ()



Room 14-0551
77 Massachusetts Avenue
Cambridge, MA 02139
Ph: 617.253.2800
Email: docs@mit.edu
<http://libraries.mit.edu/docs>

DISCLAIMER OF QUALITY

Due to the condition of the original material, there are unavoidable flaws in this reproduction. We have made every effort possible to provide you with the best copy available. If you are dissatisfied with this product and find it unusable, please contact Document Services as soon as possible.

Thank you.

Some pages in the original document contain text that runs off the edge of the page.

Table of Contents

- I. Introduction.
- II. Experimental Procedure.
- III. Discussion of Term Classifications.
- IV. Method of Analysis.
- V. Discussion of Results.
- VI. Acknowledgments.
- VII. References.
- VIII. Figures.
- IX. Tables.

Introduction

Ruthenium is a hard, brittle, gray metal belonging to the platinum group and occurring native with the other metals of this group. The element is a member of the fifth period in the Periodic Table and has atomic number $Z = 44$. Of the fifth period triad, Ru, Rh, Pd, the most complex arc spectrum is that emitted by ruthenium. The complexity of the spectrum is due to the unclosed 4d shell of electrons which gives rise to three overlapping configurations. The configurations, d^7s , d^6s^2 , d^8 , lie in close energy correspondence to one another and hence contribute to the production of thousands of observable spectrum lines. The M.I.T. Wavelength Tables¹ list over 2800 strong ruthenium lines while McFee² has ascribed 6970 lines to the arc spectrum of ruthenium. In the card catalog compiled by the M.I.T. - W.P.A. wave-length project well over 8000 lines have been definitely assigned to this element. From a consideration of the terms arising from the three basic electron configurations and their first excited states, the author has roughly estimated that over 40,000 combinations are possible.

The first attempt at analyzing this complex spectrum was made by Kayser³ who published several interval pairs recurring in the wave-number list. In a later investiga-

tion of the wave-number system, Paulson⁴ assigned 548 arc lines to a group of 18 low levels. Of Kayser's initial attempt only two intervals (938, 601) were accepted by Paulson. Slight errors exist in the values given by both investigators because the use of wave-numbers without reduction to vacuum was made. The 18 low levels found by Paulson include almost all levels since found up to 15,060 wave-numbers. Levels not present in his list are those for which $J = 0$ or 1 and a triplet and singlet G term.

Meggers and Laporte⁵ grouped a number of under-water-spark absorption lines in multiplets, establishing the lowest term of Ru I as a probable 5D term. In a second investigation⁶ which included Zeeman effects for 9 lines (unresolved triplets), they reassigned the low term as 5F . This resulted in the classification of a number of lines into 18 multiplets involving 20 terms.

In 1925, Sommer⁷ measured the Zeeman effects of five Ru I lines to two figures after the decimal. The following year he published an article⁸ containing the classification of 920 lines arising from combinations of 113 energy levels. Of these levels he determined g values for 63. The field strength was determined from zinc impurity lines to be 29,500 oersted with a probable error of ± 0.5 percent. The experimental details provided no means of separating the different polarizations in the emitted light so that the interpretation of data was difficult.

The availability at M.I.T. of magnetic fields⁹ of

three-fold the intensity used by previous investigators made possible increased magnetic resolution and hence greater accuracy in the determinations of g values. The results of the analysis of 450 resolved patterns, including g values for 140 levels to ± 0.003 unit have been published in the Physical Review by Harrison and the present writer.¹⁰

In the present research more than 2380 spectrum lines emitted by the normal ruthenium atom have been classified. Observed Zeeman effects have been included in the Table IX. The energy system comprises 249 levels of which there are 39 low even levels, 188 middle odd levels, and 22 high even levels. L and S values¹¹ have been assigned where meaningful, although strong perturbations of neighboring levels make the assignment doubtful in a few cases.

The present work revealing the applications of Zeeman effects to the analysis of a complex spectrum might well be considered a tribute to the original investigator in this field.¹²

Experimental Procedure

A mixture of one part of ruthenium metal powder and five parts of silver powder was compressed at 20,000 lbs. per square inch to form electrodes of 1/8 inch thickness. After sintering, the electrodes were turned to round rods and pointed to permit maximum steadiness and brightness in the horizontal arc.⁹ The Bitter magnet especially designed for Zeeman effect investigations⁹ was used to produce fields in the neighborhood of 100,000 oersteds. Light from the arc taken transverse to the field was reflected longitudinally down the solenoid axis (Figure I) and separated into its two polarized components (p and n) by means of a 50-mm diameter Rochon prism. One plane-polarized beam was focused on the slit of grating H after a single reflection from a plane mirror. Because of the speed of the G grating only a small fraction of the oppositely polarized beam struck the G slit; the remainder was reflected to a concave mirror and refocused on the F slit. In this way three gratings were in simultaneous operation from the single arc source. The characteristics of these three gratings are given in Table I.

In order to photograph both p and n components on the same set of plates, the Rochon prism was rotated through 180°, thus inverting the positions of the two polarizations. A field-free exposure was taken partially overlapping the

two field exposures as shown in Figure 2. To obtain optimum magnetic resolution, the magnet current was held constant to 0.1 percent during each exposure. Currents up to 10,000 amperes were used to produce the various field intensities (Table II). These field strengths were calculated to an accuracy of ± 0.3 percent from the Zeeman patterns of the resonance lines of AgI, CuI, and CaII, which were found as impurities.

The different spectra were measured in both directions by means of an automatic comparator^{13,14} (Figure 3) which gave data from which g values were deduced to ± 0.003 unit. Typical films taken by the automatic comparator are shown in Figure 4. A few cases of badly overlapped or barely resolved patterns necessitated visual setting in order to obtain interpretable data. For many unresolved patterns of the shading intensity type the automatic comparator gave accurately the maximum intensity component. An example of this is included in Figure 4. By applying a simple linear equation to the separation of the two intensity peaks and assuming the g value most accurately known, the second g value can be obtained to almost as precise accuracy.

The enormous amount of work entailed in hand setting on so many components would have made this investigation almost impossible. With the aid of the automatic comparator this work was reduced to a minimum. Complete plates containing several spectra are now measured in less than fif-

teen minutes each, including time for shifting the comparator carriage to the various components and running each spectrum in both directions.

Discussion of Term Classifications

As has been mentioned, previous investigators²⁻⁸ have classified many of the strong lines appearing in the arc spectrum of ruthenium. The most complete classification² accounted for about 1100 spectrum lines and contained 115 energy levels. Since a greater part of the arc spectrum was still unclassified it was deemed necessary to extend this initial array of levels. Both the Zeeman effect and the Harrison interval sorter¹⁵ were utilized in furthering the classification of lines. The present analysis contains 2380 classified lines of which Zeeman effects for 600 have been observed.

The three basic electron configurations in RuI are d^7s , d^6s^2 , and d^8 , which in the excited states become d^7p , d^6sp , and d^7p , respectively. The ground state had been determined previously as a quintet F term arising from the d^7s configuration. The parent term, 4F , has been found by Meggers and Shenstone¹⁶; thus the lowest term is completely expressed as $4d^7(^4F) \cdot 5s(^5F)$. All the low even terms arising from a given electron configuration are in accordance with Hund's rule:-

Configuration	Predicted	Observed
$4d^75s$	5_F	a^5_F
$4d^65s^2$	5_D	a^5_D
$4d^8$	3_F	b^3_F

The assignment of b^3F and b^3P , to the d^8 configuration

is based on the apparently slight configuration interaction which exists between d^8 and the other two configurations. Overlapping terms from these three configurations exhibit strong interactions between the d^7 's and the d^6s^2 values only; the interactions are carried over into the highly perturbed g values. The levels for $J = 3, 4$ in the d^8 configuration show little perturbation and give an excellent example of the Pauli g sum rule.¹⁹ g sums for the various configurations have been arranged in Table V.

The totality of terms arising from the five different electrons is arranged in Table IV with completely observed terms underlined. The predominance of the $4d^75s$ and $4d^75p$ configurations has lightened the task of analysis immensely. In assigning L and S values to the levels, consideration has been given to term g values as well as to the intensity combinations. This has been very useful in the unscrambling of highly perturbed terms, as in the case¹⁰ of $a^5D_2(1.232)$ and $a^3F_2(1.089)$. Initially these term designations were interchanged but a consideration of their g values indicates the validity of their present designations. The perturbations existing in these two terms and the neighboring $a^5P_2(1.563)$ can be accounted for almost wholly as a common perturbation. A consideration of the g sums for these three terms and the slightly perturbed $b^3F_2(0.764)$ shows an almost perfect LS-coupling g sum:-

Term	g_{LS}	g_{Meas}
a^5P_2	1.833	1.563

(over)

Term	gLS	gMeas	(cont)
a^5D_2	1.500	1.232	
a^3F_2	0.667	1.089	
b^3F_2	<u>0.667</u>	<u>0.764</u>	
g sum	4.667	4.648	
Difference	0.019		

Thus, it is evident that the g value of a^3F_2 is most highly perturbed, whereas b^3F_2 is least perturbed.

As one moves up in the energy spectrum the recognition of L and S values becomes increasingly difficult and in many cases loses all meaning. The sharing of the L and S quantum numbers by close-lying levels completely destroys the meaning of definite quantum numbers. For this reason designations have not been assigned to many of the high odd levels. It is significant, however, that all the odd levels up to 45,500 cm^{-1} have had quantum numbers assigned to them with the exception of three questionable levels. These three levels may be from the $4d^65s(^4D) \cdot 5p$ configuration from which no terms have been found. It is more probable that the levels are purely fortuitous since none shows a good Zeeman pattern.

The discovery of a high odd group of terms, ${}^3, {}^5D^0 F^0 G^0$, as well as high quintet and triplet F terms indicates that the second series members of both d^7 's and $d^7 p$ have been established. The calculation of limits for the different series has been made with the help of Rydberg Interpolation Tables.¹⁷ Calculations indicate a limit for the d^7 's

series at about 61,000 cms.⁻¹ and for the d⁷p series at about 57,000 cms.⁻¹ above the ground state a⁵F₅. The difference in limits is due to a variation in the quantum defect for different type series as well as within a given series.

This variation in the quantum defect is more pronounced in cases involving an s electron than a p electron. No definite conclusions can be drawn from the limits of the d⁷p series because of the overlapping of these terms. In the d⁷s series, however, four limits are roughly defined and they exhibit approximately the separations in the ⁴F ground state of RuII.¹⁶

<u>Term</u>	<u>Limit</u>	<u>Average</u>	<u>Interval</u>	<u>RuII</u>
5F ₅	61,250	60,850		
3F ₄	60,450		2280	1520
5F ₄	63,230			
5F ₃	63,150	63,130		
3F ₃	63,020		710	970
5F ₂	63,960			
3F ₂	63,730	63,840	580	610
5F ₁	64,420	64,420		

The analysis has revealed a total of 62 terms comprising 3 septets, 16 quintets, 30 triplets, and 13 singlets. In combinationstthese terms and the numbered levels account for all intense lines except for a few at very long wavelengths. Attempts have been made to fit these lines into the array with no success.

The identification of the ⁷F⁰levels of small J value

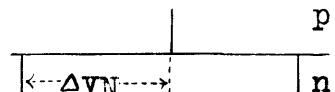
was not made until RuI was compared to FeI. Comparisons of the $3d^64s4p$ of FeI and $4d^65s5p$ of RuI led to the discovery of the sought-for levels within a few wave-numbers of the predicted positions. The marked similarity between the two elements as regards relative separations of terms within a given configuration is indicative of a close correspondence in the binding energy of the p electrons.

Method of Analysis

In its widest sense the Zeeman effect¹² consists in the broadening of spectrum lines emitted by a light source immersed in a magnetic field. In a uniform field, single spectrum lines split up into several components which are generally symmetrical about the zero-field position. Although the arc source ordinarily emits unpolarized light, these magnetic components are polarized. Viewed in a direction parallel to the field the light is circularly polarized, whereas when viewed in a direction perpendicular to the field the light is plane polarized. To observe all frequencies of light emitted by such a source it is necessary to view it perpendicular to the magnetic lines of force. The light consisting of vibrations parallel to the field is denoted by p, and that composed of vibrations perpendicular to the field by n.

Classical considerations of the effect of a magnetic field on a source of light lead to the following relation between the field intensity and the separation of the components:

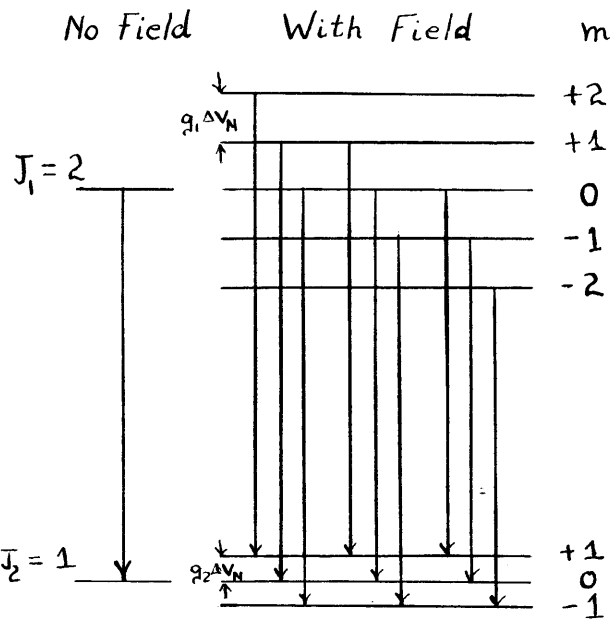
$$\Delta v_N = H e / 4mc^2,$$



where Δv_N is the shift in wave-numbers of the n components from the unshifted p component, H is the field intensity in oersteds, e is the electronic charge (e.s.u.), and c is the velocity of light. This equation determines the separation

in the normal triplet. The majority of spectrum lines exhibit anomalous Zeeman effects in that several p and n components occur. The magnetic field splits up each zero-field level into $(2J + 1)$ magnetic sub-levels, where J is the total inner quantum number of the particular level. The separation between these sub-levels is usually constant for a given level and is measured in units of Δv_N . The magnetic quantum number, m , which defines these sub-levels, takes all values in integral steps from $m = J$ to $m = -J$. Combinations between magnetic levels are allowed with the quantum restriction that m can change by 0 or 1. That is, $m = 0, \pm 1$, with $dm = 0$ defining the p components and $dm = \pm 1$ defining the n components.

An illustration is given here of the transition between two states $J = 2$ and $J = 1$.

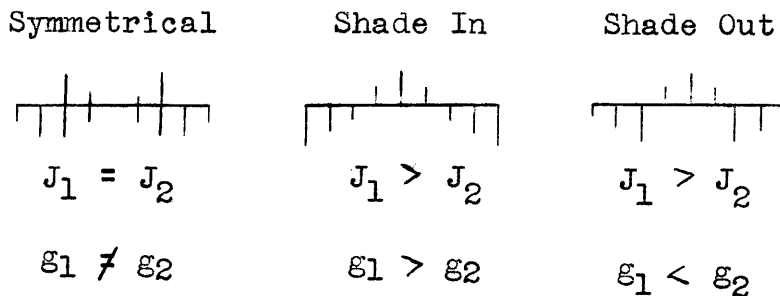


Intensity rules¹⁸ indicate that for unequal J values the strongest p component (or components) occurs for the combinations between levels of smallest m value, while the strongest n component occurs for combination between highest

m values. The equation satisfied by the strongest n component involves the J values of the two levels, that is;

$$n_{\max} = \pm(J_1g_1 - J_2g_2)\Delta v_N, \text{ in } \text{cm s}^{-1}$$

For combinations between terms of equal J values, the strongest p components are those furthest from the zero-field position, whereas the strongest n components are found in the centers of the n groups. Less intense components occur at intervals of $(g_1-g_2)\Delta v_N \text{ cm s}^{-1}$. In general, three distinct types of patterns are obtainable:-symmetrical, shade in, and shade out. These types are illustrated:



In order to determine the g factor, wave-lengths need be converted to units of g . The following relations between the separation of any component from the zero-field position and the linear equation in m and g are used:

$$\Delta v = \Delta\lambda/\lambda^2 = (m_1g_1 - m_2g_2)eH/4mc^2$$

or $m_1g_1 - m_2g_2 = \Delta\lambda/4.674\lambda^2 H \times 10^{-5}$.

The determination of H is also made by means of the latter equation. Accurately known g values must be used in order that H may be known to the desired precision.

The g values involved in the resonance lines of AgI, CuI, and CaII are exactly those expected from theoretical reasons and hence are excellent internal standards for calculating the value of H . These data have been recorded in Table III.

The precise determination of g values requires an accurate knowledge of the fundamental separation, g_1-g_2 . An error of 0.001 in this value may introduce an error of 0.006 in the g values of high j -valued levels for which the weak intensity components are often missing. The use of as many components as possible in this determination is therefore necessary. Partially overlapped lines are to be omitted in this calculation as they may introduce large errors. An example of a typical pattern has been worked out according to the regular method of reduction of these Zeeman patterns in Figure V.

Unresolved patterns provide nearly as good g values as the resolved type. When the term combination was known the linear equation defining the maximum intensity component was solved by assuming one g value whose magnitude was accurately known. For shade-in or shade-out patterns this method gave very consistent results due to the use of only $1/J$ of the separation of the strong component from the center of the pattern.

$$\text{i.e., } g_x = (n_{\max} \pm J_y g_y) / J_x.$$

Lines calculated in this manner have been designated by n in the Zeeman effect column of Table IX. The

assumed g value is in parentheses; the resultant g value for the second term can be seen to be consistent with the g value expected. For strongly overexposed lines this method gave insufficiently accurate g values and hence visual setting was necessitated. Unresolved symmetrical type patterns were analyzed in a similar way. The intense p components were often well enough set on by the maximum picker¹⁴ of the comparator that an accurate value of $g_1 - g_2$ could be obtained for classified lines. The n maximum intensity reading was the average intensity of the two strong n components, i.e., $\frac{1}{2}(g_1 + g_2)$. Using these two data g values were calculated.

Discussion of Results

The present analysis now explains the origin of most of the spectral energy emitted by the normal ruthenium atom. The few strong lines as yet unclassified lie in regions of the spectrum for which Zeeman data is scarce. The apparently few combinations in these regions and the generally weak nature of unclassified lines makes it difficult to discover new levels. The analysis has proved fruitful in that it more than doubled the line classification set forth by previous investigators. The averaging of energy values for such a large quadratic array is necessarily a tedious and routine job. However, as a result of this averaging process, energy values are believed to be correct to $\pm 0.01 \text{ cms}^{-1}$ for the low even terms, ± 0.02 for the middle odd terms, and ± 0.05 for the high even terms.

Table IX contains over 2380 lines definitely assigned to the energy system of RuI. More than 600 Zeeman patterns have been observed and results have been tabulated in the Zeeman effect column of Table IX. Resolved patterns have the final g values entered with g_1 corresponding to the first or lower term of the combination while g_2 corresponds to the second or higher term. The unresolved patterns fall into two types: symmetrical and shading intensity. g values have been calculated for both cases by assuming one of the term g values and solving the linear equation (see methods of analysis). Any patterns which have been thus calculated from the n component have been denoted by the letter n after the second g value; patterns calculated from $g_1 - g_2$ only have been denoted by the

letter p. The limiting case of these two types is for nearly equal g values. This gives rise to a sharp pattern of separation approximately that of the actual g values. In general, such patterns have been given to only two figures after the decimal. Patterns involving a level with J = 0 give directly the g value of the other level. The combination between a^5F_1 ($g = 0.000$) and a level with J = 0 shows no magnetic splitting whatsoever. An example of this type of combination is included in Figure 4.

Zeeman effects for 173 of the 249 observed levels have been determined. Only four of these, including three for high even levels, have been given to two figures after the decimal. The remaining 169 determinations are believed to be consistent to ±0.002 unit or better.

Table IV contains a list of terms predicted from the various electron configurations. Completely observed terms are underlined. The ground state arises from the $4d^7(4F) \cdot 5s$ configuration. About 7500 wavenumbers above the ground state, 5F_5 , the sole term found from the $4d^65s^2$ configuration occurs; this is the a^5D term. Overlapping the a^5D is a a^3F from the parent 4F of d^7 's and a quintet and triplet P term from the parent 4P also of d^7 's. The overlapping of these four terms gives rise to interactions and highly perturbed g values. The d^8 configuration comes in at about 9100 wave-numbers and shows only slightly perturbed g values. This latter configuration is complete except for the term 1S_0 , which is probably quite high in the energy spectrum.

In the odd group the predominant configuration is based

on the $4d^7$ shell with a loosely bound p electron. Because of the generally weak combinations between d^7 s and d^6sp , and at most only three possible combinations with the low d^6s^2 , the majority of the d^6sp levels were found by means of Zeeman effects. No levels based on the parent 4D from this configuration were found indicating that most of the energy is concentrated in the transitions involving the change of a p electron to an s electron, i.e., $d^7p \rightarrow d^7s$. By comparison with RuII,¹⁶ in which the splitting between sextet and quartet D terms is about $9,000 \text{ cms}^{-1}$, one should expect the terms based on the quartet D to come in above $40,000 \text{ cms}^{-1}$. The series members, $3,5F^0, D^0$, combine much too strongly with d^7s to be considered as due to $(^4D) \cdot p$. The added presence of the triplet and quintet G^0 terms substantiates the assignment of these terms to series members.

The high even terms do not show many combinations except for the group $e^3, 5F$ which picks out many of the strongly hazy infra-red lines. The remaining high even terms are based on weaker lines and show anomalous intensities. Although they are quite high the latter may arise from d^6s^2 as there appear to be D,F,G, type terms present.

In many cases the L nature of a level was obvious whereas no S value seemed appropriate. The further study of several levels in the odd group unfolded a septet F term which had been partially identified as a quintet F term. In the low even terms, b^3D_2 was changed to a^1D_2 .

The real test of the application of Zeeman effects in unravelling complex spectra is in the verification of the

Pauli g sum rule.¹⁹ The rule states that out of all the levels arising from a given electron configuration the sum of the g factors for levels with the same J value is a constant independent of the coupling scheme. Due to interacting configurations this rule may not apply except in a few isolated cases. However, when one considers configuration sums the perturbations are seen to be accounted for and Pauli's sum rule is strictly applicable. Table V includes the g sums for the individual configurations as well as total configurations. The remarkable validity of Pauli's rule for the total g sums in the low even configurations (maximum difference of 0.008 unit) indicates that other members of the even configurations lie sufficiently higher in energy so as not to interact with the present identified terms. Term 42_2 ($g = 1.343$) is probably the $d^7s(^3P_2)$ term interacting with the undiscovered $d^7(^2F)\cdot s(^3F_2)$ or $d^7(^2P)\cdot s(^1D_2)$ terms.

The d^8 configuration shows g sums for $J = 4$ (2.247 vs. 2.250 LS) and for $J = 3$ (1.086 vs. 1.083 LS). Terms with J of 2 and 1 interact slightly with a^3F_2 and a^3D_1 , respectively. For a ready comparison, the total g sums for the even terms are repeated here:

<u>J</u>	<u>gMeas</u>	<u>gLS</u>	<u>Diff.</u>
6	1.164	1.167	-0.003*
5	4.635	4.633	+0.002*
4	8.194	8.200	-0.006*
3	8.665	8.666	-0.001*
2	10.834	10.834	0.000*
1	8.508	8.500	+0.008*

* indicates an incomplete g sum.

The verification of the g sum rule is evident, as is the added check on the field determination H. Although the sum is incomplete the fact that it checks so well indicates that all levels have been discovered in the range covered by these levels and outside of this range the levels are too distant to interact to any appreciable extent.

The g sum for the odd levels does not verify the sum rule. However, there is a large number of numbered levels which lie in the range covered by these terms used in the g sum. Over small ranges the perturbations in the g values of several close-lying terms are found to be consistent with the g sum for the terms involved. Total g sums, though incomplete, do show a tendency to follow the Pauli rule with an LS coupling scheme. Four of the seven g sums are in variance with the rule and hence undiscovered terms probably lie in the range covered by the g sum. There are several terms for which no g values were determined and these may absorb the discrepancy between observed and calculated. For comparison:

<u>J</u>	<u>gMeas</u>	<u>gLs</u>	<u>Diff.</u>
7	1.146	1.143	+0.003*
6	7.410	7.524	-0.114*
5	18.261	18.333	-0.072*
4	24.180	24.450	-0.270*
3	33.935	33.915	+0.020*
2	36.207	36.002	+0.205*
1	23.006	23.000	+0.006*

* indicates an incomplete g sum.

Zeeman effects have been used extensively in the analysis of this spectrum. They are an invaluable tool for routing out

obscure levels and giving additional certainty in the analysis. The discovery of level $z^3I_7^0$, which has only one possible combination, succumbed to the analysis by means of the Zeeman effect. The expected combination $a^3H_6 - z^3I_7^0$ should be found in an intense line with an n_{max} separation of $7g_7 - 6g_6$ or 1.017 (assuming that $z^3I_7^0$ has the theoretical LS g value of 1.143 and that $g_6 = 1.164$). An unclassified line 3742.784A of intensity 50, 50 gives a shade out pattern with maximum separation 1.038 units. Computing a g value for $z^3I_7^0$ one obtains $g = 1.146$. Thus, with the substantiating Zeeman pattern this line is now definitely classified.

Acknowledgments

The author wishes to take this opportunity to thank Professor George R. Harrison for making available the apparatus and developing the techniques for the rapid reduction of Zeeman data and for the analysis of complex spectra. For his many helpful criticisms and manifest interest in the work, I wish to express my deep appreciation.

To Colonel Robert C. Eddy and the whole M.I.T.-W.P.A. Spectroscopy staff for their generous assistance and time-saving help, I would like to acknowledge my thanks.

To Dr. Julius P. Molnar for many discussions on methods of analysis and interpretation of spectra, I wish to express my thanks and my enjoyment of these interesting conservations.

To Professor Walter E. Albertson for his course in atomic spectra and his ready advice on the whole subject matter, I would like to acknowledge my gratitude.

References

1. M.I.T. Wavelength Tables, John Wiley and Sons, New York (1939).
2. R.H. McFee, unpublished M.Sc. Thesis, M.I.T.(1938).
3. H. Kayser, "Über die Bogenspektren der Elemente der Platingruppe," Abhandl. d. Berl. Akad.(1897).
4. Emil Paulson, Physik. Zeits. 16, 81(1915).
5. W.F. Meggers and Otto Laporte, Science 61, 635(1925).
6. W.F. Meggers and Otto Laporte, J. Wash. Acad. Sci. 16, 143(1926).
7. L.A. Sommer, Naturwiss. 13, 840(1925).
8. L.A. Sommer, Zeits. f. Physik. 37, 1(1926).
9. G.R. Harrison and F. Bitter, Phys. Rev. 57, 15(1940).
10. G.R. Harrison and J.R. McNally, Jr., Phys. Rev. 58, 703 (1940).
11. Russell, Shenstone, and Turner, Phys. Rev. 33, 900(1929).
12. P. Zeeman, "Over den invloed eener magnetisatie op den aard van het door een stof uitgestraalde licht," Zittingsverslag, Akademie Amsterdam 5, 43, 226(1897).
13. G.R. Harrison, J. Opt. Soc. Am. 25, 169(1935); Rev. Sci. Inst. 9, 15(1938).
14. G.R. Harrison and J.P. Molnar, J. Opt. Soc. Am. 30, 343 (1940).
15. G.R. Harrison, J. Opt. Soc. Am.25, 169(1935).
16. W.F. Meggers and A.G. Shenstone, Phys. Rev. 35, 868(1930).
17. A.G. Shenstone, J.C. Boyce, H.N. Russell, "Rydberg Interpolation Table," unpublished material obtainable from Princeton University Observatory.
18. Kiess and Meggers, quoted in White, "Introduction to Atomic Spectra," McGraw-Hill Book Company, Inc., New York.
19. W. Pauli, Zeits. f. Physik. 16, 155(1923).

35 FOOT GRATING ROOM

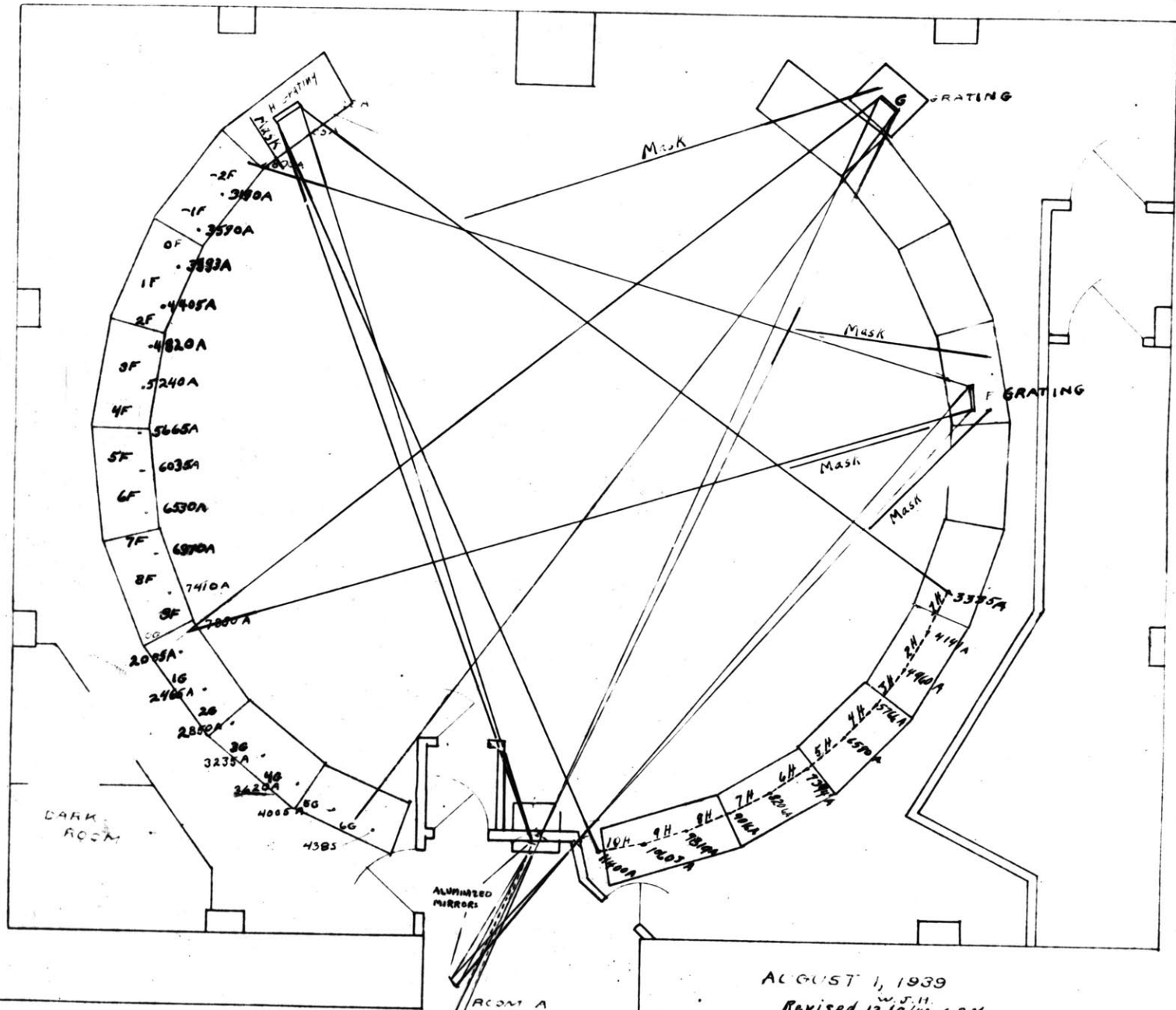




Figure 2-a. Photograph of Zeeman pattern showing no magnetic splitting. The line is 3196.591 (50,2) classified as $a^5F_1 - g^5D_0$. The p component is at the top, zero-field line in center and n component in the bottom exposure. Set number Z-49.

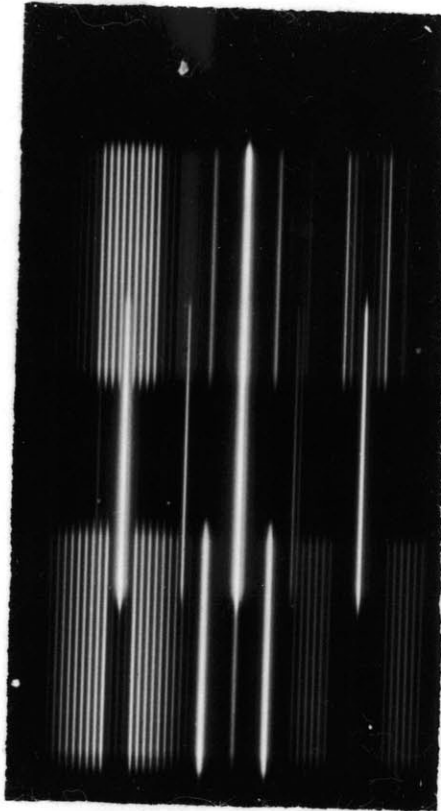


Figure 2-b. Typical Zeeman patterns obtained with Bitter Magnet. Set number Z-74 with field of 88,040 oersteds for p exposure (top), zero-field exposure in center, and a field of 89,310 oersteds for n exposure (bottom). Shade-out pattern at left is 3925.925A (60,100), $a^5F_5 - Z^7D_4^0$, $g_1 = 1.397$, $g_2 = 1.625$. Unresolved pattern in center is 3923.467A (60,100), $a^3G_4 - Z^3H_5^0$ $g_1 = 1.033$ assumed, $g_2 = 1.047$ calculated. Symmetrical pattern is 3920.915A (20,20) $a^5D_3 - Z^5P_3^0$, $g_1 = 1.423$, $g_2 = 1.650$.

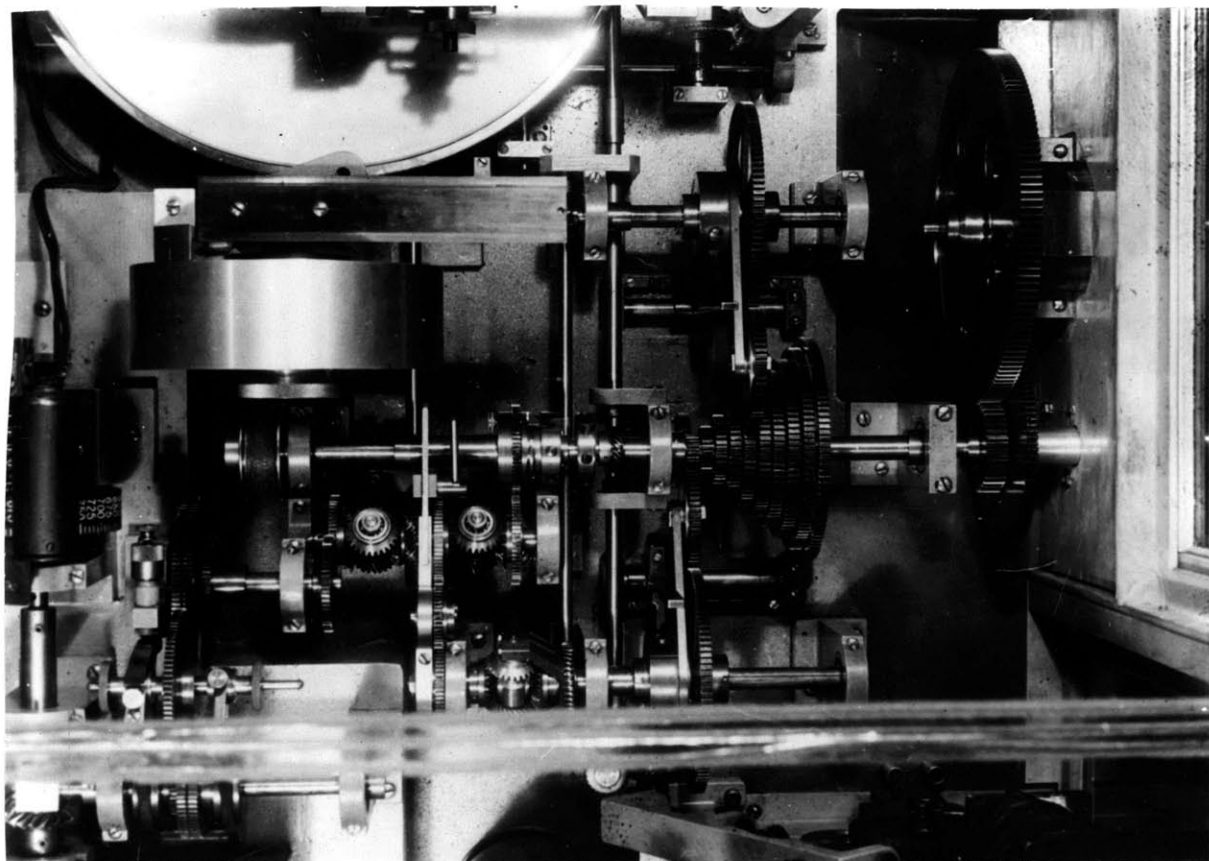


Figure 3. Photograph of the driving mechanism of the automatic comparator. At the left center is the wavelength dial while in the lower right is the camera by means of which intensity traces are obtained. The center portion of the photograph is the gearing for introducing the various dispersion corrections in the main drive shaft at the right.

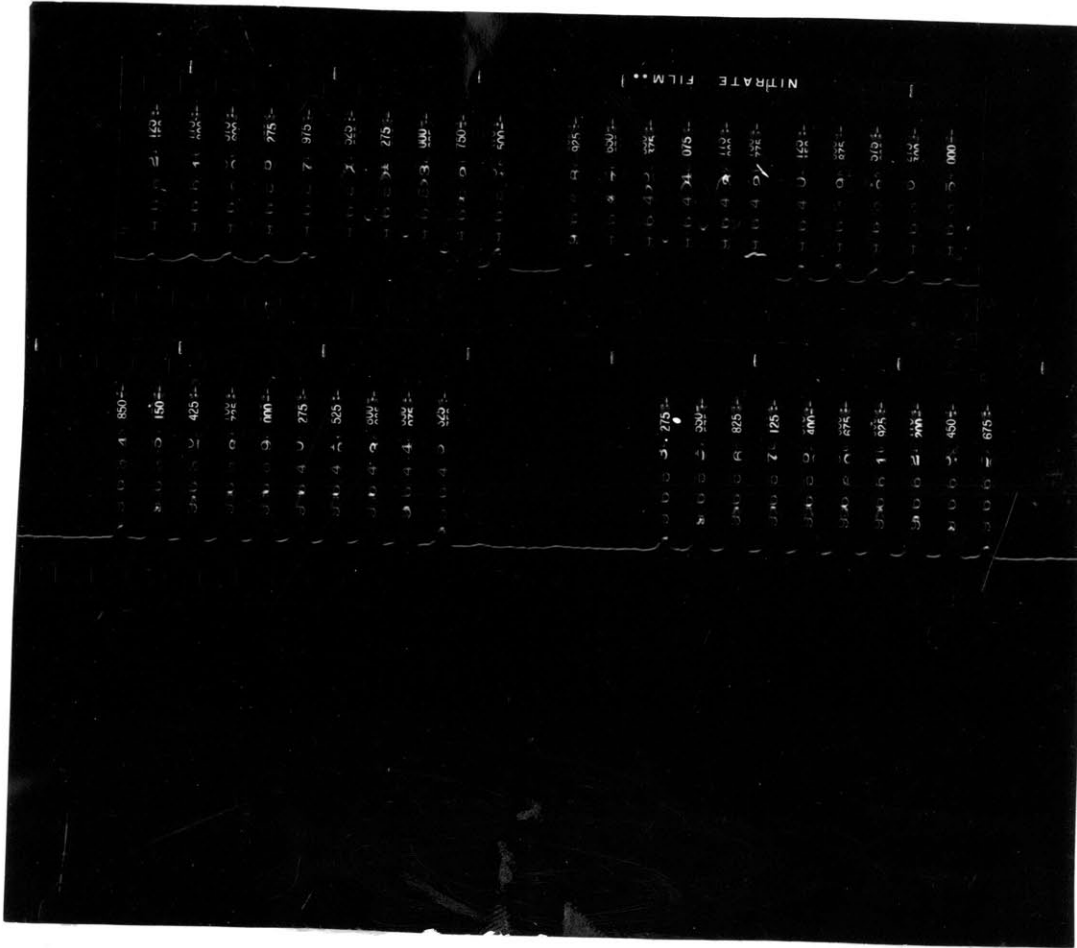


Figure 4-a. Typical film taken from automatic comparator. Photograph illustrates the actual wavelength of each component. Pattern is that of 3964.896 ($50,40$), $a^5F_5 - Z^7D_5^0$, $g_1 = 1.397$, $g_2 = 1.594$.

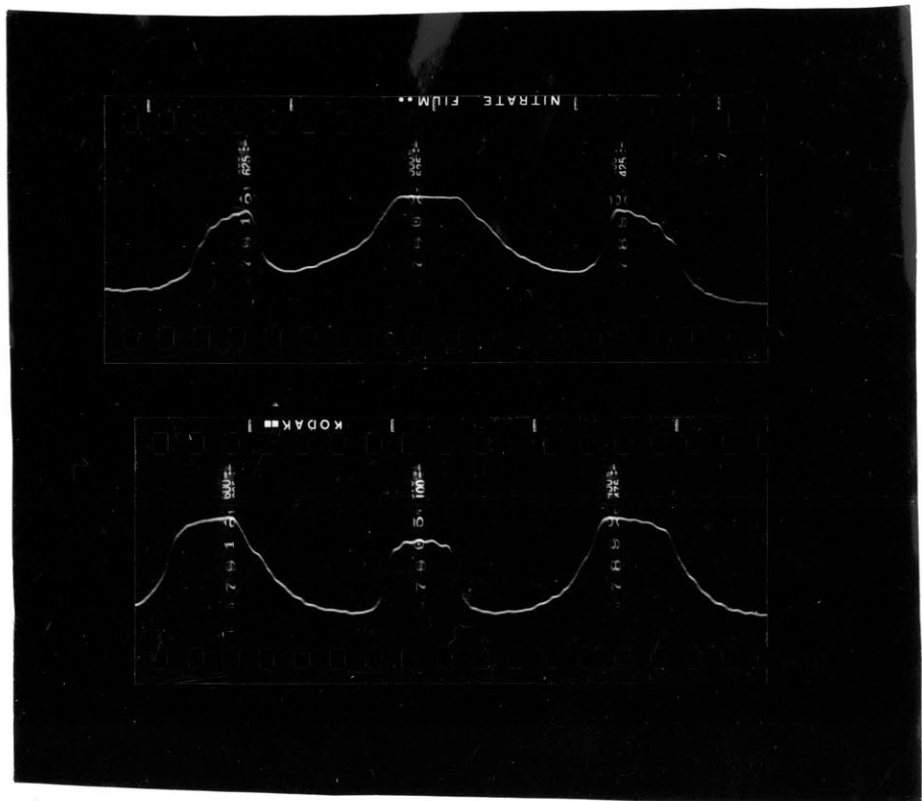


Figure 4-b. Photograph of film taken from automatic comparator. The photograph illustrates the "picking" of the maximum intensity component. Line is 3790.513 ($70,150$), $a^5F_3 - z^5D_2^0$, $g_1 = 1.248$, $g_2 = 1.317$.

4319.869	5359	2422	12980	3	$\frac{\pi}{\sigma}$	111111	23142.20		
Wavelength	$1/\lambda^2$	K	K/λ^2	Pattern			Wavenumber M		
Ru I	20,40		$a^5P_2 - Z^5S_2$	6G		Z-49			
Element	Intensity		Classification	Plate No.		Run No.	Wavenumber C		
π	$\Delta\lambda$	$\bar{\Delta\lambda}$	Δa	σ	$\Delta\lambda$	$\bar{\Delta\lambda}$	Δa	$N \Delta g$	g_1
1 4320.580	0.723	0.722	0.937	1 4321.809	1.925	1.925 $\frac{1}{2}$	2.499 $\frac{1}{2}$	0.468	2.031
2 20.216	0.359	0.360 $\frac{1}{2}$	0.468	2 21.446	1.562	1.564	2.030 $\frac{1}{2}$	—	2.030
3				3 21.089	1.205	1.205	1.564 $\frac{1}{2}$	0.468	2.032
4 19.495	0.362		$3\Delta g = 1.405$	4 20.729	0.845	0.842 $\frac{1}{2}$	1.094 $\frac{1}{2}$	0.936	2.030
5 19.136	0.721		$\Delta g = 0.468$	5					
6				6 19.044		0.840			
7				7 18.679		1.205			
π center	19.857	σ center	19.884	8 18.318		1.566			
$\lambda - \bar{\lambda}$	+ .012	$\lambda - \bar{\lambda}$	- .015	9 17.958		1.926			
$\pi \cdot \Delta g$	0.468	$\sigma \cdot \Delta g$	0.468	10			1-3 0.935		
Adopt	0.468			11			2-4 0.936		
J ₁	2	J ₂	2	12			$4\Delta g = 1.871$		
g_1	1.563	g_2	2.031	13			$\Delta g = 0.468$		
M.I.T. Zeeman Effect Card.	20M41			14				Mean 2.031	

Figure 5

Analysis of a Typical Pattern

Table I

Characteristics of Grating Spectrographs

<u>Grating</u>	<u>Lines per in.</u>	<u>Spectrum Range A</u>	<u>Order</u>	<u>Dispersion A/mm</u>
F	30,000	3190-4400	1	0.8
		2200-3045	2	0.4
G	30,000	2085-4400	1	0.8
H	15,000	3335-11400	1	1.6
		4103-5700	2	0.8

Table II

Field Intensities

<u>Set Number</u>	<u>Field(gauss)</u>
Z-33a	92,200
Z-33b	71,260
Z-49	88,350
Z-74, p on F,G; n on H n on F,G; p on H	88,040 89,310

Table III

Impurity Lines Used To Calculate Fields

<u>Element</u>	<u>Wave-length</u>	<u>j₁</u>	<u>g₁</u>	<u>j₂</u>	<u>g₂</u>
CuI	3247.540A	1/2	2.000	3/2	1.333
CuI	3273.962	1/2	2.000	1/2	0.666
AgI	3280.683	1/2	2.000	3/2	1.333
AgI	3382.891	1/2	2.000	1/2	0.666
CaII	3933.666	1/2	2.000	3/2	1.333
CaII	3968.468	1/2	2.000	1/2	0.666

Table IV

Expected Terms With Observed Terms Underlined

<u>Configuration</u>	<u>Terms</u>
d ⁸	3(<u>FP</u>) 1(<u>GDS</u>)
d ⁷ s	5(<u>FP</u>) 3(<u>FP</u>) 3(<u>HGFDP</u>) 1(<u>HGFDP</u>) 3D 1D
d ⁶ s ²	5(<u>D</u>) 3(<u>HGFDP</u>) 1(<u>IGFDS</u>) 3(<u>FP</u>) 1(<u>GDS</u>)
d ⁷ p	5(<u>GFDDPS</u>) 3(<u>IHHGGGGFFFFFDDDDDDPPPPSS</u>) 1(<u>IHHGGGGFFFFFDDDDPPPS</u>)
d ⁶ sp	7(<u>FDP</u>) 5(<u>IHHGGGGFFFFFDDDDDDPPPPSS</u>) 3(<u>KIIIIHHHHHHGGGGGGGGGGFFFFFFFFFFF</u> <u>DDDDDDDDDDDDDDPPPPPPPPPPSSSSSS</u>) 1(<u>KHHHHHGGGGGGGGFFFFFFFFFFFDDDDDDDDPPPPP</u> <u>PPSSSS</u>)
d ⁷ p(series)	5(<u>GFDDPS</u>) 3(<u>IHHGGGGFFFFFDDDDDDPPPPSS</u>) 1(<u>IHHGGGGFFFFFDDDDPPPS</u>)

Table V

Tables of g Sums

Configuration $4d^7 5s$:

J = 6			J = 5		
Term	gMeas.	gLS	Term	gMeas	gLS
a^3H_6	<u>1.164</u>	<u>1.167</u>	a^5F_5	1.397	1.400
gSum	1.164	1.167	a^3G_5	1.190	1.200
J = 4			J = 3		
Term	gMeas	gLS	Term	gMeas	gLS
a^5F_4	1.349	1.350	a^5F_3	1.249	1.250
a^3F_4	1.284	1.250	a^3F_3	1.196	1.083
a^3G_4	1.033	1.050	a^5P_3	1.624	1.667
a^3H_4	<u>0.834</u>	<u>0.800</u>	a^3G_3	0.757	0.750
gSum	4.500	4.450*	a^3D_3	<u>1.333</u>	<u>1.333</u>
J = 2			gSum	6.159	6.083*
Term	gMeas	gLS	J = 1		
a^5F_2	1.000	1.000	a^5F_1	0.000	0.000
a^5P_2	1.563	1.833	a^5P_1	1.985	2.500
a^3F_2	1.089	0.667	a^3P_1	1.684	1.500
a^3P_2	1.534	1.500	a^3D_1	0.676	0.500
a^3D_2	<u>1.162</u>	<u>1.167</u>	a^1P_1	<u>0.927</u>	<u>1.000</u>
gSum	6.348	6.167*	gSum	5.272	5.500*

* indicates incomplete
g sum. The greatest
source of variation in
the g sum is configuration interaction.

Configuration $4d^6 5s^2$:

<u>Term</u>	<u>J = 4</u>	
	<u>gMeas</u>	<u>gLS</u>
a^5D_4	1.447	1.500*

<u>Term</u>	<u>J = 3</u>	
	<u>gMeas</u>	<u>gLS</u>
a^5D_3	1.420	1.500*

<u>Term</u>	<u>J = 2</u>	
	<u>gMeas</u>	<u>gLS</u>
a^5D_2	1.232	1.500*

<u>Term</u>	<u>J = 1</u>	
	<u>gMeas</u>	<u>gLS</u>
a^5D_1	1.795	1.500*

Configuration $4d^8$:

<u>Term</u>	<u>J = 4</u>	
	<u>gMeas</u>	<u>gLS</u>
b^3F_4	1.255	1.250
a^1G_4	<u>0.992</u>	<u>1.000</u>
gSum	2.247	2.250

<u>Term</u>	<u>J = 3</u>	
	<u>gMeas</u>	<u>gLS</u>
b^3F_3	<u>1.086</u>	<u>1.083</u>
gSum	1.086	1.083

<u>Term</u>	<u>J = 2</u>	
	<u>gMeas</u>	<u>gLS</u>
b^3F_2	0.764	0.667
b^3P_2	1.315	1.500
a^1D_2	<u>1.175</u>	<u>1.000</u>
gSum	3.254	3.167

<u>Term</u>	<u>J = 1</u>	
	<u>gMeas</u>	<u>gLS</u>
b^3P_1	<u>1.441</u>	<u>1.500</u>
gSum	1.441	1.500

Total g sums for even configurations:

J = 6			J = 5		
Config	gMeas	gLS	Config	gMeas	gLS
4d ⁷ 5s	<u>1.164</u>	<u>1.167</u>	4d ⁷ 5s	<u>4.635</u>	<u>4.633</u>
gSUM	1.164	1.167	gSUM	4.635	4.633

J = 4			J = 3		
Config	gMeas	gLS	Config	gMeas	gLS
4d ⁷ 5s	4.500	4.450*	4d ⁷ 5s	6.159	6.083*
4d ⁶ 5s ²	<u>1.447</u>	1.500*	4d ⁶ 5s ²	1.420	1.500*
4d ⁸	<u>2.247</u>	<u>2.250</u>	4d ⁸	<u>1.086</u>	<u>1.083</u>
gSUM	8.194	8.200*	gSUM	8.665	8.666*

J = 2			J = 1		
Config	gMeas	gLS	Config	gMeas	gLS
4d ⁷ 5s	6.348	6.167*	4d ⁷ 5s	5.272	5.500*
4d ⁶ 5s ²	<u>1.232</u>	1.500*	4d ⁶ 5s ²	1.795	1.500*
4d ⁸	<u>3.254</u>	<u>3.167</u>	4d ⁸	<u>1.441</u>	<u>1.500</u>
gSUM	10.834	10.834*	gSUM	8.508	8.500*

* indicates incomplete g sum.

Configuration 4d⁶5s5p:

J = 6			J = 5		
Term	gMeas	gLS	Term	gMeas	gLS
$z^7F_6^0$	<u>1.462</u>	<u>1.500</u>	$z^7D_5^0$	1.592	1.600
gSum	1.462	1.500*	$z^7F_5^0$	1.474	1.500
			$y^5F_5^0$	<u>1.402</u>	<u>1.400</u>
J = 4			gSum	4.468	4.500*
Term	gMeas	gLS	J = 3		
$z^7D_4^0$	1.625	1.650	$z^7D_3^0$	1.737	1.750
$z^7F_4^0$	1.370	1.500	$z^7P_3^0$	1.895	1.917
$z^7P_4^0$	1.656	1.750	$y^5D_3^0$	1.496	1.500
$y^5D_4^0$	1.492	1.500	$z^5P_3^0$	1.646	1.667
$y^5F_4^0$	<u>1.364</u>	<u>1.350</u>	$y^5F_3^0$	<u>1.276</u>	<u>1.250</u>
gSum	7.507	7.750*	gSum	8.050	8.084*
J = 2			J = 1		
Term	gMeas	gLS	Term	gMeas	gLS
$z^7D_2^0$	1.992	2.000	$y^5D_1^0$	1.522	1.500
$z^7F_2^0$	1.497	1.500	$z^5P_1^0$	2.385	2.500
$z^7P_2^0$	2.059	2.333	$y^5F_1^0$	<u>0.145</u>	<u>0.000</u>
$y^5D_2^0$	1.477	1.500	gSum	4.052	4.000*
$z^5P_2^0$	1.808	1.833			
$y^5F_2^0$	<u>1.069</u>	<u>1.000</u>			
gSum	9.902	10.166*			

* indicates incomplete
g sum.

Configuration $4d^7 5p$:

$J = 7$			$J = 6$		
Term	gMeas	gLS	Term	gMeas	gLS
$z^3I_7^0$	<u>1.146</u>	<u>1.143</u>	$z^5G_6^0$	1.379	1.333
gSum	1.146	1.143	$z^3H_6^0$	1.174	1.167
$J = 5$			$J = 4$		
Term	gMeas	gLS	Term	gMeas	gLS
$z^5F_5^0$	1.394	1.400	$z^5D_4^0$	1.486	1.500
$z^3G_5^0$	1.230	1.200	$z^5F_4^0$	1.364	1.350
$z^5G_5^0$	1.263	1.267	$z^3F_4^0$	1.276	1.250
$z^3H_5^0$	1.048	1.033	$z^5G_4^0$	1.111	1.150
$y^3G_5^0$	1.142	1.200	$x^5D_4^0$	1.481	1.500
$z^1H_5^0$	1.020	1.000	$y^3F_4^0$	1.107	1.250
$x^3G_5^0$	1.197	1.200	$x^3F_4^0$	1.115	1.250
$z^3I_5^0$	0.861	0.833	$z^3H_4^0$	0.895	0.800
$y^1H_5^0$	1.033	1.000	$z^1G_4^0$	1.035	1.000
$y^3H_5^0$	<u>1.030</u>	<u>1.033</u>	$y^3G_4^0$	1.196	1.050
gSum	11.218	11.166*	$w^3F_4^0$	1.247	1.250
* indicates incomplete			$y^3H_4^0$	<u>0.962</u>	<u>0.800</u>
g sum.			gSum	14.275	14.150*

	J = 3		J = 2		
Term	gMeas	gLS	Term	gMeas	gLS
$z^5D_3^0$	1.425	1.500	$z^5D_2^0$	1.324	1.500
$z^5F_3^0$	1.293	1.250	$z^5F_2^0$	1.164	1.000
$z^5G_3^0$	0.944	0.917	$z^5G_2^0$	0.375	0.333
$z^3D_3^0$	1.204	1.333	$z^5S_2^0$	2.034	2.000
$z^3G_3^0$	0.868	0.750	$z^3D_2^0$	1.032	1.167
$z^3F_3^0$	1.133	1.083	$z^3F_2^0$	1.026	0.667
$x^5D_3^0$	1.426	1.500	$y^3D_2^0$	1.173	1.167
$y^3D_3^0$	1.379	1.333	$z^3P_2^0$	1.469	1.500
$y^5P_3^0$	1.631	1.667	$x^5D_2^0$	1.442	1.500
$y^3F_3^0$	0.968	1.083	$y^5P_2^0$	1.713	1.833
$y^3G_3^0$	0.890	0.750	$y^3P_2^0$	1.299	1.500
$x^3D_3^0$	1.159	1.333	$y^3F_2^0$	0.889	0.667
$z^1F_3^0$	1.137	1.000	$w^3F_2^0$	0.887	0.667
$w^3F_3^0$	1.235	1.083	$w^3D_2^0$	1.182	1.167
$x^3F_3^0$	1.286	1.083	$x^3D_2^0$	1.007	1.167
$w^3D_3^0$	1.163	1.333	$x^3F_2^0$	1.025	0.667
$y^1F_3^0$	0.995	1.000	$v^3D_2^0$	1.158	1.167
$x^1F_3^0$	0.934	1.000	$z^1D_2^0$	1.026	1.000
$x^3G_3^0$	<u>0.76</u>	<u>0.750</u>	$x^3P_2^0$	<u>1.422</u>	<u>1.500</u>
gSum	21.830	21.748*	gSum	22.647	22.169*

* indicates incomplete
g sum.

J = 1			J = 1		
Term	gMeas	gLS	Term	gMeas	gLS
$z^5D_1^0$	0.953	1.500	$z^5F_1^0$	0.567	0.000
$z^3D_1^0$	0.522	0.500	$z^3P_1^0$	1.311	1.500
$y^3D_1^0$	0.756	0.500	$x^5D_1^0$	1.569	1.500
$z^3S_1^0$	1.566	2.000	$y^5P_1^0$	2.315	2.500
$y^3P_1^0$	1.606	1.500	$x^3D_1^0$	0.892	0.500
$z^1P_1^0$	0.965	1.000	$w^3D_1^0$	0.810	0.500
$y^3S_1^0$	1.533	2.000	$v^3D_1^0$	<u>0.800</u>	<u>0.500</u>
$x^3P_1^0$	<u>1.350</u>	<u>1.500</u>			
			gSum	17.515	17.500*

Configuration 4d⁷6p:

J = 6			J = 5		
Term	gMeas	gLS	Term	gMeas	gLS
$y^5G_6^0$	<u>1.219</u>	<u>1.333</u>	$y^5G_5^0$	1.272	1.267
gSum	1.219	1.333*	$x^5F_5^0$	<u>1.303</u>	<u>1.400</u>
			gSum	2.575	2.667*

J = 4			J = 3		
Term	gMeas	gLS	Term	gMeas	gLS
$w^5D_4^0$	1.473	1.500	$w^5D_3^0$	1.449	1.500
$w^3G_4^0$	<u>0.925</u>	<u>1.050</u>	$x^5F_3^0$	1.059	1.250
gSum	2.398	2.550*	$u^3D_3^0$	<u>1.547</u>	<u>1.333</u>
J = 2			gSum	4.055	4.083*
Term	gMeas	gLS			
$y^5G_2^0$	0.383	0.333			
$w^5D_2^0$	1.484	1.500			
$u^3D_2^0$	1.089	1.167 (over)			

* indicates incomplete
g sum.

J = 2 (cont.)			J = 1		
Term	gMeas	gLS	Term	gMeas	gLS
w ³ F ₂ ⁰	<u>0.702</u>	<u>0.667</u>	u ³ D ₁ ??	1.115	0.500
gSum	3.658	3.667*	w ⁵ D ₁ ⁰	<u>1.439</u>	<u>1.500</u>
			gSum	2.554	2.000*
			or	1.439	1.500**

* indicates incomplete
g sum.

** Term u³D₁ is not definite.

Total g sums for odd configurations:

J = 7			J = 6		
Config	gMeas	gLS	Config	gMeas	gLS
4d ⁷ 5p	<u>1.146</u>	<u>1.143</u>	4d ⁶ 5s5p	1.462	1.500*
g SUM	1.146	1.143	4d ⁷ 5p	4.729	4.691*
J = 5			J = 4		
Config	gMeas	gLS	Config	gMeas	gLS
4d ⁶ 5s5p	4.468	4.500*	4d ⁶ 5s5p	7.507	7.750*
4d ⁷ 5p	11.218	11.166*	4d ⁷ 5p	14.275	14.150*
4d ⁷ 6p	<u>2.575</u>	<u>2.667*</u>	4d ⁷ 6p	<u>2.398</u>	<u>2.550*</u>
g SUM	18.261	18.333*	g SUM	24.180	24.450*
J = 3			J = 2		
Config	gMeas	gLS	Config	gMeas	gLS
4d ⁶ 5s5p	8.050	8.084*	4d ⁶ 5s5p	9.902	10.166*
4d ⁷ 5p	21.830	21.748*	4d ⁷ 5p	<u>22.647</u>	<u>22.169*</u>
4d ⁷ 6p	<u>4.055</u>	<u>4.083*</u>	4d ⁷ 6p	<u>3.658</u>	<u>3.667*</u>
g SUM	33.935	33.915*	g SUM	36.207	36.002*
J = 1			* indicates incomplete g sum.		
Config	gMeas	gLS	** indicates a doubtful term omitted.		
4d ⁶ 5s5p	4.052	4.000*			
4d ⁷ 5p	17.515	17.500*			
4d ⁷ 6p**	<u>1.439</u>	<u>1.500*</u>			
g SUM	23.006	23.000*			

Table VI

<u>Configuration</u>	<u>Term</u>	<u>Low Even Terms</u>	<u>Wave-Number</u>	<u>gMeas.</u>	<u>gLs</u>
$4d^7(4F) \cdot 5s$	a^5F_5		0.00	1.397	1.400
$4d^7(4F) \cdot 5s$	a^5F_4		1190.62	1.349	1.350
$4d^7(4F) \cdot 5s$	a^5F_3		2091.52	1.249	1.250
$4d^7(4F) \cdot 5s$	a^5F_2		2713.24	1.000	1.000
$4d^7(4F) \cdot 5s$	a^5F_1		3105.49	0.000	0.000
$4d^7(4F) \cdot 5s$	a^3F_4		6545.04	1.284	1.250
$4d^65s(6D) \cdot 5s$	a^5D_4		7483.09	1.447	1.500
$4d^7(4P) \cdot 5s$	a^5P_2		8043.69	1.563	1.833
$4d^7(4F) \cdot 5s$	a^3F_3		8084.11	1.196	1.083
$4d^65s(6D) \cdot 5s$	a^5D_3		8575.41	1.420	1.500
$4d^7(4P) \cdot 5s$	a^5P_3		8770.93	1.624	1.667
$4d^65s(6D) \cdot 5s$	a^5D_2		9057.59	1.232	1.500
$4d^65s(6D) \cdot 5s$	a^5D_1		9072.99	1.795	1.500
$4d^8$	b^3F_4		9120.61	1.255	1.250
$4d^7(4F) \cdot 5s$	a^3F_2		9183.65	1.089	0.667
$4d^65s(6D) \cdot 5s$	a^5D_0		9492.36	0/0	0/0
$4d^7(4P) \cdot 5s$	a^5P_1		9620.33	1.985	2.500
$4d^7(4P) \cdot 5s$	a^3P_2		10623.55	1.534	1.500
$4d^8$	b^3F_3		10654.60	1.086	1.083
$4d^8$	b^3F_2		11447.30	0.764	0.667
$4d^7(4P) \cdot 5s$	a^3P_0		11752.61	0/0	0/0
$4d^7(4P) \cdot 5s$	a^3P_1		11786.02	1.684	1.500
$4d^7(2G) \cdot 5s$	a^3G_5		12207.03	1.190	1.200

<u>Configuration</u>	<u>Term</u>	<u>Wave-Number</u>	<u>gMeas.</u>	<u>gLS</u>
4d ⁷ (² G)•5s	a ³ G ₄	12816.68	1.033	1.050
4d ⁸	b ³ P ₂	13645.74	1.315	1.500
4d ⁷ (² G)•5s	a ³ G ₃	13699.06	0.757	0.750
4d ⁸	b ³ P ₁	13981.68	1.441	1.500
4d ⁸	a ¹ G ₄	14700.29	0.992	1.000
4d ⁸	b ³ P ₀	14827.48	0/0	0/0
4d ⁷ (² D)•5s	a ³ D ₂	15054.05	1.162	1.167
4d ⁷ (² H)•5s	a ³ H ₆	15550.15	1.164	1.167
4d ⁷ (² D)•5s	a ³ D ₃	16190.59	1.333	1.333
4d ⁷ (² H)•5s	a ³ H ₅	16240.11	1.041	1.033
4d ⁷ (² D)•5s	a ³ D ₁	16712.57	0.676	0.500
4d ⁸	a ¹ D ₂	17045.96	1.175	1.000
4d ⁷ (² H)•5s	a ³ H ₄	17096.88	0.834	0.800
4d ⁷ (² H)•5s	a ¹ H ₅	20055.70	1.007	1.000
4d ⁷ (² P)•5s	a ¹ P ₁	20242.00	0.927	1.000
---	42 ₂	20933.74	1.343	³ P ₂ ?

Table VII
Middle Odd Terms

<u>Configuration</u>	<u>Term</u>	<u>Wave-Number</u>	<u>gMeas</u>	<u>gLS</u>
4d ⁶ 5s(⁶ D)•5p	z ⁷ D ₅ ⁰	25214.26	1.592	1.600
4d ⁶ 5s(⁶ D)•5p	z ⁷ D ₄ ⁰	25464.55	1.625	1.650
4d ⁶ 5s(⁶ D)•5p	z ⁷ D ₃ ⁰	26035.61	1.737	1.750
4d ⁷ (⁴ F)•5p	z ⁵ D ₄ ⁰	26312.86	1.486	1.500
4d ⁶ 5s(⁶ D)•5p	z ⁷ D ₂ ⁰	26472.76	1.992	2.000
4d ⁶ 5s(⁶ D)•5p	z ⁷ D ₁ ⁰	26780.49	-----	3.000
4d ⁷ (⁴ F)•5p	z ⁵ F ₅ ⁰	26816.26	1.394	1.400
4d ⁷ (⁴ F)•5p	z ⁵ D ₃ ⁰	27506.63	1.425	1.500
4d ⁷ (⁴ F)•5p	z ⁵ F ₄ ⁰	28014.80	1.364	1.350
4d ⁷ (⁴ F)•5p	z ⁵ D ₂ ⁰	28465.75	1.324	1.500
4d ⁷ (⁴ F)•5p	z ⁵ G ₅ ⁰	28495.17	1.230	1.200
4d ⁷ (⁴ F)•5p	z ⁵ G ₆ ⁰	28571.95	1.379	1.333
4d ⁷ (⁴ F)•5p	z ⁵ F ₃ ⁰	28890.51	1.293	1.250
4d ⁷ (⁴ F)•5p	z ⁵ D ₁ ⁰	29118.51	0.953	1.500
4d ⁶ 5s(⁶ D)•5p	z ⁷ F ₆ ⁰	29160.54	1.462	1.500
4d ⁷ (⁴ F)•5p	z ⁵ F ₂ ⁰	29427.36	1.164	1.000
4d ⁶ 5s(⁶ D)•5p	z ⁷ F ₅ ⁰	29468.06	1.474	1.500
4d ⁷ (⁴ F)•5p	z ⁵ D ₀ ⁰	29570.02	0/0	0/0
4d ⁶ 5s(⁶ D)•5p	z ⁷ F ₄ ⁰	29594.61	1.370	1.500
4d ⁷ (⁴ F)•5p	z ⁵ F ₁ ⁰	29693.63	0.567	0.000
4d ⁷ (⁴ F)•5p	z ³ G ₄ ⁰	29890.96	-----	1.050
4d ⁶ 5s(⁶ D)•5p	z ⁷ F ₃ ⁰	29891.97	-----	1.500

<u>Configuration</u>	<u>Term</u>	<u>Wave-Number</u>	<u>gMeas</u>	<u>gLS</u>
4d ⁶ 5s(⁶ D)•5p	z ⁷ F ₂ ^O	30018.36	1.497	1.500
4d ⁶ 5s(⁶ D)•5p	z ⁷ F ₁ ^O	30085.42	-----	1.500
4d ⁶ 5s(⁶ D)•5p	z ⁷ F ₀ ^O	30115.32	0/0	0/0
4d ⁶ 5s(⁶ D)•5p	z ⁷ P ₄ ^O	30250.43	1.656	1.750
4d ⁷ (⁴ F)•5p	z ⁵ G ₅ ^O	30279.72	1.263	1.267
4d ⁷ (⁴ F)•5p	z ³ F ₄ ^O	30348.47	1.276	1.250
4d ⁷ (⁴ F)•5p	z ⁵ G ₃ ^O	30537.10	0.944	0.917
4d ⁷ (⁴ F)•5p	z ⁵ G ₂ ^O	30958.84	0.375	0.333
4d ⁷ (⁴ F)•5p	z ³ D ₃ ^O	31044.39	1.204	1.333
4d ⁷ (⁴ P)•5p	z ⁵ S ₂ ^O	31186.07	2.034	2.000
4d ⁷ (⁴ F)•5p	z ⁵ G ₄ ^O	31345.85	1.111	1.150
4d ⁶ 5s(⁶ D)•5p	z ⁷ P ₃ ^O	31384.68	1.895	1.917
4d ⁷ (⁴ F)•5p	z ³ G ₃ ^O	31852.93	0.868	0.750
4d ⁷ (⁴ F)•5p	z ³ D ₂ ^O	32207.69	1.032	1.167
4d ⁶ 5s(⁶ D)•5p	z ⁷ P ₂ ^O	32343.35	2.059	2.333
4d ⁷ (⁴ F)•5p	z ³ F ₃ ^O	32392.00	1.133	1.083
4d ⁷ (⁴ F)•5p	z ³ F ₂ ^O	33172.08	1.026	0.667
4d ⁶ 5s(⁶ D)•5p	y ⁵ D ₃ ^O	33430.71	1.496	1.500
4d ⁶ 5s(⁶ D)•5p	y ⁵ D ₄ ^O	33446.88	1.492	1.500
4d ⁷ (⁴ F)•5p	z ³ D ₁ ^O	33580.23	0.522	0.500
4d ⁶ 5s(⁶ D)•5p	y ⁵ D ₂ ^O	33728.70	1.477	1.500
4d ⁶ 5s(⁶ D)•5p	z ⁵ P ₃ ^O	34072.46	1.646	1.667
4d ⁶ 5s(⁶ D)•5p	y ⁵ D ₁ ^O	34091.10	1.522	1.500
4d ⁶ 5s(⁶ D)•5p	y ⁵ D ₀ ^O	34379.75	0/0	0/0
4d ⁶ 5s(⁶ D)•5p	y ⁵ F ₅ ^O	34772.60	1.402	1.400

<u>Configuration</u>	<u>Term</u>	<u>Wave-Number</u>	<u>gMeas</u>	<u>gLS</u>
4d ⁶ 5s(⁶ D)•5p	z ⁵ P ₂ ^o	34882.00	1.808	1.833
4d ⁶ 5s(⁶ D)•5p	z ⁵ P ₁ ^o	35046.79	2.385	2.500
4d ⁶ 5s(⁶ D)•5p	y ⁵ F ₄ ^o	35471.24	1.364	1.350
4d ⁶ 5s(⁶ D)•5p	y ⁵ F ₃ ^o	35806.65	1.276	1.250
4d ⁶ 5s(⁶ D)•5p	y ⁵ F ₂ ^o	35963.89	1.069	1.000
4d ⁶ 5s(⁶ D)•5p	y ⁵ F ₁ ^o	36238.80	0.145	0.000
4d ⁷ (⁴ P)•5p	x ⁵ D ₄ ^o	36542.71	1.481	1.500
4d ⁷ (⁴ P)•5p	x ⁵ D ₃ ^o	36760.41	1.426	1.500
4d ⁷ (⁴ P)•5p	y ³ D ₂ ^o	36965.32	1.173	1.167
4d ⁷ (⁴ P)•5p	z ³ P ₂ ^o	37118.98	1.469	1.500
4d ⁷ (⁴ P)•5p	z ³ P ₁ ^o	37346.79	1.311	1.500
4d ⁷ (⁴ P)•5p	y ³ D ₃ ^o	37367.04	1.379	1.333
4d ⁷ (⁴ P)•5p	z ³ P ₀ ^o	37472.98	0/0	0/0
4d ⁷ (⁴ P)•5p	y ³ D ₁ ^o	37619.57	0.756	0.500
4d ⁷ (⁴ P)•5p	x ⁵ D ₂ ^o	37667.92	1.442	1.500
4d ⁷ (⁴ P)•5p	x ⁵ D ₀ ^o	37802.32	0/0	0/0
-----	161 ₃ ^o	37986.87?	-----	-----
4d ⁷ (⁴ P)•5p	x ⁵ D ₁ ^o	38200.49	1.569	1.500
4d ⁷ (² G)•5p	y ³ F ₄ ^o	38243.46	1.107	1.250
4d ⁷ (² G)•5p	z ³ H ₅ ^o	38297.15	1.048	1.033
4d ⁷ (⁴ P)•5p	z ³ S ₁ ^o	38587.19	1.566	2.000
4d ⁷ (⁴ P)•5p	y ⁵ P ₃ ^o	38706.40	1.631	1.667
4d ⁷ (² G)•5p	z ³ H ₆ ^o	38897.60	1.174	1.167
4d ⁷ (⁴ P)•5p	y ⁵ P ₂ ^o	39008.67	1.713	1.833
4d ⁷ (² F)•5p	x ³ F ₄ ^o	39037.23	1.115	1.250

<u>Configuration</u>	<u>Term</u>	<u>Wave-Number</u>	<u>gMeas</u>	<u>gLS</u>
4d ⁷ (² G)•5p	z ³ H ₄ ⁰	39273.30	0.895	0.800
4d ⁷ (² G)•5p	y ³ F ₃ ⁰	39433.71	0.968	1.083
4d ⁷ (² G)•5p	y ³ G ₅ ⁰	39450.68	1.142	1.200
4d ⁷ (² D)•5p	y ³ P ₂ ⁰	39742.09	1.299	1.500
4d ⁷ (⁴ P)•5p	y ⁵ P ₁ ⁰	39773.57	2.315	2.500
4d ⁷ (² D)•5p	y ³ P ₀ ⁰	39894.58	0/0	0/0
4d ⁷ (² D)•5p	y ³ P ₁ ⁰	39916.61	1.606	1.500
4d ⁷ (² G)•5p	y ³ G ₃ ⁰	40235.44	0.890	0.750
4d ⁷ (² G)•5p	z ¹ G ₄ ⁰	40276.64	1.035	1.000
4d ⁷ (² G)•5p	y ³ F ₂ ⁰	40433.28	0.889	0.667
4d ⁷ (² G)•5p	y ³ G ₄ ⁰	40439.27	1.196	1.050
4d ⁷ (² G)•5p	z ¹ H ₅ ⁰	40616.24	1.020	1.000
4d ⁷ (² F)•5p	x ³ D ₃ ⁰	40768.15	1.159	1.333
-----	A181 ₄ ⁰	40941.96?	-----	-----
4d ⁷ (² G)•5p	z ¹ F ₃ ⁰	40948.68	1.137	1.000
4d ⁷ (² F)•5p	x ³ D ₁ ⁰	41016.67	0.892	0.500
4d ⁷ (² D)•5p	w ³ F ₂ ⁰	41182.92	0.887	0.667
4d ⁷ (² D)•5p	w ³ F ₃ ⁰	41260.04	1.235	1.083
-----	186 ₃ ⁰	41301.06?	-----	-----
4d ⁷ (² F)•5p	x ³ F ₃ ⁰	41482.67	1.286	1.083
4d ⁷ (² H)•5p	z ³ I ₆ ⁰	41577.83	1.013	1.024 (l ¹ I ₆ ⁰ ?)
4d ⁷ (² F)•5p	x ³ G ₅ ⁰	41739.43	1.197	1.200
4d ⁷ (² D)•5p	w ³ D ₂ ⁰	41756.25	1.182	1.167
4d ⁷ (² D)•5p	w ³ D ₃ ⁰	41880.89	1.163	1.333
4d ⁷ (² F)•5p	x ³ D ₂ ⁰	42007.24	1.007	1.167

<u>Configuration</u>	<u>Term</u>	<u>Wave-Number</u>	<u>gMeas</u>	<u>gLS</u>
4d ⁷ (² H)•5p	z ³ I ₇ ⁰	42260.69	1.146	1.143
4d ⁷ (² D)•5p	w ³ F ₄ ⁰	42346.86	1.247	1.250
4d ⁷ (² D)•5p	z ¹ P ₁ ⁰	42415.86	0.965	1.000
4d ⁷ (² F)•5p	x ³ F ₂ ⁰	42533.86	1.025	0.667
4d ⁷ (² P)•5p	z ¹ S ₀ ⁰	42620.83	0/0	0/0
4d ⁷ (² D)•5p	w ³ D ₁ ⁰	42894.47	0.810	0.500
4d ⁷ (² H)•5p	z ³ I ₅ ⁰	42978.27	0.861	0.833
4d ⁷ (² D)•5p	y ¹ F ₃ ⁰	42998.33	0.995	1.000
4d ⁷ (² P)•5p	y ³ S ₁ ⁰	43107.53	1.533	2.000
4d ⁷ (² P)•5p	v ³ D ₂ ⁰	43509.20	1.158	1.167
4d ⁷ (⁴ F)•6p	y ⁵ G ₅ ⁰	43742.82	1.272	1.267
4d ⁷ (² P)•5p	v ³ D ₁ ⁰	43841.57	0.800	0.500
4d ⁷ (⁴ F)•6p	y ⁵ G ₄ ⁰	43862.92	-----	1.150
4d ⁷ (² D)•5p	z ¹ D ₂ ⁰	43903.46	1.026	1.000
4d ⁷ (² F)•5p	x ¹ F ₃ ⁰ ?	43975.83	0.934	1.000 (204 ⁰)
4d ⁷ (⁴ F)•6p	y ⁵ G ₆ ⁰	43998.68	1.219	1.333
4d ⁷ (² H)•5p	y ¹ H ₅ ⁰	44109.06	1.033	1.000
4d ⁷ (² F)•5p	x ³ P ₂ ⁰	44234.70	1.422	1.500
4d ⁷ (⁴ F)•6p	w ⁵ D ₄ ⁰	44243.49	1.473	1.500
4d ⁷ (² F)•5p	x ³ P ₁ ⁰	44301.18	1.350	1.500
4d ⁷ (⁴ F)•6p	x ⁵ F ₅ ⁰	44321.86	1.303	1.400
4d ⁷ (² F)•5p	x ³ G ₃ ⁰	44441.51	0.76	0.750
4d ⁷ (² H)•5p	y ³ H ₆ ⁰	44491.63	1.163	1.167
4d ⁷ (⁴ F)•6p	x ⁵ F ₄ ⁰	44607.67	-----	1.350
4d ⁷ (⁴ F)•6p	w ³ G ₄ ⁰	44662.01	0.925	1.050

<u>Configuration</u>	<u>Term</u>	<u>Wave-Number</u>	<u>gMeas</u>	<u>gLS</u>
4d ⁷ (⁴ F)•6p	y ⁵ G ₃ ⁰	44800.77	-----	0.917
4d ⁷ (² F)•5p	x ³ G ₄ ⁰	44822.86	-----	1.050
4d ⁷ (⁴ F)•6p	y ⁵ G ₂ ⁰	44891.35	0.383	0.333
4d ⁷ (⁴ F)•6p	w ⁵ D ₃ ⁰	45071.43	1.449	1.500
4d ⁷ (⁴ F)•6p	x ⁵ F ₃ ⁰	45201.98	1.059	1.250
4d ⁷ (² H)•5p	y ³ H ₄ ⁰	45364.80	0.962	0.800
4d ⁷ (⁴ F)•6p	u ³ D ₃ ⁰	45475.76	1.547	1.333
-----	216 ₄ ⁰	45528.60	-----	-----
4d ⁷ (⁴ F)•6p	w ³ G ₃ ⁰	45549.49	-----	0.750
4d ⁷ (⁴ F)•6p	w ³ G ₅ ⁰	45755.63	-----	1.200
4d ⁷ (⁴ F)•6p	w ⁵ D ₂ ⁰	45790.42	1.484	1.500
4d ⁷ (⁴ F)•6p	u ³ D ₂ ⁰	45923.34	1.089	1.167
4d ⁷ (⁴ F)•6p	u ³ D ₁ ⁰ ?	46056.25	1.115	0.500
-----	222 ₄ ⁰	46067.22	-----	-----
4d ⁷ (⁴ F)•6p	w ⁵ D ₀ ⁰	46102.95	0/0	0/0
4d ⁷ (⁴ F)•6p	w ⁵ D ₁ ⁰	46191.44	1.439	1.500
-----	225 ₄ ⁰	46273.15	-----	-----
-----	226 ₄ ⁰	46400.63	-----	-----
4d ⁷ (² H)•5p	y ³ H ₅ ⁰	46495.08	1.030	1.033
-----	B226 ₁ ⁰	46499.79	0.72	----- (³ D ₁ ⁰ ?)
-----	227 ₁ ⁰	46528.21	1.065	-----
4d ⁷ (⁴ F)•6p	w ³ F ₄ ⁰	46695.03	-----	1.250
4d ⁷ (⁴ F)•6p	w ³ F ₃ ⁰	46746.30	-----	1.083
-----	230 ₂ ⁰	46803.59	-----	-----
-----	231 ₃ ⁰	46946.57	-----	-----
-----	A231 ₃ ⁰	47046.59	-----	-----

<u>Configuration</u>	<u>Term</u>	<u>Wave-Number</u>	<u>gMeas</u>	<u>gLS</u>
-----	B231 ₄ ⁰	47157.25	-----	-----
4d ⁷ (⁴ F)·6p	w ³ F ₂ ⁰	47247.92	0.702	0.667
-----	233 ₄ ⁰	47261.53	-----	-----
-----	234 ₃ ⁰	47339.34	-----	-----
-----	235 ₂ ⁰	47345.07	-----	-----
-----	C235 ₃ ⁰	47526.04	-----	-----
-----	D235 ₂ ⁰	47547.36	-----	-----
-----	A235 ₃ ⁰	47635.33	1.055	-----
-----	B235 ₃ ⁰	47788.68	-----	-----
-----	236 ₁ ⁰	47809.11	-----	-----
-----	237 ₄ ⁰	47817.77	-----	-----
-----	A237 ₃ ⁰	47868.35	-----	-----
-----	238 ₃ ⁰	48003.01	-----	-----
-----	239 ₄ ⁰	48109.34	-----	-----
-----	A239 _{4,5} ⁰	48144.03	-----	-----
-----	240 ₂ ⁰	48164.76	-----	-----
-----	241 ₃ ⁰	48405.02	-----	-----
-----	A241 ₃ ⁰	48492.96	1.143	-----
-----	B241 ₅ ⁰	48503.36	-----	-----
-----	242 ₃ ⁰	48570.79	-----	-----
-----	B242 ₄ ⁰	48597.43	-----	-----
-----	C242 ₁ ⁰	48604.39	-----	-----
-----	A242 ₃ ⁰	48765.87	-----	-----
-----	243 ₂ ⁰	48779.07	-----	-----
-----	A243 ₃ ⁰	48933.86	-----	-----

<u>Configuration</u>	<u>Term</u>	<u>Wave-Number</u>	<u>gMeas</u>	<u>gLS</u>
-----	D243 ^O ₃	48964.14	-----	-----
-----	E243 ^O ₁	49047.52	-----	-----
-----	B243 ^O ₃	49141.47	-----	-----
-----	C243 ^O ₄	49164.96	-----	-----
-----	F243 ^O ₂	49455.52	-----	-----
-----	244 ^O ₄	49949.13	-----	-----
-----	E244 ^O ₂	49970.64	-----	-----
-----	D244 ^O ₂	50027.96	-----	-----
-----	B244 ^O ₅	50122.40	1.169	-----
-----	A244 ^O _{1,2}	50163.60	-----	-----
-----	F244 ^O ₁	50192.00	-----	-----
-----	G244 ^O ₁	50338.91	-----	-----
-----	C244 ^O ₁	50775.96	-----	-----
-----	245 ^O ₄	51360.25	1.094	-----
-----	246 ^O ₂	51728.28	-----	-----

Table VIII
High Even Terms

<u>Configuration</u>	<u>Desig</u>	<u>Prob.</u> <u>Term</u>	<u>Wave-</u> <u>Number</u>	<u>gMeas</u>
4d ⁷ (⁴ F)·6s	435	e ⁵ F ₅	41256.41	
4d ⁷ (⁴ F)·6s	A43 ₄	e ³ F ₄	41825.27	
---	44 ₄	---	42895.47	
4d ⁷ (⁴ F)·6s	45 ₄	e ⁵ F ₄	43018.63	
4d ⁷ (⁴ F)·6s	46 ₃	e ⁵ F ₃	43115.51	
---	47 ₅	---	43139.17?	
4d ⁷ (⁴ F)·6s	48 ₂	e ⁵ F ₂	43892.12	
4d ⁷ (⁴ F)·6s	49 ₃	e ³ F ₃	44176.30	
4d ⁷ (⁴ F)·6s	A49 ₁	e ⁵ F ₁	44343.83	
4d ⁷ (⁴ F)·6s	50 ₂	e ³ F ₂	44970.06	
---	51 ₅	---	46906.38	
---	52 ₅	e ³ G ₅	47084.86	1.19
---	53 ₄	e ³ G ₄	47188.35	
---	55 ₄	f ³ F ₄ ?	47671.04	
---	56 ₂	---	49513.34	
---	57 ₄	---	49553.89	1.01
---	58 ₄	---	49555.31	
---	59 ₃	f ³ F ₃	49590.93	1.12
---	60 ₂	---	49757.93	
---	61 ₂	---	49882.22	
---	62 ₂	---	50521.27	
---	63 ₄	---	61387.74	

Table IX

<u>λ</u>	<u>Arc</u>	<u>Spk</u>	<u>Auth.</u>	<u>σ</u>	<u>Comb.</u>	<u>Zeeman</u>	<u>Effect</u>
						g_1	g_2
9322.81	tr	-	MF	10723.44	$z^3F_3^o$	-	46
9273.15	4	-	MIT	10780.87	$z^3D_3^o$	-	A43
9155.71	tr	-	MF	10919.15	42	-	$z^3G_3^o$
8984.95	2	-	MF	11004.20	$z^3F_2^o$	-	49
8777.39	3	-	MF	11389.78	$z^3D_1^o$	-	50
8724.98	3	-	MIT	11458.20	42	-	$z^3F_3^o$
8710.76	2	-	M	11476.90	$z^3F_4^o$	-	A43
8483.56	2	-	M	11784.31	$z^3F_3^o$	-	49
8473.75	2	-	MF	11797.91	$z^3F_2^o$	-	50
8448.57	0	-	M	11833.07	$z^7P_2^o$	-	49
8435.76	1	-	M	11851.04	$z^3D_3^o$	-	44
8352.94	12	-	MIT	11968.55	$z^3D_2^o$	-	49
8348.98	15	-	MIT	11974.23	$z^3D_3^o$	-	45
8281.93	tr	-	MF	12071.16	$z^3D_3^o$	-	46
8239.27	2	-	MF	12133.67	$x^5F_5^o$	-	51
8184.98	3	-	MF	12214.15	$x^5D_2^o$	-	61
8173.92	1	-	MIT	12230.67	$z^7F_4^o$	-	A43
8168.78	3	-	MIT	12238.37	42	-	$z^3F_2^o$
8157.69	3	-	MIT	12255.01	a^3H_5	-	$z^3G_5^o$
8112.47	20	-	MIT	12323.32	$z^3G_3^o$	-	49
8074.44	3	-	MF	12381.36	a^1D_2	-	$z^5F_2^o$
8058.54	2	-	MF	12405.79	a^3D_1	-	z^5D_1
8009.64	2	-	MF	12481.53	$z^5G_1^o$	-	45
7999.72	3	-	MIT	12497.00	42	-	$y^5D_3^o$
7975.45	3	-	MF	12535.03	$z^3P_{\frac{1}{2}}^o$	-	61
7948.15	15	-	MIT	12578.09	$z^3F_3^o$	-	50
7924.43	25	-	MIT	12615.74	$z^5G_5^o$	-	44
7917.55	2	-	MIT	12626.70	$z^7P_2^o$	-	50
7905.16	0	-	M	12646.49	42	-	$z^3D_1^o$
7904.20	1	-	MF	12648.03	a^3G_4	-	$z^7D_4^o$
7890.37	20	-	MIT	12670.19	$z^3F_4^o$	-	45
7881.49	10	-	MIT	12684.47	$z^5G_6^o$	-	43

<u>λ</u>	<u>Arc</u>	<u>Spk</u>	<u>Auth.</u>	<u>σ</u>	<u>Comb.</u>	<u>Zeeman</u>	<u>Effect</u>
						g_1	g_2
7871.94	3	-	MIT	12699.88	a^3D_3	- $z^5F_3^o$	
7847.80	100	-	MIT	12738.93	$z^5G_5^o$	- 45	
7833.39	10	-	MIT	12762.36	$z^3D_2^o$	- 50	
7830.52	2	-	MIT	12767.04	$z^3F_4^o$	- 46	
7829.81	7	-	MIT	12768.19	$z^7P_4^o$	- 45	
7815.45	tr	-	MF	12791.65	$z^7P_3^o$	- 49	
7814.00	tr	-	MF	12794.03	a^3H_4	- $z^3G_4^o$	
7813.51	1	-	M	12794.83	$x^5D_3^o$	- 58	
7813.45	3	-	MF	12794.93	42	- $y^5D_2^o$	
7791.86	100	-	MIT	12830.38	$z^5G_4^o$	- 49	
					or $x^5D_3^o$	- 59	
7781.37	1	-	M	12847.68	$z^3D_3^o$	- 48	
7775.41	60	-	MIT	12857.53	a^3D_1	- $z^5D_0^o$	
7774.14	100	-	MIT	12859.63	$z^3F_4^o$	- 47	
7770.92	2	-	MF	12864.95	$z^7P_4^o$	- 46	
7729.91	3	-	MF	12933.21	$z^5G_2^o$	- 48	
7722.87	25	-	MIT	12944.99	a^3H_6	- $z^3G_5^o$	
7701.39	1	-	M	12981.10	a^3D_1	- $z^5F_1^o$	
7687.48	2	-	M	13004.60	$z^3G_4^o$	- 44	
7621.50	10	-	MIT	13117.17	$z^3G_3^o$	- 50	
7612.94	3	-	MIT	13131.92	$z^3D_3^o$	- 48	
7609.00	1	-	M	13138.72	42	- $z^5P_3^o$	
7559.61	100	-	MIT	13224.56	$z^3G_4^o$	- 46	
7549.87	0	-	M	13241.62	$z^5F_4^o$	- 43	
7544.20	1	-	M	13251.57	a^3H_4	- $z^3F_4^o$	
7540.83	0	-	M	13257.50	a^3G_5	- $z^7D_4^o$	
7499.75	200	-	MIT	13330.11	$z^3G_5^o$	- A43	
7495.18	0	-	M	13338.24	a^1P_1	- $z^3D_1^o$	
7485.79	150	-	MIT	13354.97	$z^5G_3^o$	- 48	
7468.91	150	-	MIT	13385115	238°	- 63	
					or $z^5G_2^o$	- $e^5F_1^o$	
7458.44	3	-	MF	13403.94	a^3D_3	- $z^7F_4^o$	

<u>λ</u>	<u>Arc</u>	<u>Spk</u>	<u>Auth.</u>	<u>σ</u>	<u>Comb.</u>	<u>Zeeman Effect</u>
7445.45	4	-	MIT	13427.33	$z^7F_5^o$	- 44
7438.33	4	-	MIT	13440.18	a^3H_4	- $z^5G_3^o$
7410.25	5	-	MIT	13491.11	a^1D_2	- $z^5G_3^o$
7407.49	4	-	MIT	13496.14	a^3G_4	- $z^5D_4^o$
7393.13	150	-	MIT	13520.89	$z^7F_4^o$	- 46
7381.08	9	-	MIT	13544.43	$z^7F_4^o$	- 47
7377.77	20	-	MIT	13550.50	$z^7F_5^o$	- 45
7329.78	3	-	MF	13639.22	$z^5G_3^o$	- 49
7323.56	25	-	MIT	13650.80	a^3H_5	- $z^3G_4^o$
7312.63	5	-	MIT	13671.21	$z^7F_5^o$	- 47
7297.07	4	-	MIT	13700.36	a^3D_3	- $z^3G_4^o$
7272.22	3	-	MF	13747.18	$x^5F_3^o$	- 57
7266.88	3	-	M	13757.28	$y^5y^5D_3^o$	- 53
7229.80	2	-	MF	13827.84	a^3D_3	- $z^7F_2^o$
7225.29	2	-	MF	13836.47	a^3D_2	- $z^5F_3^o$
7212.58	3	-	MF	13860.85	b^3P_2	- $z^5D_3^o$
7205.78	0	-	M	13873.93	$z^7F_2^o$	- 48
7183.02	6	-	MIT	13917.89	a^3H_6	- $z^7F_5^o$
7178.90	2	-	MF	13925.88	$z^7P_4^o$	- 49
					or $z^3D_3^o$	- 50
7167.77	4	-	MIT	13947.50	a^3H_4	- $z^3D_3^o$
7165.83	0h	-	M	13951.28	$x^5F_3^o$	- 60
7141.72	9	-	MIT	13998.38	a^1D_2	- $z^3D_3^o$
7135.64	3	-	MF	14010.29	a^3H_5	- $z^7P_4^o$
7135.19	6	-	MIT	14011.19	$z^5G_2^o$	- 50
7120.75	2	-	MF	14039.60	a^3H_5	- $z^5G_5^o$
7110.59	5	-	MIT	14059.66	a^3D_3	- $z^7P_4^o$
7087.35	40	-	MIT	14105.76	a^3G_5	- $z^5D_4^o$
7086.06	40	-	MIT	14108.33	a^3H_5	- $z^3F_4^o$
7080.29	2	-	MF	14119.83	$x^5F_4^o$	- 59
7070.18	3	-	MF	14140.02	a^1D_2	- $z^5S_2^o$
7061.20	25	-	MIT	14157.98	a^3D_3	- $z^3F_4^o$
					or $z^7F_2^o$	- 49
7027.98	250	-	MIT	14224.92	$z^5F_3^o$	- 46
7017.46	3	-	MF	14246.25	a^3D_1	- $z^5G_2^o$

<u>λ</u>	<u>Arc</u>	<u>Spk</u>	<u>Auth.</u>	<u>σ</u>	<u>Comb.</u>	<u>Zeeman Effect</u>
7016.17	2	-	MF	14248.87	a^3H_4	- $z^5G_4^o$
6998.33	3	-	MF	14285.19	$z^3G_4^o$	- 49
6995.52	2	-	MF	14290.93	b^3P_0	- $z^5D_1^o$
6968.43	2	-	MF	14346.48	a^3D_3	- $z^5G_3^o$
6923.23	300	-	MIT	14440.15	z^5F_5	- 43
6911.48	100	-	MIT	14464.70	z^5F_2	- 48
6902.23	3	-	MF	14484.08	b^3P_1	- $z^5D_2^o$
6883.50	2	-	MF	14523.49	$z^3G_5^o$	- 45
6852.92	0	-	M	14588.30	b^3F_2	- $z^7D_3^o$
6843.13	0	-	M	14609.17	a^3G_5	- $z^5F_5^o$
6838.00	3	-	MF	14620.13	$z^3G_5^o$	- 46
6807.07	tr	-	MF	14686.56	a^3P_1	- $z^7D_2^o$
6805.54	5	-	MIT	14689.86	a^3G_4	- $z^5D_3^o$
6787.23	20	-	MIT	14729.49	a^3H_6	- $z^5G_5^o$
6775.02	40	-	MIT	14756.04	a^3H_4	- $z^3G_3^o$
6770.12	tr	-	MF	14766.72	a^3G_3	- $z^5D_2^o$
6766.95	30	-	MIT	14773.64	$z^5D_1^o$	- 48
6756.54	9	-	MIT	14796.40	z^3F_3	- 53
6751.78	3	-	MF	14806.83	a^1D_2	- $z^3G_3^o$
6730.45	25	-	MIT	14853.75	a^3D_3	- $z^3D_3^o$
6724.76	0	-	M	14866.32	b^3P_0	- $z^5F_1^o$
6721.81	3	-	MF	14872.85	42	- ∇F_3
6718.30	15	-	MIT	14880.62	z^5F_4	- 44
6690.001	300	-	MIT	14943.56	$z^5D_4^o$	- 43
6664.14	5	-	MIT	15001.51	z^5F_3	- 48
6663.139	100	-	MIT	15003.80	z^5F_4	- 45
6651.485	3	-	MF	15030.09	42	- ∇F_2
6648.10	1	-	EV	15037.74	a^3P_0	- $z^7D_1^o$
6620.45	2	-	MF	15100.55	z^5F_4	- 46
6618.195	20	-	MIT	15105.70	a^3H_5	- $z^5G_4^o$
6596.584	4	-	MIT	15155.19	a^3D_3	- $z^5G_4^o$
6593.745	15	-	MIT	15161.71	a^1D_2	- $z^3D_2^o$
6577.96	2	-	MF	15198.09	a^3G_4	- z^5F_4
6557.835	2	-	MF	15244.73	b^3P_2	- z^5F_3

<u>λ</u>	<u>Arc</u>	<u>Spk</u>	<u>Auth.</u>	<u>σ</u>	<u>Comb.</u>	<u>Zeeman Effect</u>
6544.25	5	-	MIT	15276.38	$z^5F_1^o$	- 50
6540.236	15	-	MIT	15285.77	$z^5F_3^o$	- 49
6519.077	3	-	MF	15335.37	$z^3G_3^o$	- 53
6499.75	0	-	M	15380.97	$b^3F_3^o$	- $z^7D_3^o$
6496.439	25	-	MIT	15388.80	$z^5D_3^o$	- 44
6486.650	3	-	MF	15412.03	a^3P_2	- $z^7D_3^o$
6485.19	2	-	MF	15415.50	a^1H_5	- $\chi^5F_4^o$
6472.54	2	-	M	15445.63	b^3P_1	- $z^5F_2^o$
6461.19	tr	-	MF	15472.76	b^3P_2	- $z^5D_1^o$
6456.928	tr	-	MF	15482.97	a^3D_2	- $z^5G_3^o$
6451.86	1	-	M	15495.13	a^3D_1	- $z^3D_2^o$
6444.856	25	-	MIT	15511.97	$z^5D_3^o$	- 45
6432.11	1	-	M	15542.69	$z^5F_2^o$	- 50
6413.30	0	-	M	15588.30	b^3P_1	- $z^5D_0^o$
6404.85	0	-	M	15608.85	$z^5D_3^o$	- 46
6384.669	3	-	MF	15658.20	$b^3F_3^o$	- $z^5D_4^o$
6383.003	3	-	MF	15662.29	a^3D_3	- $z^3G_3^o$
6376.450	9	-	MIT	15678.38	a^3G_4	- $z^3G_5^o$
6363.407	4	-	MIT	15710.55	$z^5D_2^o$	- 49
6351.891	2	-	MIT	15739.00	$z^5G_4^o$	- 52
6336.121	5	-	MIT	15781.73	b^3P_2	- $z^5F_2^o$
6330.619	20	-	MIT	15791.89	$z^7D_4^o$	- 43
6324.280	2	-	MF	15807.71	a^3G_5	- $z^5F_4^o$
6316.730	4	-	MIT	15826.61	42 - $x^5D_3^o$	
6310.28	0	-	M	15842.54	$z^5G_4^o$	- 53
6306.786	tr	-	MF	15851.56	$z^5D_1^o$	- 50
6289.350	tr	-	MF	15895.51	a^3G_3	- $z^7F_{44}^o$
6285.685	tr	-	MF	15904.77	a^3D_2	- $z^5G_2^o$
6274.502	tr	-	MF	15933.12	$y^5D_2^o$	- 56
6252.061	2	-	MF	15990.31	a^3D_2	- $z^3D_3^o$
6241.643	tr	-	MF	16017.00	a^3D_3	- $z^3D_2^o$
6235.968	tr	-	MF	16031.58	42 - $y^3D_2^o$	
6231.798	3	-	MF	16042.05	z^7D_5	- 43
6225.203	20	-	MIT	16059.30	b^3F_2	- $z^5F_3^o$
6219.55	1	-	M	16073.89	a^3G_4	- $z^5F_3^o$

<u>λ</u>	<u>Arc</u>	<u>Spk</u>	<u>Auth.</u>	<u>σ</u>	<u>Comb.</u>	<u>Zeeman Effect</u>
6217.48	2	-	M	16079.24	$z^5F_5^o$	- 44
6213.66	1	-	M	16089.13	$z^5F_3^o$	- 50
6199.431	3	-	MF	16126.06	a^1D_2	- $z^3F_2^o$
6197.149	tr	-	MF	16132.00	a^3D_2	- $z^5S_2^o$
6192.561	9	-	MIT	16143.95	$z^3D_3^o$	- 53
					or $y^5D_4^o$	- 59
6185.843	tr	-	MF	16161.48	$z^5F_4^o$	- 49
6179.571	tr	-	MF	16177.86	$z^3D_1^o$	- 60
6176.784	9	-	MIT	16185.18	42	- $z^3P_2^o$
6174.226	3	-	MF	16191.89	a^3G_3	- $z^3G_4^o$
6170.609	15	-	MIT	16201.38	a^3D_3	- $z^3F_3^o$
6170.217	2	-	MF	16202.41	$z^5F_5^o$	- 44
6137.70	1	-	M	16288.25	a^3G_5	- $z^3G_5^o$
6132.493	tr	-	MF	16302.08	$z^3D_1^o$	- 62
6116.772	25	-	MIT	16343.98	b^3F_4	- $z^7D_4^o$
					or a^1G_4	- $z^3D_3^o$
6108.967	3	-	MF	16364.86	a^3G_5	- $z^5G_6^o$
6101.586	2	-	MF	16384.66	a^1D_2	- $y^5D_3^o$
6083.551	4	-	MIT	16433.23	42	- $y^3D_3^o$
6077.779	tr	-	MF	16448.83	$z^5P_3^o$	- 62
6073.906	2	-	MF	16459.32	a^3D_1	- $z^3F_2^o$
6037.719	tr	-	MF	16557.94	$z^3F_4^o$	- 51
6012.803	tr	-	MF	16626.58	$z^5G_5^o$	- 51
					or $z^3D_3^o$	- 55
6004.428	tr	-	MF	16649.77	a^3G_3	- $z^3F_4^o?$
6003.859	2	-	MF	16651.32	a^3G_4	- $z^7F_5^o$
					or $z^5G_3^o$	- 53
5993.653	15	-	MIT	16679.71	a^3P_1	- $z^5D_2^o$
5992.585	tr	-	MF	16682.68	a^1D_2	- $y^5D_2^o$
5991.452	tr	-	MF	16685.83	42	- $y^3D_1^o$
5988.672	12	-	MIT	16693.53	a^5P_3	- $z^7D_4^o$
5978.07	0	-	M	16723.19	a^1P_1	- $y^3D_2^o$
5974.167	6	-	MIT	16734.11	42	- $x^5D_2^o$
5973.379	12	-	MIT	16736.32	$z^3F_4^o$	- 52
5953.38	1	-	M	16792.53	$y^5D_2^o$	- 62

<u>λ</u>	<u>Arc</u>	<u>Spk</u>	<u>Auth.</u>	<u>σ</u>	<u>Comb.</u>	<u>Zeeman</u>	<u>Effect</u>
						g_1	g_2
5951.146	5	-	MIT	16798.84	$a^3D_2 - z^3G_3^o$		
5948.90	0	-	M	16805.20	$z^5G_5^o - 52$		
5941.45	1	-	EV	16826.26	$z^5D_4^o - 47$		
5938.547	tr	-	MF	16834.48	$z^7P_4^o - 52$		
5936.653	4	-	MIT	16839.85	$z^3F_4^o - 53$		
5932.379	15	-	MIT	16851.98	$b^3F_3 - z^5D_3^o$		
				or	$a^3F_2 - z^7D_3^o$		
5929.269	tr	-	MF	16860.82	$z^7D_3^o - 44$		
5926.868	10	-	MIT	16867.65	$a^3D_1 - z^3D_1^o$		
5921.446	25	-	MIT	16883.10	$a^3P_2 - z^5D_3^o$	1.530	1.423
5919.342	20	-	MIT	16889.10	$a^5D_3 - z^7D_4^o$		
5910.297	tr	-	MF	16914.95	$b^3F_4 - z^5D_3^o$		
5902.259	tr	-	MF	16937.98	$z^7P_4^o - 53$		
5896.899	tr	-	MF	16953.38	$a^3G_5^o - z^7F_6^o$		
5888.399	tr	-	MF	16977.85	$a^5D_2 - z^7D_3^o$		
5887.159	2	-	MF	16981.43	$a^3D_3 - z^3F_2^o$		
5874.374	tr	-	MF	17018.38	$b^3F_2 - z^5D_2^o$		
5862.419	trb?	-	MF	17053.09	42 - 161?		
5839.02	oh	-	M	17121.41	$z^3F_3^o - 56$		
5831.243	tr	-	MF	17144.26	$w^5D_4^o - 63$		
5828.411	3	-	MF	17152.59	$a^1G_4 - z^3G_3^o$		
5828.065	6	-	MIT	17153.61	$a^3D_2 - z^3D_2^o$		
5825.851	2	-	MF	17160.13	$a^5P_1 - z^7D_1^o$		
5825.286	tr	-	MF	17161.79	$z^3F_3^o - 57$		
5824.864	2	-	MF	17163.03	$z^3F_3^o - 58$		
5814.980	25	-	MIT	17192.21	$b^3F_4 - z^5D_4^o$		
5812.615	3	-	MF	17199.20	$z^3F_3^o - 59$		
5810.881	tr	-	MF	17204.34	$b^3P_1 - z^5S_2^o$		
5802.027	tr	-	MF	17230.79	$a^3P_1 - z^3P_0^o$		
5798.84	1	-	M	17240.07	$a^3D_3 - y^5D_3^o$		
5792.234	3	-	MF	17259.72	$a^3G_3^o - z^5G_2^o$		
5790.593	3	-	MF	17264.61	$a^5P_3 - z^7D_3^o$		
5782.725	tr	-	MF	17288.10	$a^5D_0 - z^7D_1^o$		
5782.368	3	-	MF	17289.17	$a^3F_2 - z^7D_2^o$		
			or		$a^3D_2 - z^7P_2^o$		

<u>λ</u>	<u>Arc</u>	<u>Spk</u>	<u>Auth.</u>	<u>σ</u>	<u>Comb.</u>	<u>Zeeman Effect</u>
						<u>g_1</u> <u>g_2</u>
5776.839	tr	-	MF	17305.72	$z^3D_2^o$ - 56	
5774.86	1	-	M	17311.65	$z^7F_4^o$ - 51	
5774.406	3	-	MF	17313.01	b^3P_2 - $z^5G_2^o$	
5767.920	7	-	MIT	17332.48	a^3P_1 - $z^5D_1^o$	
5766.117	tr	-	MF	17338.00	a^3D_2 - $z^3F_3^o$	
5763.671	3	-	MF	17345.24	a^3G_3 - $z^3D_3^o$	
5758.728	3	-	MF	17360.15	b^3F_3 - $z^5D_2^o$	
5756.831	6	-	MIT	17365.86	a^3P_0 - $z^5D_1^o$	
					or $z^3F_3^o$ - 60	
5752.023	10	-	MIT	17380.38	a^3F_3 - $z^7D_4^o$	
5745.990	10	-	MIT	17398.63	b^3P_2 - $z^3D_3^o$	
5745.615	3	-	MF	17399.76	a^5D_1 - $z^7D_2^o$	
5740.552	2	-	MF	17415.11	a^5D_2 - $z^7D_3^o$	
5736.973	tr	-	MF	17425.97	a^1P_1 - $x^5D_2^o$	
5734.433	2	-	MF	17433.69	a^3G_4 - $z^7P_4^o$	
5732.900	tr	-	MF	17438.35	$z^7F_5^o$ - 51	
5731.295	tr	-	MF	17443.24	b^3F_2 - $z^5F_3^o$	
5724.815	12	-	MIT	17462.98	a^3G_4 - $z^5G_5^o$	
5715.873	tr	-	MF	17490.30	$z^7F_4^o$ - 52	
					or $z^3F_3^o$ - 61	
5702.361	15	-	MIT	17531.74	a^3G_4 - $z^3F_4^o$	
5699.577	10	-	MIT	17540.31	b^3P_2 - $z^5S_2^o$	
5699.047	125	-	MIT	17541.94	a^5P_3 - $z^5D_4^o$	1.623 1.483
5696.352	3	-	MF	17550.24	$z^3D_2^o$ - 60	
5693.028	7	-	MIT	17560.18	a^1P_1 - $x^5D_0^o$	
5682.272	tr	-	MF	17593.72	$z^7F_4^o$ - 53	
5674.851	tr	-	MF	17616.73	$z^7F_5^o$ - 52	
5665.201	10	-	MIT	17646.74	a^3G_3 - $z^5G_4^o$	
5663.051	2	-	MF	17653.44	42 - $z^3S_1^o$	
5653.302	4	-	MIT	17683.88	a^3G_5 - $z^3G_4^o$	
5652.797	tr	-	MF	17685.46	a^3G_3 - $z^7P_3^o$	
5650.812	2	-	MF	17691.67	a^1G_4 - $z^3F_3^o$	
5649.555	7	-	MIT	17695.61	b^3F_4 - $z^5F_5^o$	

<u>λ</u>	Arc Spk	Auth.	<u>σ</u>	Comb.	Zeeman Effect	
					g_1	g_2
5647.882	3	-	MF	17700.85	$z^3G_3^o$	- 57
5647.560	3	-	MF	17701.86	a^5P_3	- $z^7D_2^o$
5645.757	tr	-	MF	17707.51	a^5D_1	- $z^7D_1^o$
5641.655	7	-	MIT	17720.39	a^3G_4	- $z^5G_3^o$
				or	$z^7F_5^o$	- 53
5640.842	tr	-	MF	17722.94	a^5D_2	- $z^7D_1^o$
5636.235	100	-	MIT	17737.43	a^5D_3	- $z^5D_4^o$
5633.542	2	-	MF	17745.91	$z^7F_6^o$	- 51
5625.061	tr	-	MF	17772.66	42	- $y^5P_3^o$
5603.142	12	-	MIT	17842.19	a^3P_2	- $z^5D_2^o$
5590.729	tr	-	MF	17881.80	a^3D_3	- $z^5P_3^o$
5685.888	tr	-	MF	17897.30	a^5D_3	- $z^7D_2^o$
5572.277	tr	-	MF	17941.01	a^3P_0	- $z^5F_1^o$
5569.033	12	-	MIT	17951.47	a^3F_3	- $z^7D_3^o$
5559.749	60	-	MIT	17981.44	a^5D_4	- $z^7D_4^o$
5556.520	10	-	MIT	17991.89	a^5P_2	- $z^7D_3^o$
5553.776	tr	-	MF	18000.78	a^1D_2	- $z^5P_1^o$
5541.933	tr	-	MF	18039.25	$z^3G_3^o$	- 61
5540.662	12	-	MIT	18043.38	a^3G_5	- $z^7P_4^o$
5530.993	5	-	MIT	18074.93	42	- $y^5P_2^o$
5517.842	3	-	MF	18118.01	a^3D_2	- $z^3F_2^o$
5510.714	100	-	MIT	18141.44	a^3G_5	- $z^3F_4^o$
5509.196	tr	-	MF	18146.44	b^3F_2	- $z^5F_1^o$
5506.931	2	-	MF	18153.90	a^3G_3	- $z^3G_3^o$
5502.20	0	-	M	18169.49	a^3D_1	- $z^5P_2^o$
5501.858	tr	-	MF	18170.64	$z^7P_3^o$	- 58
5499.632	tr	-	MF	18178.00	$z^7P_2^o$	- 62
5496.687	15	-	MIT	18187.74	a^1H_5	- $y^3F_4^o$
5490.808	2	-	MF	18207.21	b^3P_2	- $z^3G_3^o$
5490.573	2	-	MF	18207.99	$z^5G_4^o$	- 57
5490.124	tr	-	MF	18209.48	$z^5G_4^o$	- 58
5485.147	2	-	MF	18226.00	b^3P_1	- $z^3D_2^o$
5484.643	10	-	MIT	18227.68	a^3G_4	- $z^3D_3^o$
5484.323	60	-	MIT	18228.74	a^3F_3	- $z^5D_4^o$
5483.24	2	-	M	18232.34	a^3P_1	- $z^7F_2^o$

1.188 1.274

1.425 1.488

<u>λ</u>	Arc	Spk	Auth.	<u>σ</u>	Comb.	Zeeman Effect	
						g_1	g_2
5482.165	tr	-	MF	18235.91	$b^3F_3 - z^5F_3^o$		
5480.513	2	-	MF	18241.41	$a^1H_5 - z^3H_5^o$		
5479.404	40	-	MIT	18245.10	$z^5G_4^o - 59$	(1.111)	1.123
5472.841	4	-	MIT	18266.98	$a^3P_2 - z^5F_3^o$		
5463.151	2	-	MF	18299.38	$a^3P_1 - z^7F_1^o$		
5458.920	tr	-	MF	18313.57	$z^3D_2^o - 62$		
5456.134	40	-	MIT	18322.92	$a^3F_2 - z^5D_3^o$	1.091	1.428
5454.227	tr	-	MF	18329.32	$a^3P_1 - z^7F_0^o$		
5452.712	7	-	MIT	18334.42	$z^5G_6^o - 51$		
5449.478	tr	-	MF	18345.30	$a^1P_1 - z^3S_1^o$		
5444.620	2	-	MF	18361.66	$b^3P_1 - z^7P_2^o$		
5436.624	2	-	MF	18388.67	$a^3F_3 - z^7D_2^o$		
5429.961	tr	-	MF	18411.23	$z^3G_5^o - 51$		
5424.751	3	-	MF	18428.92	$a^5P_2 - z^7D_2^o$		
5420.100	2	-	MF	18444.73	$b^3F_2 - z^7F_3^o$		
5418.855	20	-	MIT	18448.97	$a^5D_2 - z^5D_3^o$		
5407.540	tr	-	MF	18487.57	$z^5G_6^o - 51$		
5405.362	tr	-	MF	18495.02	$a^3P_2 - z^5D_1^o$		
5401.394	20	-	MIT	18508.61	$a^3G_3 - z^3D_2^o$		
5395.384	2	-	MF	18529.22	$a^3G_4 - z^5G_4^o$		
5390.427	2	-	MF	18546.26	$z^3D_3^o - 59$		
5388.609	5	-	MIT	18552.52	$a^5D_4 - z^7D_3^o$		
5385.879	25	-	MIT	18561.92	$b^3P_2 - z^3D_2^o$	1.315	1.028
5384.11	1	-	M	18568.03	$a^3G_4 - z^7P_3^o$		
5377.839	25	-	MIT	18589.67	$z^3G_5^o - 52$	1.22	1.19
5365.586	3	-	MF	18632.13	$z^5G_2^o - 59$		
5362.087	4	-	MIT	18644.28	$a^3G_3 - z^7P_2^o$		
5355.134	tr	-	MF	18668.49	$z^3G_3^o - 62$		
5354.955	2	-	MF	18669.12	$a^3F_4 - z^7D_5^o$		
5348.605	tr	-	MF	18691.28	$a^3D_3 - z^5P_2^o$		
5348.136	3	-	MF	18692.92	$a^3G_3 - z^3F_3^o$		
5347.206	2	-	MF	18696.17	$z^5S_2^o - 61$		
5346.798	tr	-	MF	18697.60	$b^3P_2 - z^7P_2^o$		
5343.308	2	-	MF	18709.81	$a^3H_4 - z^5F_3^o$		
5342.225	tr	-	MF	18713.60	$z^3D_3^o - 60$		

<u>λ</u>	<u>Arc</u>	<u>Spk</u>	<u>Auth.</u>	<u>σ</u>	<u>Comb.</u>	<u>Zeeman Effect</u>
						<u>g_1</u> <u>g_2</u>
5335.930	100	-	MIT	18735.68	$a^5P_3 - z^5D_3$	1.621 1.422
5332.931	40	-	MIT	18746.21	$b^3P_2 - z^3F_3$	
5331.091	tr	-	MF	18752.68	$b^3P_0 - z^3D_1$	
5328.807	tr	-	MF	18760.72	$a^1D_2 - z^5F_3$	
5327.133	2	-	MF	18766.62	$a^1P_1 - y^5P_2$	
5325.352	tr	-	MF	18772.89	$b^3F_3 - z^5F_2$	
5323.207	3	-	MF	18780.46	$z^5F_3 - 55$	
5317.916	tr	-	MF	18799.14	$z^5G_2 - 60$	
5316.612	tr	-	MF	18803.75	$a^3P_2 - z^5F_2$	
5315.326	10	-	MIT	18808.30	$42 - y^3P_2$	
5309.267	125	-	MIT	18829.97	$a^5D_4 - z^5D_4$	1.44 1.47
5306.452	7	-	MIT	18839.76	$42 - y^5P_1$	
5305.854	7	-	MIT	18841.18	$a^1H_5 - z^3H_6$	
5304.860	60	-	MIT	18845.41	$a^5P_1 - z^5D_2$	
5291.89	1	-	M	18891.59	$z^5F_4 - 51$	
5291.165	25	-	MIT	18894.18	$b^3F_4 - z^5F_4$	
5284.090	100	-	MIT	18919.48	$a^3F_4 - z^7D_4$	1.282 1.623
5280.822	12	-	MIT	18931.19	$a^5D_3 - z^5D_3$	1.426 1.426n
5278.393	3	-	MF	18939.90	$b^3F_3 - z^7F_4$	
5266.833	15	-	MIT	18981.47	$a^1H_5 - x^3F_4$	
5266.472	12	-	MIT	18982.77	$42 - y^3P_1$	1.337 1.595
5257.075	25	-	MIT	19016.71	$z^5G_3 - 57$	(0.944) 1.010n
5251.667	25	-	MIT	19036.29	$a^3G_4 - z^3G_3$	
					or $z^7P_3 - 62$	
5250.459	tr	-	MF	19040.67	$w^3F_4 - 63$	
5246.826	tr	-	MF	19053.85	$z^5G_3 - 59$	
5242.381	10	-	MIT	19070.01	$a^3P_2 - z^5F_1$	
					or $z^5F_4 - 52$	
5236.955	tr	-	MF	19089.77	$b^3F_2 - z^5G_3$	
5223.553	20	-	MIT	19138.75	$a^3G_5 - z^5G_4$	
5214.077	4	-	MIT	19173.53	$z^5F_4 - 53$	
5213.428	10	-	MIT	19175.91	$z^3G_5 - 55$	
5209.501	7	-	MIT	19190.37	$b^3P_1 - z^3F_2$	
5202.122	12	-	MIT	19217.59	$a^1H_5 - z^3H_4$	
5197.062	3	-	MF	19236.30	$b^3F_3 - z^3G_4$	

<u>λ</u>	Arc	Spk	Auth.	<u>σ</u>	Comb.	Zeeman Effect	
						g_1	g_2
5195.408	tr	-	MF	19242.42	$z^3F_4^o$ - 59		
5195.019	100	-	MIT	19243.86	$a^5P_3^o$ - $z^5F_4^o$	1.628	1.368
5193.001	2	-	MF	19251.31	$a^3D_1^o$ - $x^5F_2^o$		
5189.702	2	-	MF	19263.58	$b^3P_0^o$ - $y^5D_1^o$		
5188.383	tr	-	MF	19268.48	$a^3P_2^o$ - $z^7F_3^o$		
5186.52	1	-	M	19275.40	$z^5G_5^o$ - 58		
5184.734	2	-	MF	19282.04	$a^3F_2^o$ - $z^5D_2^o$		
5178.64	lh	-	M	19304.72	$z^7P_4^o$ - 58		
5171.028	150	-	MIT	19333.14	$a^5D_4^o$ - $z^5F_5^o$	(1.447)	1.396n
5159.998	12	-	MIT	19374.47	$b^3F_4^o$ - $z^3G_5^o$		
5155.136	125	-	MIT	19392.74	$a^5D_1^o$ - $z^5D_2^o$	1.794	1.325
5154.587	3	-	MF	19394.81	$a^3P_2^o$ - $z^7F_2^o$		
					or $a^1H_5^o$ - $y^3G_5^o$		
5153.205	7	-	MIT	19400.01	$a^3P_1^o$ - $z^5S_2^o$		
5151.067	40	-	MIT	19408.06	$a^5D_2^o$ - $z^5D_2^o$	1.233	1.323
5147.237	60	-	MIT	19422.50	$a^3F_3^o$ - $z^5D_3^o$	1.193	1.424
5142.763	25	-	MIT	19439.40	$a^5D_3^o$ - $z^5F_4^o$	(1.420)	1.370n
5136.826	2	-	MF	19461.87	$a^3P_2^o$ - $z^7F_1^o$		
5136.550	125	-	MIT	19462.91	$a^5P_2^o$ - $z^5D_3^o$	1.559	1.424
5133.886	15	-	MIT	19473.01	$a^3G_3^o$ - $z^3F_2^o$	(0.757)	1.029p
5129.258	tr	-	MF	19490.58	$a^3F_4^o$ - $z^7D_3^o$		
5127.257	20	-	MIT	19498.19	$a^5P_1^o$ - $z^5D_1^o$		
5126.894	tr	-	MF	19499.57	42 - $y^3F_2^o$		
5126.757	2	-	MF	19500.09	$a^1P_1^o$ - $y^3P_2^o$		
5123.728	7	-	MIT	19511.62	$b^3F_2^o$ - $z^5G_2^o$		
5119.864	tr	-	MF	19526.34	$b^3P_2^o$ - $z^3F_2^o$		
5107.067	40	-	MIT	19575.27	$a^3G_4^o$ - $z^3F_3^o$		
5101.717	7	-	MIT	19595.80	$b^3F_3^o$ - $z^7P_4^o$		
5101.387	20	-	MIT	19597.07	$b^3F_2^o$ - $z^3D_3^o$		
5093.826	60	-	MIT	19626.16	$a^5D_0^o$ - $z^5D_1^o$	0/0	0.953n
5083.977	tr	-	MF	19664.18	$z^3G_4^o$ - 58		
5079.445	4	-	MIT	19681.72	$z^5D_3^o$ - 53		
5076.318	40	-	MIT	19693.84	$b^3F_3^o$ - $z^3F_4^o$		
5076.072	15	-	MIT	19694.80	$a^5P_3^o$ - $z^5D_2^o$		
5072.971	25	-	MIT	19706.84	$a^3F_2^o$ - $z^5F_3^o$		

<u>λ</u>	<u>Arc</u>	<u>Spk</u>	<u>Auth.</u>	<u>σ</u>	<u>Comb.</u>	<u>Zeeman Effect</u>
						<u>g_1</u> <u>g_2</u>
5070.990	2	-	MF	19714.54	a ¹ D ₂ - x ⁵ D ₃	
5064.775	2	-	MF	19738.73	b ³ F ₂ - z ⁵ S ₂	
5062.642	10	-	MIT	19747.04	b ³ P ₁ - y ⁵ D ₂	
5057.331	100	-	MIT	19767.78	a ³ F ₄ - z ⁵ D ₄	1.280 1.485
5056.813	tr	-	MF	19769.81	b ³ F ₄ - z ⁵ F ₃	
5055.907	2	-	MF	19773.35	a ³ D ₃ - y ⁵ F ₂	
5052.949	5	-	MIT	19784.92	b ³ P ₂ - y ⁵ D ₃	
5047.312	10	-	MIT	19807.02	a ⁵ P ₁ - z ⁵ F ₂	
5040.744	10	-	MIT	19832.83	a ⁵ D ₂ - x ⁵ F ₃	
5040.353	7	-	MIT	19834.36	42 - x ³ D ₃	
5032.882	tr	-	MF	19863.81	z ⁷ F ₂ - 61	
5028.16	12	-	MIT	19882.46	b ³ F ₃ - z ⁵ G ₃	
5026.175	15	-	MF	19890.32	a ⁵ D ₃ - z ⁵ D ₂	
5020.305	6	-	MIT	19913.57	a ³ P ₂ - z ⁵ G ₃	
5018.859	3	-	MF	19919.31	a ¹ D ₂ - y ³ D ₂	
5016.008	tr	-	MF	19930.63	a ³ F ₃ - z ⁵ F ₄	
5014.954	20	-	MIT	19934.84	a ³ F ₂ - z ⁵ D ₁	1.094 0.963
5014.324	tr	-	MF	19937.23	b ³ F ₂ - z ⁷ P ₃	
5011.227	25	-	MIT	19949.64	a ⁵ P ₁ - z ⁵ D ₀	1.980 0/0 n
5008.816	12	-	MF	19959.25	z ⁷ F ₄ - 57	
5002.627	2	-	MF	19983.94	z ⁵ G ₃ - 62	
4999.552	6	-	MIT	19996.23	z ⁷ F ₄ - 59	
4992.736	25	-	MIT	20023.53	a ⁵ D ₄ - z ⁵ D ₃	
4991.20	1	-	M	20029.69	a ³ G ₃ - y ⁵ D ₂	
4987.262	15	-	MIT	20045.51	a ⁵ D ₁ - z ⁵ D ₀	
4983.449	7	-	MIT	20060.84	a ⁵ D ₂ - z ⁵ D ₁	
4980.354	60	-	MIT	20073.31	a ⁵ P ₁ - z ⁵ F ₁	
4978.000	3	-	MF	20082.80	42 - x ³ D ₁	
4977.212	tr	-	MF	20085.98	z ⁵ F ₂ - 56	
4976.197	40	-	MIT	20090.08	z ⁵ F ₅ - 51	
4971.418	2	-	MF	20109.39	b ³ P ₁ - y ⁵ D ₁	
4968.908	40	-	MIT	20119.56	a ⁵ P ₃ - z ⁵ F ₃	
4957.842	10	-	MIT	20164.45	z ⁵ D ₃ - 55	
4951.246	2	-	MF	20191.24	a ¹ P ₁ - y ³ F ₂	
4948.806	2	-	MF	20201.27	a ⁵ D ₀ - z ⁵ F ₁	

<u>λ</u>	Arc	Spk	Auth.	<u>σ</u>	Comb.	Zeeman Effect	
						<u>g_1</u>	<u>g_2</u>
4944.403	2	-	MF	20219.26	b ³ P ₀ - z ⁵ P ₁ ^o		
4943.997	3	-	MF	20220.92	a ¹ H ₅ - z ¹ G ₄ ^o		
4938.434	60	-	MIT	20243.70	a ³ F ₂ - z ⁵ F ₂ ^o		
4937.080	2	-	MF	20249.25	42 - w ³ F ₂ ^o		
4936.231	6	-	MIT	20252.73	a ³ D ₁ - y ³ D ₂ ^o		
4932.383	tr	-	MF	20268.53	z ⁵ F ₅ ^o - 52		
4931.735	2	-	MF	20271.20	a ³ F ₄ - z ⁵ F ₅ ^o		
4924.531	2	-	MF	20300.85	a ¹ D ₂ - z ³ P ₁ ^o		
4923.736	2	-	MF	20304.13	b ³ F ₃ - z ⁵ G ₂ ^o		
4921.074	40	-	MIT	20315.11	a ⁵ D ₃ - z ⁵ F ₃ ^o	1.417	1.297
4919.654	3	-	MF	20320.97	a ¹ D ₂ - z ³ P ₁ ^o		
4918.359	3	-	MF	20326.33	42 - w ³ F ₃ ^o		
4917.354	4	-	MIT	20330.48	z ⁵ F ₂ ^o - 60		
4913.265	5	-	MIT	20347.40	b ³ F ₄ - z ⁷ F ₅ ^o		
4911.593	10	-	MIT	20354.33	a ⁵ D ₁ - z ⁵ F ₂ ^o		
4907.888	20	-	MIT	20369.69	a ⁵ D ₂ - z ⁵ F ₂ ^o	1.24	1.17
4905.022	12	-	MIT	20381.60	a ³ F ₃ - z ⁵ D ₂ ^o		
4904.551	3	-	MF	20383.55	a ¹ H ₅ - y ³ G ₄ ^o		
4903.053	60	-	MIT	20389.78	b ³ F ₃ - z ³ D ₃ ^o	1.081	1.201
4901.862	5	-	MIT	20394.72	z ⁵ D ₁ ^o - 56		
4901.066	7	-	MIT	20398.05	b ³ P ₁ - y ⁵ D ₀ ^o		
					or a ⁵ P ₁ - z ⁷ F ₂ ^o		
4899.252	12	-	MIT	20405.60	b ³ F ₂ - z ³ G ₃ ^o		
4895.597	12	-	MIT	20420.83	a ³ P ₂ - z ³ D ₃ ^o	1.541	1.206
4895.418	4	-	MF	20421.58	a ³ P ₁ - z ³ D ₂ ^o		
4895.320	10	-	MIT	20421.99	a ⁵ P ₂ - z ⁵ D ₂ ^o		
4894.211	3	-	MF	20426.61	b ³ P ₂ - z ⁵ P ₃ ^o		
4889.753	3	-	MF	20445.24	b ³ P ₂ - y ⁵ D ₁ ^o		
4885.006	7	-	MIT	20465.11	a ⁵ P ₁ - z ⁷ F ₁ ^o		
4882.889	3	-	MF	20473.98	b ³ F ₄ - z ⁷ F ₄ ^o		
4877.882	7	-	MIT	20494.99	a ⁵ P ₁ - z ⁷ F ₀ ^o		
4877.408	7	-	MIT	20496.98	a ⁵ D ₁ - z ⁵ D ₀ ^o		
4876.034	3	-	MF	20502.76	z ⁷ F ₂ ^o - 62		
4874.326	10	-	MIT	20509.94	a ³ F ₂ - z ⁵ F ₁ ^o		

λ	Arc	Spk	Auth.	σ	Comb.	Zeeman Effect	
						g_1	g_2
4869.153	125	-	MIT	20531.74	$a^5D_4 - z^5F_4^o$	1.446	1.364
4865.088	12	-	MIT	20548.89	$42 - x^3F_3^o$		
4863.111	10	-	MIT	20557.24	$a^3P_1 - z^7P_2^o$		
4862.349	2	-	MF	20560.47	$a^1H_5 - z^1H_5^o$		
4861.867	15	-	MIT	20562.51	$a^3P_2 - z^5S_2^o$		
4860.162	4	-	MIT	20569.72	$a^3D_3 - x^5D_3^o$		
4859.262	3	-	MF	20573.53	$a^1D_2 - y^3D_1^o$		
4854.564	10	-	MIT	20593.44	$z^5D_4^o - 51$		
4848.16	6	-	MIT	20620.65	$a^5D_1 - z^5F_1^o$		
4847.858	5	-	MIT	20621.93	$a^1D_2 - x^5D_2^o$		
4845.91	4	-	MIT	20630.21	$a^3G_4 - y^5D_4^o$		
4844.993	2	-	MF	20634.12	$a^3D_1 - z^3P_0^o$		
4844.557	20	-	MIT	20635.98	$a^5D_2 - z^5F_1^o$	1.232	0.567
4843.746	5	-	MIT	20639.43	$z^5D_1^o - 60$		
4839.767	12	-	MIT	20656.42	$a^5P_3 - z^5F_2^o$		
4838.162	5	-	MIT	20663.25	$z^5F_3^o - 57$		
4831.632	3	-	MF	20691.18	$b^3F_3 - z^5G_4^o$		
4822.568	10	-	MIT	20730.06	$b^3F_3 - z^7P_3^o$		
4817.341	10	-	MIT	20752.56	$a^3D_2 - x^5F_3^o$		
4815.523	20	-	MIT	20760.37	$b^3F_2 - z^3D_2^o$	0.765	1.032
					or $a^3D_1 - z^3P_0^o$		
4814.719	4	-	MIT	20763.86	$z^5D_1^o - 61$		
4813.226	6	-	MIT	20770.30	$b^3F_4 - z^3G_4^o$		
4812.203	5	-	MIT	20774.72	$a^3D_3 - y^3D_2^o$		
					or $a^1P_1 - x^3D_0^o$		
4804.884	20	-	MIT	20806.36	$a^3F_3 - z^5F_3^o$		
4801.176	10	-	MIT	20822.43	$42 - w^3D_2^o$		
4798.443	25	-	MIT	20834.29	$a^5D_2 - z^7F_3^o$		
4795.568	20	-	MIT	20846.78	$a^5P_2 - z^5F_3^o$		
4794.384	25	-	MIT	20851.93	$a^5D_3 - z^5F_2^o$		
4793.753	2	-	MF	20854.67	$z^5F_5^o - 55$		
4790.828	3	-	MF	20867.40	$z^5F_3^o - 60$		
4784.269	25	-	MIT	20896.01	$b^3F_2 - z^7P_2^o$		
4783.287	10	-	MIT	20900.30	$b^3P_1 - z^5P_0^o$		
4781.760	12	-	MIT	20906.98	$a^3D_1 - y^3D_1^o$		

<u>λ</u>	Arc	Spk	Auth.	σ	Comb.	Zeeman Effect	
						g_1	g_2
4781.110	7	-	MIT	20909.82	a ³ D ₂ - z ⁵ F ₂		
4776.882	2	-	MF	20928.32	a ³ D ₃ - z ³ P ₂		
4773.997	15	-	MIT	20940.97	a ¹ P ₁ - w ³ F ₂	(0.927)	0.900
4773.151	15	-	MIT	20944.68	b ³ F ₂ - z ³ F ₃		
4770.727	2	-	MF	20955.32	a ³ D ₁ - x ⁵ D ₂		
4769.515	3	-	MF	20960.65	a ⁵ D ₂ - z ⁷ F ₂		
4769.303	20	-	MIT	20961.58	a ³ F ₄ - z ⁵ D ₃		
4757.841	125	-	MIT	21012.08	a ⁵ D ₄ - z ³ G ₅	1.445	1.230
4756.233	40	-	MIT	21019.18	a ⁵ D ₃ - z ⁷ F ₄		
4754.296	2	-	MF	21027.75	a ⁵ D ₂ - z ⁷ F ₁		
4749.809	3	-	MF	21047.61	z ⁵ D ₂ - 56		
4745.859	3	-	MF	21065.13	b ³ P ₁ - z ⁵ P ₀		
4743.994	4	-	MIT	21073.41	42 - x ³ D ₂		
4743.680	3	-	MF	21074.81	a ⁵ P ₂ - z ⁵ D ₁		
4740.331	7	-	MIT	21089.69	a ³ D ₁ - x ⁵ D ₀		
4739.388	2	-	MF	21093.89	z ⁵ F ₂ - 62		
4736.592	3	-	MF	21106.34	a ¹ G ₄ - z ⁵ F ₃		
4733.521	40	-	MIT	21120.03	a ⁵ P ₃ - z ³ G ₄		
4733.307	6	-	MF	21120.99	a ⁵ P ₃ - z ⁷ F ₃		
4731.334	60	-	MIT	21129.80	b ³ F ₄ - z ⁷ P ₄		
4727.590	6	-	MIT	21146.53	a ³ H ₄ - y ³ F ₄		
4725.801	3	-	MF	21154.53	a ¹ D ₂ - x ⁵ D ₁		
4724.795	10	-	MIT	21159.02	b ³ F ₄ - z ⁵ G ₅		
4720.925	15	-	MIT	21176.38	a ³ D ₃ - y ³ D ₃		
4716.045	10	-	MIT	21198.30	b ³ F ₃ - z ³ G ₃		
4715.612	4	-	MIT	21200.24	a ³ H ₄ - z ³ H ₅		
4709.484	80	-	MIT	21227.83	b ³ F ₄ - z ³ F ₄	1.259	1.274
4709.152	3	-	MF	21229.32	a ³ P ₂ - z ³ G ₃		
4707.641	3	-	MF	21236.14	b ³ P ₂ - z ⁵ P ₂		
4705.159	5	-	MIT	21247.34	a ⁵ P ₃ - z ⁷ F ₂		
4695.242	10	-	MIT	21292.22	z ⁵ D ₂ - 60		
4690.106	25	-	MIT	21315.53	a ⁵ D ₃ - z ³ G ₄		
4689.889	5	-	MIT	21316.52	a ⁵ D ₃ - z ⁷ F ₃		
4685.055	3	-	MF	21338.51	a ⁵ P ₁ - z ⁵ G ₂		
4684.018	100	-	MIT	21343.24	a ³ F ₃ - z ⁵ F ₂		

<u>λ</u>	<u>Arc</u>	<u>Spk</u>	<u>Auth.</u>	<u>σ</u>	<u>Comb.</u>	<u>Zeeman Effect</u>
						<u>g_1</u> <u>g_2</u>
4681.786	100	-	MIT	21353.41	a ³ F ₂ - z ⁵ G ₃ ^o	1.092 0.947
4680.738	tr	-	MF	21358.19	z ⁵ D ₄ ^o - 55	
4674.654	20	-	MIT	21385.99	a ³ P ₁ - z ³ F ₂ ^o	
4671.370	5	-	MIT	21401.03	b ³ P ₂ - z ⁵ P ₁ ^o	
4670.987	2	-	MF	21402.78	z ⁵ D ₁ ^o - 62	
4669.977	40	-	MIT	21407.41	a ⁵ D ₄ - z ⁵ F ₃ ^o	
4669.138	15	-	MIT	21411.25	b ³ P ₀ - z ⁵ F ₁ ^o	
4668.007	tr	-	MF	21416.44	b ³ F ₄ - z ⁵ G ₃ ^o	
4662.493	7	-	MIT	21441.77	z ⁷ D ₄ ^o - 51	
4662.241	5	-	MIT	21442.93	a ⁵ D ₃ - z ⁷ F ₂ ^o	
4656.420	12	-	MIT	21469.73	a ³ F ₄ - z ⁵ F ₄ ^o	
4654.795	7	-	MIT	21477.23	a ³ D ₃ - x ⁵ D ₂ ^o	
4654.315	125	-	MIT	21479.45	a ⁵ D ₂ - z ⁵ G ₃ ^o	1.237 0.945
				or	a ⁵ P ₃ - z ⁷ P ₄ ^o	
4653.744	10	-	MIT	21482.08	42 - z ¹ P ₁ ^o	
4652.501	5	-	MIT	21487.82	a ³ D ₁ - x ⁵ D ₀ ^o	
4647.606	125	-	MIT	21510.45	a ³ F ₃ - z ⁷ F ₄ ^o	1.198 1.366
4646.802	6	-	MIT	21514.17	a ¹ P ₁ - w ³ D ₂ ^o	
4645.089	100	30	MIT	21522.10	a ¹ H ₅ - z ³ I ₆ ^o	1.005 (1.013)n
4640.985	10	-	MIT	21541.14	a ¹ D ₂ - z ³ S ₁ ^o	
4638.428	10	-	MIT	21553.01	b ³ F ₃ - z ³ D ₂ ^o	
4635.690	125	-	MIT	21565.74	a ⁵ P ₁ - z ⁵ S ₂ ^o	
4633.483	5	-	MIT	21576.01	z ⁵ F ₄ ^o - 59	
4633.171	5	-	MIT	21577.41	a ⁵ P ₃ - z ³ F ₄ ^o	
4631.738	3	-	MIT	21584.14	a ³ P ₂ - z ³ D ₂ ^o	
4628.333	10	-	MIT	21600.02	742 - x ³ F ₂ ^o	
4623.992	2	-	MIT	21620.30	z ⁷ D ₃ ^o - 52	
4617.665	12	-	MIT	21649.92	a ⁵ P ₂ - z ⁵ F ₁ ^o	
4612.325	15	-	MIT	21674.99	a ⁵ D ₃ - z ⁷ P ₄ ^o	
4610.502	7	-	MIT	21683.56	a ¹ H ₅ - x ³ G ₅ ^o	
4608.675	6	-	MIT	21692.15	z ⁷ D ₅ ^o - 51	
4605.665	15	-	MIT	21706.33	a ³ D ₂ - x ⁵ D ₃ ^o	1.162 1.425
4602.808	15	-	MIT	21719.80	a ³ P ₂ - z ⁷ P ₂ ^o	
4601.763	20	-	MIT	21724.73	b ³ F ₂ - z ³ F ₂ ^o	0.766 1.019
4599.085	100	-	MIT	21737.38	b ³ F ₃ - z ³ F ₃ ^o	1.087 1.129

λ	Arc	Spk	Auth.	σ	Comb.	Zeeman Effect	
						g_1	g_2
4593.213	7	-	MIT	21765.17	a ¹ P ₁ - x ³ D ₂ ^o		
4593.025	6	-	MIT	21766.07	a ⁵ P ₃ - z ⁵ G ₃ ^o		
4592.520	100	-	MIT	21768.46	a ³ F ₂ - z ³ F ₃ ^o	1.535	1.129
4591.560	20	-	MIT	21773.01	a ⁵ D ₃ - z ³ F ₄ ^o		
4591.103	60	-	MIT	21775.19	a ³ F ₂ - z ⁵ G ₂ ^o	1.087	0.377
4587.099	10	-	MIT	21794.18	a ³ P ₁ - z ³ D ₁ ^o		
4584.445	150R	80	MIT	21806.80	a ³ F ₃ - z ³ G ₄ ^o		
4580.072	25	-	MIT	21827.62	a ³ P ₀ - z ³ D ₁ ^o	0/0	0.520n
4577.000	3	-	MF	21842.27	a ¹ G ₄ - x ⁵ D ₄ ^o		
4575.751	7	-	MIT	21848.23	a ⁵ P ₂ - z ⁷ F ₃ ^o		
4570.248	10	-	MIT	21874.54	a ³ D ₁ - z ³ S ₁ ^o		
4567.906	7	-	MIT	21885.75	a ⁵ D ₁ - z ⁵ G ₂ ^o		
4564.691	20	-	MIT	21901.17	a ⁵ D ₂ - z ⁵ G ₂ ^o		
4562.597	15	-	MIT	21911.22	a ³ D ₂ - y ³ D ₂ ^o		
4559.982	20	-	MIT	21923.79	b ³ F ₄ - z ³ D ₃ ^o	1.246	1.196
4557.814	5	-	MIT	21934.21	a ³ F ₃ - z ⁷ F ₂ ^o		
4556.065	3	-	MF	21942.63	a ³ P ₁ - y ⁵ D ₂ ^o		
4554.509	1000R	200	MIT	21950.13	a ³ F ₄ - z ³ G ₅ ^o		
4552.325	3	-	MF	21960.66	42 - w ³ D ₁ ^o		
4552.110	7	-	MIT	21961.70	a ⁵ D ₃ - z ⁵ G ₃ ^o	1.419	0.938
4551.913	2	-	MF	21962.65	a ¹ D ₂ - y ³ P ₂ ^o		
4549.427	10	-	MIT	21974.65	a ⁵ P ₂ - z ⁷ F ₂ ^o		
4547.853	20	-	MIT	21982.25	b ³ P ₁ - y ⁵ F ₂ ^o	1.440	1.065
4547.638	3	-	MF	21983.30	b ³ F ₂ - y ⁵ D ₃ ^o		
4547.33	25	-	MIT	21984.79	a ⁵ D ₄ - z ⁷ F ₅ ^o		
4546.930	15	-	MIT	21986.72	a ⁵ D ₂ - z ³ D ₃ ^o		
4543.687	15	-	MIT	22002.41	a ³ F ₂ - z ⁵ S ₂ ^o		
4535.587	12	-	MIT	22041.70	a ⁵ P ₂ - z ⁷ F ₁ ^o		
4534.490	6	-	MIT	22047.04	z ⁵ D ₃ ^o - 57		
4533.292	3	-	MF	22052.86	a ³ D ₃ - y ³ F ₄ ^o		
4532.446	7	-	MIT	22056.98	a ³ H ₅ - z ³ H ₅ ^o		
4531.801	5	-	MIT	22060.12	a ¹ G ₄ - x ⁵ D ₃ ^o		
4530.854	60	-	MIT	22064.73	42 - y ¹ F ₃ ^o	1.343	1.000
					or a ³ D ₂ - z ³ P ₂ ^o		
4526.843	2	-	MF	22084.28	z ⁵ D ₃ ^o - 58		

<u>λ</u>	Arc	Spk	Auth.	<u>σ</u>	Comb.	Zeeman Effect	
						<u>g_1</u>	<u>g_2</u>
4521.262	3	-	MF	22111.54	a ⁵ D ₄ - z ⁷ F ₄ ^o		
4520.950	25	-	MIT	22113.06	a ⁵ D ₁ - z ⁵ S ₂ ^o	1.795	2.033
4517.818	60	-	MIT	22128.39	a ⁵ D ₂ - z ⁵ S ₂ ^o	1.232	2.032
4516.893	100	-	MIT	22132.93	b ³ F ₂ - z ³ D ₁ ^o	0.763	0.521
4511.197	25	-	MIT	22160.87	b ³ P ₂ - z ⁵ F ₃ ^o		
4510.097	25	-	MIT	22166.28	a ³ F ₃ - z ⁷ P ₄ ^o	1.189	1.651
4508.561	15	-	MIT	22173.83	a ¹ P ₁ - z ¹ P ₁ ^o	0.93	0.93 n
4508.039	12	-	MIT	22176.39	a ³ H ₄ - z ³ H ₄ ^o		
4505.691	4	-	MF	22187.95	a ⁵ P ₃ - z ⁵ G ₂ ^o		
4503.040	3	-	MF	22201.01	a ³ F ₂ - z ⁷ P ₃ ^o		
4498.145	125	-	MIT	22225.17	b ³ F ₄ - z ⁵ G ₄ ^o	1.256	1.114
4492.892	7	-	MIT	22251.16	z ⁵ D ₃ ^o - 60		
4491.682	20	-	MIT	22257.15	b ³ P ₁ - z ⁵ F ₁ ^o		
4490.235	25	-	MIT	22264.32	a ³ F ₃ - z ³ F ₄ ^o		
4488.392	25	-	MIT	22273.47	a ⁵ P ₃ - z ³ D ₃ ^o		
4486.812	6	-	MIT	22281.31	b ³ F ₂ - y ⁵ D ₂ ^o		
4484.695	5	-	MF	22291.84	a ¹ P ₁ - x ³ F ₂ ^o		
4482.034	12	-	MIT	22305.06	a ³ P ₁ - y ⁵ D ₁ ^o		
4480.448	60	-	MIT	22312.96	a ³ D ₂ - y ³ D ₃ ^o	1.162	1.384
4479.410	15	-	MIT	22318.13	b ³ P ₂ - z ⁵ F ₂ ^o		
4477.626	2	-	MF	22327.02	a ⁵ D ₂ - z ⁷ P ₃ ^o		
4475.660	5	-	MF	22336.83	a ³ H ₄ - y ³ F ₃ ^o		
4475.330	10	-	MIT	22338.47	a ³ P ₀ - y ⁵ D ₁ ^o		
4473.928	100	-	MIT	22345.47	a ³ F ₄ - z ⁵ F ₃ ^o		
4472.271	7	-	MF	22353.75	a ³ H ₄ - y ³ G ₅ ^o		
4467.260	20	-	MIT	22378.83	a ¹ P ₁ - z ¹ S ₀ ^o	0.926	0/0 n
4466.343	15	-	MIT	22383.43	a ⁵ D ₃ - z ⁵ G ₂ ^o		
4465.482	15	-	MIT	22387.73	a ¹ D ₂ - y ³ F ₃ ^o		
4461.474	10	-	MF	22407.85	a ⁵ D ₄ - z ³ G ₄ ^o		
4460.035	150	80	MIT	22415.08	a ⁵ P ₃ - z ⁵ S ₂ ^o	1.627	2.035
4452.516	5	-	MF	22452.93	a ³ F ₃ - z ⁵ G ₃ ^o		
4449.336	125	100	MIT	22468.98	a ⁵ D ₃ - z ³ D ₃ ^o	1.419	1.203
4444.507	40	-	MIT	22493.38	a ⁵ P ₂ - z ⁵ G ₃ ^o	1.569	0.942
4440.082	10	-	MF	22515.81	a ³ D ₃ - y ⁵ P ₃ ^o		
4439.761	125	50	MIT	22517.44	b ³ F ₃ - z ³ F ₂ ^o	(1.086)	1.024

<u>λ</u>	<u>Arc</u>	<u>Spk</u>	<u>Auth.</u>	<u>σ</u>	<u>Comb.</u>	<u>Zeeman</u>	<u>Effect</u>
						<u>g_1</u>	<u>g_2</u>
4433.646	10	-	MF	22548.49	a ³ P ₂ - z ³ F ₂ ^o		
4430.311	20	-	MIT	22565.46	a ³ D ₂ - y ³ D ₁ ^o		
				or	a ³ G ₅ - *F ₅ ^o		
4428.461	125	-	MIT	22574.89	a ⁵ P ₃ - z ⁵ G ₄ ^o	1.623	1.114
4426.013	10	-	MIT	22587.38	a ⁵ P ₁ - z ³ D ₂ ^o		
4424.781	25	-	MIT	22593.66	a ³ P ₁ - y ⁵ D ₀ ^o	1.680	0/0 n
4421.456	60	-	MIT	22610.66	a ⁵ D ₃ - z ⁵ S ₂ ^o	1.420	2.035
4420.841	40	-	MIT	22613.80	a ³ D ₂ - x ⁵ D ₂ ^o		
				or	a ⁵ P ₃ - z ⁷ P ₃ ^o		
4418.624	5	-	MF	22625.15	b ³ F ₂ - z ⁵ P ₃ ^o		
4414.993	10	-	MF	22643.75	b ³ F ₂ - y ⁵ D ₁ ^o		
4413.291	12	-	MIT	22652.49	a ¹ P ₁ - w ³ D ₁ ^o		
4412.331	6	-	MF	22657.42	a ³ H ₅ - z ³ H ₆ ^o		
4410.527	3	-	MF	22666.68	a ¹ G ₄ - y ³ D ₃ ^o		
4410.026	150	80	MIT	22669.26	a ³ F ₂ - z ³ G ₃ ^o	1.087	0.869
4404.818	25	-	MF	22696.06	a ¹ D ₂ - y ³ P ₂ ^o	1.174	1.294
4399.587	20	-	MIT	22723.04	a ⁵ P ₁ - z ⁷ P ₂ ^o		
4398.719	6	-	MF	22727.53	a ¹ D ₂ - y ⁵ P ₁ ^o		
4397.797	150	-	MIT	22732.29	b ³ F ₄ - z ³ G ₃ ^o	1.257	0.870
4396.686	7	-	MIT	22738.04	z ⁵ F ₅ ^o - 58		
4394.959	15	-	MIT	22746.97	a ³ H ₆ - z ³ H ₅ ^o	(1.164)	1.047p
4391.027	20	-	MIT	22767.34	a ⁵ D ₄ - z ⁷ P ₄ ^o		
4390.435	150R	80	MIT	22770.41	a ⁵ D ₃ - z ⁵ G ₄ ^o	1.417	1.114
4389.345	4	-	MF	22776.07	b ³ F ₃ - y ⁵ D ₃ ^o		
4386.272	20	-	MIT	22792.01	b ³ P ₀ - y ³ D ₁ ^o		
4385.648	125	50	MIT	22795.27	a ⁵ D ₂ - z ³ G ₃ ^o	1.226	0.865
4385.391	125	40	MIT	22796.60	a ⁵ D ₄ - z ⁵ G ₅ ^o	1.447	1.265
4383.360	12	-	MIT	22807.16	a ³ P ₂ - y ⁵ D ₃ ^o		
4382.945	4	-	MF	22809.32	a ⁵ D ₃ - z ⁷ P ₃ ^o		
4381.266	15	-	MIT	22818.06	a ³ D ₃ - y ⁵ P ₂ ^o		
4376.343	4	-	MF	22843.73	a ³ G ₃ - x ⁵ D ₄ ^o		
4375.799	2	-	MF	22846.57	a ³ D ₃ - x ³ F ₄ ^o		
4372.208	125	100	MIT	22865.34	a ⁵ D ₄ - z ⁵ F ₄ ^o	1.446	1.276
				or	a ¹ P ₁ - y ³ S ₁ ^o		
4371.201	15	5	MIT	22870.60	a ¹ D ₂ - y ³ P ₁ ^o		
4370.415	15	-	MIT	22874.71	a ³ F ₃ - z ⁵ G ₂ ^o		

<u>λ</u>	<u>Arc</u>	<u>Spk</u>	<u>Auth.</u>	<u>σ</u>	<u>Comb.</u>	<u>Zeeman Effect</u>
						<u>g_1</u> <u>g_2</u>
4364.104	6	-	MIT	22907.79	42 - v ³ D ₁ ^o	(1.343) 0.796p
4362.702	6	-	MIT	22915.16	a ⁵ P ₂ - z ⁵ G ₂ ^o	
4361.211	40	50	MIT	22922.93	a ³ F ₄ - z ⁷ F ₅ ^o	1.281 1.474
4354.802	12	-	MIT	22956.73	a ³ P ₂ - z ³ D ₁ ^o	1.534 0.519
4354.131	25	20	MIT	22960.26	a ³ F ₃ - z ³ D ₃ ^o	1.20 1.20
4349.698	20	-	MIT	22983.66	b ³ P ₁ - y ³ D ₂ ^o	1.442 1.173
4348.517	2	-	MF	22989.90	a ³ G ₄ - y ⁵ F ₃ ^o	
4346.476	15	-	MIT	23000.70	a ⁵ P ₂ - z ³ D ₃ ^o	1.567 1.206
4342.068	60	40	MIT	23024.05	a ³ F ₂ - z ³ D ₂ ^o	1.089 1.035
4341.042	7	-	MIT	23029.49	a ³ D ₁ - y ³ P ₂ ^o	
4340.343	10	-	MIT	23033.20	a ³ H ₅ - z ³ H ₄ ^o	(1.041) 0.895p
4338.678	7	-	MIT	23042.04	42 - 204	(1.343) 0.938p
4337.266	15	-	MIT	23049.55	a ³ F ₄ - z ⁷ F ₄ ^o	1.283 1.366
4336.424	12	-	MIT	23054.02	a ⁵ D ₄ - z ⁵ G ₃ ^o	
4335.124	2	-	MF	23060.93	a ³ D ₁ - y ⁵ P ₁ ^o	
4332.678	3	-	MF	23073.95	b ³ F ₃ - y ⁵ D ₂ ^o	
4331.165	15	-	MIT	23082.01	a ⁵ P ₃ - z ³ G ₃ ^o	
4328.558	6	-	MIT	23095.95	a ³ P ₁ - z ⁵ P ₂ ^o	
4327.429	7	-	MIT	23101.94	a ³ F ₃ - z ⁵ S ₂ ^o	1.194 2.029
					or z ⁷ D ₁ ^o - 61	
4326.825	20	-	MIT	23105.16	a ³ P ₂ - y ⁵ D ₂ ^o	1.529 1.473
4325.052	25	10	MIT	23114.63	b ³ P ₂ - x ⁵ D ₃ ^o	1.320 1.428
					or a ⁵ D ₁ - z ⁵ D ₂ ^o	
4324.190	2	-	MF	23119.24	z ⁷ D ₂ ^o - 59	
4320.816	5	-	MIT	23137.29	b ³ P ₁ - z ³ P ₂ ^o	
4320.580	5	-	MIT	23138.50	a ³ H ₄ - y ³ G ₃ ^o	
4319.869	20	40	MIT	23142.37	a ⁵ P ₂ - z ⁵ S ₂ ^o	1.562 2.032
4319.125	6	-	MIT	23146.35	a ³ D ₂ - x ⁵ D ₁ ^o	
4318.433	15	-	MIT	23150.06	a ⁵ D ₂ - z ³ D ₂ ^o	1.231 1.029
4316.638	12	-	MIT	23159.68	a ³ F ₂ - z ⁷ P ₂ ^o	1.084 2.055
4312.905	3	-	MF	23179.73	a ³ H ₄ - z ¹ G ₄ ^o	
4312.477	6	-	MIT	23181.98	a ³ D ₁ - y ³ P ₀ ^o	0.71 0/0 n
4308.406	3	-	MF	23203.84	a ³ D ₁ - y ³ P ₁ ^o	
4307.595	20	50	MIT	23208.31	a ³ F ₂ - z ³ F ₃ ^o	
4301.147	5	-	MIT	23243.10	a ³ D ₃ - y ³ F ₃ ^o	

<u>λ</u>	<u>Arc</u>	<u>Spk</u>	<u>Auth.</u>	<u>σ</u>	<u>Comb.</u>	<u>Zeeman Effect</u>	<u>g_1</u>	<u>g_2</u>
4297.711	60	50	MIT	23261.71	$a^3F_3 - z^5G_4^o$	1.19	1.11	
4296.689	7	-	MIT	23267.21	$a^1P_1 - z^3D_2^o$			
4295.928	20	20	MIT	23271.33	$b^3F_4 - z^3F_3^o$	1.26	1.13	
4294.791	20	-	MIT	23277.49	$a^5D_3 - z^3G_3^o$	1.421	0.871	
4293.284	15	-	MIT	23285.66	$a^5D_2 - z^7P_2^o$	1.235	2.061	
4290.529	6	-	MIT	23300.62	$a^3F_3 - z^7P_3^o$			
4287.046	15	-	MIT	23319.55	$b^3P_2 - y^3D_2^o$	1.313	1.172	
4284.331	25	20	MIT	23334.32	$a^5D_2 - z^3F_3^o$	1.227	1.127	
4283.123	2	-	MF	23340.90	$a^5P_2 - z^7P_3^o$			
4282.208	3	-	MF	23345.89	$a^3F_4 - z^3G_4^o$			
4281.930	7	-	MIT	23347.41	$a^3H_6 - z^3H_6^o$	1.164	1.174 up	
4278.689	7	-	MIT	23365.09	$b^3P_1 - z^3P_1^o$			
4278.262	3	-	MF	23367.43	$a^42 - 208^o$			
4277.255	7	-	MIT	23372.92	$b^3P_0 - x^5D_1^o$	0/0	1.570 n	
					or $a^5F_3 - z^7D_4^o$			
4274.647	2	-	MF	23387.18	$a^1D_2 - y^3F_2^o$			
4269.053	2	-	MF	23417.83	$b^3F_3 - z^5P_3^o$			
4268.664	tr	-	MF	23419.97	$a^3G_3 - z^3P_0^o$			
4265.990	13	-	MF	23434.64	$b^3F_2 - z^5P_2^o$			
4265.607	12	-	MIT	23436.75	$a^5P_3 - z^3D_2^o$			
4263.396	10	-	MIT	23448.90	$a^3P_2 - z^5P_3^o$			
4260.004	12	-	MIT	23467.57	$a^3P_2 - y^5D_1^o$	1.54	1.54	
4258.987	15	-	MIT	23473.17	$b^3P_2 - z^3P_2^o$	1.316	1.470	
4258.200	2	-	MF	23477.52	$z^7D_3^o - 56$			
4255.708	6	-	MIT	23491.26	$b^3P_1 - z^3P_0^o$			
4252.725	2	-	MF	23507.74	$42 - A208$			
4250.615	10	-	MF	23519.41	$a^3H_4 - z^1H_5^o$			
					or $z^7D_3^o - 57$			
4250.362	tr	-	MF	23520.81	$z^7D_3^o - 58$			
4248.143	12	-	MIT	23533.10	$a^3D_2 - z^3S_1^o$	1.15	1.56	
4246.334	15	-	MIT	23543.12	$a^1G_4 - y^3F_4^o$	0.991	1.107	
4244.832	25	-	MIT	23551.45	$a^3D_3 - y^3P_2^o$			
4243.061	150	40	MIT	23561.28	$a^5D_4 - z^3D_3^o$	1.447	1.203	
4241.053	100	20	MIT	23572.44	$a^5P_3 - z^7P_2^o$	1.626	2.062	
4236.674	20	-	MIT	23596.80	$a^1G_4 - z^3H_5^o$			

<u>λ</u>	<u>Arc</u>	<u>Spk</u>	<u>Auth.</u>	<u>σ</u>	<u>Comb.</u>	<u>Zeeman</u>	<u>Effect</u>
						g_1	g_2
4236.199	3	-	MF	23599.44	$b^3F_2 - z^5P_1^o$		
4232.322	40	-	MIT	23621.07	$a^5P_3 - z^3F_3^o$	1.621	1.127
4230.312	60	-	MIT	23632.29	$a^5D_3 - z^3D_2^o$	1.422	1.034
4229.309	40	-	MIT	23637.89	$b^3P_1 - y^3D_1^o$	1.440	0.752
4225.092	25	-	MIT	23661.48	$a^1P_1 - z^1D_2^o$	0.95	1.03
4223.348	3	-	MF	23671.25	$a^3H_4 - x^3D_3^o$		
4222.690	3	-	MF	23674.94	$a^5F_1 - z^7D_1^o$		
4220.675	60	-	MIT	23686.24	$b^3P_1 - x^5D_2^o$	1.443	1.443n
4218.054	3	-	MF	23700.96	$b^3F_2 - z^3P_1^o$		
4217.268	100	-	MIT	23705.38	$a^3F_4 - z^7P_4^o$	1.285	1.658
4214.557	7	-	MIT	23720.63	$a^3D_1 - y^3F_2^o$		
4214.442	100	40	MIT	23721.27	$b^3P_2 - y^3D_3^o$		
4212.063	125	80	MIT	23734.67	$a^3F_4 - z^5G_5^o$		
4207.636	20	-	MIT	23759.65	$b^3P_0 - z^3S_1^o$	0/0	1.570n
4206.170	7	-	MF	23767.93	$a^5D_3 - z^7P_2^o$		
4206.016	100	40	MIT	23768.79	$a^3F_3 - z^3G_3^o$	1.196	0.870
4199.902	150	300	MIT	23803.40	$a^3F_4 - z^3F_4^o$		
4198.875	60	100	MIT	23809.22	$a^5P_2 - z^3G_3^o$	1.559	0.865
4197.579	100	100	MIT	23816.57	$a^5D_3 - z^3F_3^o$	1.417	1.128
4196.871	60	50	MIT	23820.58	$b^3P_1 - x^5D_0^o$	1.443	0/0 n
4192.628	2	-	MF	23844.94	$a^3H_4 - A181$		
4189.462	15	9	MIT	23862.71	$a^5D_4 - z^5G_4^o$		
4188.730	2	-	MF	23866.88	42 - A210		
4182.831	12	8	MIT	23900.54	$a^3H_6 - y^3G_5^o$		
4182.644	15	12	MIT	23901.61	$a^5D_4 - z^7P_3^o$	1.448	1.895
4182.457	20	30	MIT	23902.68	$a^1D_2 - z^1F_3^o$	(1.175)	1.137n
4175.433	7	10	MIT	23942.89	$a^{1He}_5 - y^5G_6^o$	(1.007)	1.219p
4175.301	5	-	MF	23943.64	$a^3G_4 - x^5D_3^o$		
4173.396	12	-	MF	23954.57	$a^3D_2 - y^5P_2^o$		
4172.457	3	-	MF	23959.96	$a^5P_1 - z^3D_1^o$		
4170.900	3	-	MF	23968.91	$a^3G_3 - x^5D_2^o$		
4170.592	10	-	MIT	23970.68	$a^1D_2 - x^3D_1^o$		
4170.051	20	25	MIT	23973.79	$b^3P_2 - y^3D_1^o$	1.316	0.756
4167.512	100	150	MIT	23988.39	$a^3F_2 - z^3F_2^o$	1.085	1.023

<u>λ</u>	<u>Arc</u>	<u>Spk</u>	<u>Auth.</u>	<u>σ</u>	<u>Comb.</u>	<u>Zeeman</u>	<u>Effect</u>
						<u>g_1</u>	<u>g_2</u>
4166.876	20	25	MIT	23992.06	a^3F_4 - $z^5G_3^o$	1.287	0.947
4166.773	tr	-	MF	23992.65	a^1P_1 - $x^3P_2^o$		
4161.656	25	50	MIT	24022.15	b^3P_2 - $x^5D_2^o$	1.317	1.442
4159.172	15	6	MIT	24036.49	a^3H_5 - $z^1G_4^o$	(1.041)	1.035n
4157.736	15	5	MIT	24044.79	a^3D_3 - $y^3G_3^o$		
4156.261	10	5wh	MIT	24053.33	a^1H_5 - $y^1H_5^o$	(1.007)	1.035p
4155.249	12	e	MF	24050.19	a^1P_1 - $x^3P_1^o$		
4153.879	10	-	MF	24067.12	a^5F_2 - $z^7D_1^o$		
4150.623	6	-	MF	24086.00	a^3D_3 - $z^1G_4^o$		
4150.299	20	9	MIT	24087.88	a^5D_0 - $z^3D_1^o$	0/0	0.518n
4148.375	60	15	MIT	24099.05	a^5D_1 - $z^3F_2^o$	1.808	1.031
4146.771	100	70	MIT	24108.37	a^5P_1 - $z^5D_2^o$	1.991	1.483
4145.738	125	150	MIT	24114.38	a^5D_2 - $z^3F_2^o$	1.233	1.024
4144.164	150	200	MIT	24123.54	a^3F_3 - $z^3D_2^o$	1.199	1.037
4141.874	3	-	MF	24136.88	a^1D_2 - $w^3F_2^o$		
4137.234	25	15	MIT	24163.94	a^5P_2 - $z^3D_2^o$	1.559	1.032
4134.85	12	5	MIT	24177.88	a^3P_1 - $y^5F_2^o$	(1.684)	1.066p
4131.225	10	-	MIT	24199.09	a^3H_5 - $y^3G_4^o$		
4128.682	4	-	MF	24214.00	a^1D_2 - $w^3F_3^o$		
4127.868	25	35	MIT	24218.77	b^3P_1 - $x^5D_1^o$	1.445	1.570
4127.440	20	30	MIT	24221.28	a^5F_3 - $z^5D_4^o$	1.24	1.48
4127.412	12	1	MIT	24227.32	b^3F_3 - $z^5P_2^o$		
4123.813	20	10	MIT	24242.43	a^3D_3 - $y^3F_2^o$	1.320	0.878
4123.064	25	35	MIT	24246.99	a^3F_2 - $y^5D_3^o$	1.086	1.494
4122.787	6	-	MIT	24248.62	a^3D_3 - $y^3G_4^o$		
4121.691	2	-	MF	24255.07	a^1D_2 - 186		
4121.119	15	-	MF	24258.43	a^3P_2 - $z^5P_2^o$		
4120.987	25	30	MIT	24259.22	a^3F_3 - $z^7P_2^o$	1.192	2.054
4118.498	40	-	MIT	24273.87	a^5F_4 - $z^7D_4^o$		
4114.134	20	5	MIT	24299.62	a^5P_2 - $z^7P_2^o$		
4113.383	40	50	MIT	24304.06	a^3D_1 - $x^3D_1^o$	0.676	0.893
4112.741	125	200	MIT	24307.80	a^3F_3 - $z^3F_3^o$	1.199	1.135
4109.646	20	6	MIT	24326.16	b^3F_4 - $y^5D_4^o$		
4108.060	10	7	MIT	24335.55	a^3G_5 - $x^5D_4^o$	(1.190)	1.487p
4107.837	25	20	MIT	24336.97	a^1G_4 - $x^3F_4^o$	0.996	1.118

<u>λ</u>	<u>Arc</u>	<u>Spk</u>	<u>Auth.</u>	<u>σ</u>	<u>Comb.</u>	<u>Zeeman</u>	<u>Effect</u>
						<u>g_1</u>	<u>g_2</u>
4105.912	12	2	MIT	24348.28	a ⁵ P ₂ - z ³ F ₃		
4102.285	15	10	MIT	24369.79	a ⁵ D ₄ - z ³ G ₃		
4101.745	20	60	MIT	24373.02	a ⁵ D ₂ - y ⁵ D ₃	1.233	1.497
4101.232	7	2h	MIT	24376.06	a ³ H ₅ - z ¹ H ₅		
4100.643	4	-	MF	24379.56	a ³ D ₂ - y ³ F ₃		
4100.373	12	10	MIT	24381.16	a ⁵ F ₃ - z ⁷ D ₂		
4097.791	25	125	MIT	24396.53	a ³ F ₂ - z ³ D ₁	1.092	0.527
4097.026	15	15	MIT	24401.09	a ⁵ P ₃ - z ³ F ₂	1.63	1.03
4091.062	20	20	MIT	24436.66	a ¹ D ₂ - x ³ F ₃	1.179	1.281
4088.360	10	1	MIT	24452.81	a ³ P ₁ - y ⁵ F ₁		
4085.429	40	50	MIT	24470.35	a ³ D ₁ - w ³ F ₂	0.678	0.890
				and	a ⁵ P ₁ - y ⁵ D ₁	1.983	1.524
4082.794	15	10	MIT	24486.14	a ³ P ₀ - y ⁵ F ₁	0/0	0.148n
4080.600	125	300	MIT	24499.31	a ³ F ₄ - z ³ D ₃	1.291	1.217
4079.277	12	5	MIT	24507.25	a ⁵ D ₁ - z ³ D ₃	1.78	0.51
4077.738	4	50	MF	24516.50	b ³ F ₂ - y ⁵ F ₂		
				or	z ⁷ D ₃ - 62		
4076.733	60	25	MIT	24522.55	a ⁵ D ₂ - z ³ D ₁	1.235	0.523
4073.116	6	25	MIT	24544.32	a ³ G ₃ - y ³ F ₄		
4073.00	2	-	S	24545.00	a ³ F ₂ - y ⁵ D ₂	1.089	1.478
4071.873	10	5	MIT	24551.81	a ¹ H ₅ - x ⁵ F ₄		
4071.398	12	20	MIT	24554.68	b ³ P ₂ - x ⁵ D ₁	1.314	1.570
4068.366	40	60	MIT	24572.98	a ¹ G ₄ - z ³ H ₄	0.991	0.892
4067.613	25	35	MIT	24577.53	a ³ D ₃ - x ³ D ₃	1.333	1.163
4064.456	20	60	MIT	24596.61	a ⁵ D ₃ - z ³ F ₂	1.422	1.027
4064.105	15	25	MIT	24598.80	a ⁵ D ₀ - y ⁵ D ₁	0/0	1.527n
4062.988	12	35	MIT	24605.50	b ³ P ₁ - z ³ S ₁	1.445	1.570
4062.853	10	10	MIT	24606.32	a ¹ H ₅ - w ³ G ₄	(1.007)	0.926p
4054.732	5	-	MIT	24655.60	a ⁵ D ₁ - y ⁵ D ₂		
4054.051	40	100	MIT	24659.74	a ⁵ P ₃ - y ⁵ D ₃	1.625	1.497
4052.195	25	50	MIT	24671.05	a ⁵ D ₂ - y ⁵ D ₂	1.227	1.470
4051.400	125	200	MIT	24675.88	a ⁵ P ₃ - y ⁵ D ₄	1.61	1.48
4049.413	15	12	MIT	24687.99	a ³ D ₂ - y ³ P ₂	1.167	1.299
4045.762	25	35	MIT	24710.27	a ¹ D ₂ - w ³ D ₂	1.178	1.178n
4041.998	12	1	MIT	24733.28	a ¹ G ₄ - y ³ F ₃		

<u>λ</u>	<u>Arc</u>	<u>Spk</u>	<u>Auth.</u>	<u>σ</u>	<u>Comb.</u>	<u>Zeeman Effect</u>
						<u>g_1</u> <u>g_2</u>
4041.998	12	1	MIT	24733.28	$a^1G_4 - y^3F_3^o$	
4039.210	25	50	MIT	24750.35	$a^1G_4 - y^3G_5^o$	0.996 1.141
4037.737	12	5	MIT	24759.38	$a^5P_1 - y^5D_0^o$	1.982 0/0 n
4036.492	10	3	MIT	24767.01	$a^1H_5 - 211$	
4033.713	4	-	MF	24784.08	$a^3H_4 - x^3D_3^o$	
4032.521	10	5	MIT	24791.40	$b^3F_2 - \chi^5F_1^o$	
4032.205	20	20	MIT	24793.34	$a^5F_2 - z^5D_3^o$	0.999 1.425
4030.997	15	12	MIT	24800.78	$a^3F_4 - z^5G_4^o$	
4028.435	10	2	MIT	24816.98	$b^3F_3 - \chi^5F_4^o$	(1.086) 1.358p
4025.468	6	-	MF	24834.84	$a^1D_2 - w^3D_3^o$	
4024.695	12	5	MIT	24839.61	$a^3F_4 - z^7P_3^o$	
4023.833	25	60	MIT	24844.93	$a^5F_4 - z^7D_3^o$	1.347 1.737
				or	$x^5D_3^o - 63$	
4022.161	40	100	MIT	24855.25	$a^5D_3 - y^5D_3^o$	1.421 1.488
4020.995	15	12	MIT	24862.46	$a^3D_2 - y^3P_1^o$	1.160 1.609
4019.553	12	8	MIT	24871.38	$a^5D_3 - y^5D_4^o$	
4016.753	7	-	MIT	24888.72	$a^3F_2 - z^5P_3^o$	
4013.738	10	5	MIT	24907.42	$a^3F_2 - y^5D_1^o$	
4013.505	15	12	MIT	24908.86	$a^5D_4 - z^3F_3^o$	1.458 1.141
4008.269	20	20	MIT	24941.41	$b^3P_2 - z^3S_1^o$	1.308 1.566
4007.535	20	10	MIT	24945.97	$b^3P_0 - y^5P_1^o$	0/0 2.312
4006.598	25	15	MIT	24951.80	$b^3F_4 - z^5P_3^o$	
4005.640	25	30	MIT	24957.77	$a^5P_3 - y^5D_2^o$	1.626 1.481
4005.086	6	-	MF	24961.22	$a^1D_2 - x^3D_2^o$	(1.175) 1.004p
4000.534	6	-	MF	24989.62	$42 - u^3D_2^o$	
4000.131	5	-	MF	24992.14	$a^3D_3 - w^3F_2^o$	
3996.509	10	4	MIT	25014.80	$a^5D_2 - z^5P_3^o$	1.24 1.65
3995.977	30	30	MIT	25018.12	$a^5D_1 - y^5D_1^o$	1.793 1.523
3994.560	5	-	MIT	25027.00	$b^3P_1 - y^5P_2^o$	
3993.531	10	5	MIT	25033.84	$a^5D_2 - y^5D_1^o$	1.230 1.519
3987.795	3	50	S	25069.39	$a^3D_3 - w^3F_3^o$	1.330 1.238
3984.858	60	70	MIT	25087.93	$a^3F_3 - z^3F_2^o$	1.198 1.025
3984.682	4	2	MIT	25089.04	$b^3P_0 - y^3P_1^o$	
3979.424	60	60	MIT	25122.18	$a^5F_4 - z^5D_4^o$	1.347 1.485
3978.445	60	70	MIT	25128.37	$a^5P_2 - z^3F_2^o$	1.569 1.028

<u>λ</u>	<u>Arc</u>	<u>Spk</u>	<u>Auth.</u>	<u>σ</u>	<u>Comb.</u>	<u>Zeeman Effect</u>
						<u>g_1</u> <u>g_2</u>
3974.501	20	8	MIT	25153.30	$a^5D_3 - y^5D_2^o$	(1.420) 1.470
3970.385	3	-	MIT	25179.38	$a^3P_1 - y^3D_2^o$	
3970.080	2	-	MF	25181.31	$a^3D_2 - y^3G_3^o$	
3969.794	8	4	MIT	25183.12	$a^3P_2 - y^5F_3^o$	1.52 1.26
3964.896	50	40	MIT	25214.23	$a^5F_5 - z^7D_5^o$	1.397 1.594
3958.084	2	-	MF	25257.63	42 - w $^5D_1^o$	
3957.449	8	5	MIT	25261.68	$a^5P_1 - z^5P_2^o$	1.985 1.808
3952.678	20	30	MIT	25292.17	$a^3D_3 - x^3F_3^o$	1.33 1.28
3952.290	4	1	MIT	25294.65	$a^3D_1 - x^3D_2^o$	(0.676) 1.006
3951.207	10	6	MIT	25301.59	$a^5P_3 - z^5P_3^o$	1.62 1.64 up
3950.412	10	10	MIT	25306.68	$a^5D_1 - y^5D_0^o$	1.796 0/0 n
3950.214	12	15	MIT	25307.95	$a^3F_4 - z^3G_3^o$	1.280 0.866
3950.004	10	8	MIT	25309.29	$a^1H_5 - A214$	(1.007) 0.962n
3949.417	10	5	MIT	25313.06	$b^3F_2 - x^5D_3^o$	0.74 1.41
3946.314	8	3	MIT	25332.96	$a^3P_1 - z^3P_2^o$	1.691 1.475
3945.572	50	100	MIT	25337.72	$a^3G_3 - x^3F_4^o$	0.753 1.112
					or $a^3H_5 - z^3I_6^o$	
3944.190	10	4	MIT	25346.60	$a^3F_3 - y^5D_3^o$	
3942.063	12	9	MIT	25360.27	$a^5F_1 - z^5D_2^o$	0.004 1.324
3941.654	12	8	MIT	25362.91	$b^3P_2 - y^5P_2^o$	(1.315) 1.711p
3940.563	4	-	MIT	25369.93	$a^1D_2 - z^1P_1^o$	
3939.100	5	-	MIT	25379.35	$a^3D_2 - y^3F_2^o$	
3937.903	20	15	MIT	25387.07	$a^5P_2 - y^5D_3^o$	1.53 1.48
3933.546	20	-	MF	25415.18	$a^5F_3 - z^5D_3^o$	1.247 1.427
3931.759	50	70	MIT	25426.74	$a^3G_4 - y^5F_4^o$	1.032 1.105
					and $a^5P_1 - z^5P_1^o$	1.981 2.384
3925.925	60	100	MIT	25464.52	$a^5F_5 - z^7D_4^o$	1.397 1.625
3924.633	6	5	MIT	25472.90	$a^1H_5 - 216$	
3923.467	60	100	MIT	25480.47	$a^3G_4 - z^3H_5^o$	(1.033) 1.047
3922.335	4	-	MIT	25487.83	$a^1D_2 - x^3F_2^o$	
3920.915	20	20	MIT	25497.06	$a^5D_3 - z^5P_3^o$	1.423 1.650
3920.567	4	-	MIT	25499.31	$a^3H_5 - x^3G_5^o$	
3917.710	3	-	MIT	25517.92	$b^3F_2 - y^3D_2^o$	
3914.853	20	15	MIT	25536.54	$a^5P_2 - z^3D_1^o$	1.563 0.518

<u>λ</u>	<u>Arc</u>	<u>Spk</u>	<u>Auth.</u>	<u>σ</u>	<u>Comb.</u>	<u>Zeeman</u>	<u>Effect</u>
						g_1	g_2
3913.013	3	-	MIT	25548.58	$a^1P_1 - w^5D_2^o$		
3912.112	10	8	MIT	25554.43	$a^5D_0 - z^5P_1^o$	0/0	2.384n
3911.144	6	2	MIT	25560.76	$a^3P_1 - z^3P_1^o$	1.683	1.312
3909.075	30	50	MIT	25574.28	$a^3G_3 - z^3H_4^o$	0.764	0.898
3908.765	12	12	MIT	25576.31	$a^1G_4 - z^1G_4^o$	0.988	1.032
3905.991	6	3h	MIT	25594.42	42 - 227	(1.343)	1.061p
3902.816	5	-	MIT	25615.29	$a^3P_2 - \cancel{y^5F_1}$		
3901.245	50	12	MIT	25625.61	$a^5F_4 - z^5F_5$		
3898.361	12	6	MIT	25644.57	$a^3F_3 - y^5D_2^o$	1.197	1.478
3897.236	12	6	MIT	25651.97	$b^3F_4 - \cancel{y^5F_5}$	1.259	1.400
3894.245	8	2	MIT	25671.61	$b^3F_2 - z^3P_2^o$		
3892.773	10	4	MIT	25681.38	$a^1P_1 - u^3D_2^o$	0.928	1.086
3892.209	50	40	MIT	25685.10	$a^5P_2 - y^5D_2^o$	1.559	1.478
3891.410	20	3	MIT	25690.37	$a^3D_3 - w^3D_3^o$	1.334	1.168
3890.197	30	8	MIT	25698.38	$a^3F_2 - z^5P_2^o$	1.090	1.808
3889.424	2	-	MF	25703.42	$a^3D_1 - z^1P_1^o$		
3887.772	15	8	MIT	25714.41	$a^3D_2 - x^3D_3^o$	1.159	1.159n
3884.676	20	6	MIT	25734.90	$a^3G_3 - y^3F_3^o$	0.754	0.967
3884.016	20	6	MIT	25739.28	$a^1G_4 - y^3G_4^o$	0.993	1.195
3882.006	12	-	MIT	25752.61	$a^5F_2 - z^5D_2^o$	1.000	1.327
3880.806	5	-	MIT	25760.57	$b^3P_1 - y^3P_2^o$	1.42	1.29
3876.648	12	1	MIT	25788.20	$b^3P_2 - y^5P_1^o$	1.313	0.966
3876.082	20	3	MIT	25791.96	$b^3P_1 - y^5P_1^o$	1.436	2.315
3873.525	30	45	MIT	25808.99	$a^5D_1 - z^5P_2^o$	1.81	1.81 n
3872.718	4	6	MIT	25814.37	$a^1P_1 - u^3D_1^o$		
3872.372	4	8	MIT	25816.67	$a^3D_3 - x^3D_2^o$		
3871.215	10	1h	MIT	25824.39	$a^5D_2 - z^5P_2^o$	1.230	1.800
3869.836	3	-	MF	25833.59	$a^3P_1 - y^3D_1^o$		
3867.839	60	35	MIT	25846.93	$a^3F_4 - z^3F_3^o$	1.286	1.136
3865.743	4	4	MIT	25860.94	$a^1P_1 - w^5D_0^o$		
3865.408	10	4	MIT	25863.22	$a^3F_2 - z^5P_1^o$	1.090	2.388
3864.857	5	-	MIT	25866.87	$a^3P_0 - y^3D_1^o$	0/0	0.78 n
3862.646	2	60	MIT	25881.68	$a^3H_4 - z^3I_5^o$	(0.834)	0.853n
					and $a^3P_1 - x^5D_2^o$		
3861.704	2	5	MIT	25887.99	$b^3F_3 - x^5D_4^o$		

<u>λ</u>	<u>Arc</u>	<u>Spk</u>	<u>Auth.</u>	<u>σ</u>	<u>Comb.</u>	<u>Zeeman Effect</u>
						<u>g_1</u> <u>g_2</u>
3861.426	5	-	MIT	25889.85	a ³ G ₄ - y ⁵ P ₃ ^o	
3860.723	20	4	MIT	25894.57	a ³ D ₂ - z ¹ F ₃ ^o	
3859.712	6	15	MIT	25901.35	a ³ H ₄ - y ¹ F ₃ ^o	0.830 0.990
3858.686	4	4	MIT	25908.24	a ³ D ₁ - z ¹ S ₀ ^o	0.681 0/0 n
3857.997	5	1	MF	25912.87	b ³ P ₁ - y ³ P ₀ ^o	
3857.551	50	25	MIT	25915.86	a ¹ G ₄ - z ¹ H ₅ ^o	(0.992) 1.012n
3856.981	5	5h	MIT	25919.69	b ³ F ₂ - y ³ D ₃ ^o	
3856.459	50	8	MIT	25923.20	a ⁵ F ₂ - z ⁵ F ₄ ^o	1.251 1.363
3854.727	10	5wh	MIT	25934.85	b ³ P ₁ - y ³ P ₁ ^o	1.449 1.611
3852.837	5	3h	MIT	25947.57	a ⁵ D ₁ - y ⁵ D ₅ ^o	
3852.564	4	5h	MIT	25949.41	a ¹ P ₁ - w ⁵ D ₁ ^o	
3852.137	12	10	MIT	25952.29	a ¹ D ₂ - y ¹ F ₃ ^o	1.173 0.997
3850.622	3	-	MF	25962.49	a ³ D ₂ - x ³ D ₁ ^o	
3850.432	50	10	MIT	25963.78	a ⁵ D ₄ - y ⁵ D ₄ ^o	1.45 1.45 n
3848.945	8	12	MIT	25973.80	a ⁵ D ₁ - z ⁵ P ₁ ^o	
3846.805	5	-	MIT	25988.26	a ³ F ₃ - z ⁵ P ₃ ^o	1.197 1.646
3846.676	12	10	MIT	25989.13	a ⁵ D ₂ - z ⁵ P ₁ ^o	1.229 2.383
3845.001	tr	10	MF	26000.40	a ¹ H ₅ - u ³ D ₁ ^o	
3843.397	3	-	MF	26011.30	a ¹ H ₅ - 222	
3843.159	10	5	MIT	26012.91	a ⁵ F ₁ - z ⁵ D ₁ ^o	0.000 0.944
3842.661	6	3h	MIT	26016.28	a ³ P ₁ - x ⁵ D ₀ ^o	1.688 0/0 n
3840.985	8	6	MIT	26027.63	a ³ H ₆ - z ³ I ₆ ^o	1.164 1.013
3840.76	4	6	MIT	26029.13	a ⁵ P ₂ - z ⁵ P ₃ ^o	1.57 1.65
3839.695	50	30	MIT	26036.40	a ³ G ₅ - y ³ F ₄ ^o	1.190 1.112
3838.728	10	10	MIT	26042.94	a ³ G ₃ - y ³ P ₂ ^o	0.74 1.28
3838.067	12	5wh	MIT	26047.42	a ⁵ P ₂ - y ⁵ D ₁ ^o	(1.563) 1.526n
3835.990	6	4h	MIT	26061.52	a¹D₂ - y³S₁^o	1.186 1.540
3835.048	50	6	MIT	26067.92	a ¹ G ₄ - x ³ D ₃ ^o	0.990 1.156
3831.795	60	50	MIT	26090.05	a ³ G ₅ - z ³ H ₅ ^o	1.187 1.045
3830.877	10	4	MIT	26096.31	b ³ P ₂ - y ³ P ₂ ^o	1.31 1.31 n
3829.479	4	5	MIT	26105.83	b ³ F ₃ - x ⁵ D ₃ ^o	
3829.332	8	3	MIT	26106.84	a ³ H ₅ - w ³ F ₄ ^{o?}	
3828.714	30	8	MIT	26111.04	a ⁵ P ₃ - z ⁵ P ₂ ^o	1.625 1.807
3826.267	2	2h	MF	26127.75	b ³ P ₂ - y ⁵ P ₁ ^o	
3826.105	8	3	MIT	26128.85	a ³ D ₂ - w ³ F ₂ ^o	1.156 0.884

<u>λ</u>	Arc	Spk	Auth.	<u>σ</u>	Comb.	Zeeman Effect	
						g_1	g_2
3824.932	30	25	MIT	26136.87	$a^3P_2 - x^5D_3$	1.527	1.419
3822.091	50	25	MIT	26156.29	$a^3D_3 - w^3F_4$	1.338	1.247
3819.767	12	6	MIT	26172.22	$b^3F_2 - y^3D_1$	0.76	0.76 n
3819.033	50	30	MIT	26177.24	$a^5F_2 - z^5F_3$	0.997	1.295
3818.352	5	2	MIT	26181.91	$a^3D_1 - w^3D_1$		
3817.269	50	60	MIT	26189.33	$a^3H_6 - x^3G_5$	(1.164)	1.189n
3814.857	20	35	MIT	26205.89	$a^3D_2 - w^3F_3$	1.14	1.21
3813.177	4	3	MIT	26217.44	$a^3H_5 - 2253$		
3812.718	12	-	MIT	26220.59	$a^3G_4 - x^3F_4$	1.032	1.112
					$b^3F_2 - x^5D_2$		
3809.639	2	10	MF	26241.78	$a^1G_4 - A181$		
3808.684	50	30	MIT	26248.36	$a^1G_4 - z^1F_3$	0.990	1.128
3805.434	10	5	MIT	26270.98	$b^3P_2 - y^3P_1$	1.313	1.602
3803.197	10	8	MIT	26286.23	$a^1P_1 - 227$	0.923	1.053
3800.261	12	40	MIT	26306.54	$a^5D_3 - z^5P_2$	1.41	1.80
3799.657	3	5	MF	26310.72	$b^3F_3 - y^3D_2$		
3799.347	70	100	MIT	26312.87	$a^5F_5 - z^5D_4$	1.394	1.479
3798.901	70	100	MIT	26315.96	$a^5F_4 - z^5D_3$	1.347	1.427
3798.052	30	40	MIT	26321.84	$a^5F_1 - z^5F_2$	0.000	1.170
3795.175	12	6	MIT	26341.79	$a^3P_2 - y^3D_2$	1.538	1.175
3794.924	20	30	MIT	26343.54	$a^5P_1 - y^5F_2$	1.991	1.071
					$a^3D_3 - x^3F_2$	1.331	1.026
3793.905	3	-	MF	26350.61	$b^3F_4 - y^5F_4$		
3790.513	70	150	MIT	26374.19	$a^5F_3 - z^5D_2$	1.248	1.317
3787.529	2	-	MF	26394.97	$a^3D_1 - y^3S_1$		
3786.055	70	100	MIT	26405.25	$a^5F_2 - z^5D_1$	(1.000)	0.956n
3784.737	4	-	MF	26414.55	$a^3P_1 - x^5D_1$		
3781.181	50	40	MIT	26439.66	$a^1H_5 - A226$	1.006	1.030up
3779.964	10	4	MIT	26447.68	$a^3P_0 - x^5D_1$	0/0	1.563n
3779.431	4	-	MF	26451.52	$b^3P_1 - y^3F_2$		
3778.701	12	10	MIT	26456.63	$a^3G_4 - z^3H_4$	1.029	0.892
3777.759	3	4	MIT	26463.23	$a^1D_2 - v^3D_2$	1.16	1.16 n
3777.586	60	50	MIT	26464.44	$a^5F_1 - z^5D_0$	0.0	0/0 n
					$b^3F_3 - z^3P_2$		

<u>λ</u>	<u>Arc</u>	<u>Spk</u>	<u>Auth.</u>	<u>σ</u>	<u>Comb.</u>	<u>Zeeman Effect</u>	g_1	g_2
3773.170	12	4	MIT	26495.41	a ³ P ₂ - z ³ P ₂ ^o	1.540	1.476	
3767.350	50	50	MIT	26536.54	a ³ G ₃ - y ³ G ₃ ^o	0.756	0.885	
3764.032	6	6	MIT	26559.35	a ¹ G ₄ - w ¹ F ₃ ^o	0.995	1.237	
3761.508	12	45	MIT	26577.56	a ³ G ₃ - z ¹ G ₄ ^o	0.758	1.036	
3760.031	20	50	MIT	26588.00	a ⁵ F ₁ - z ⁵ F ₁ ^o	0.000	0.567	
3759.836	12	25	MIT	26589.38	a ⁵ D ₄ - z ⁵ P ₃ ^o	1.440	1.640	
3756.225	2	5h	MF	26614.94	x ⁵ F ₅ ^o - 63			
3755.931	30	60	MIT	26617.02	a ³ G ₄ - y ³ F ₃ ^o	1.02	0.96	
3755.727	6	8	MIT	26618.47	a ⁵ P ₁ - y ⁵ F ₁ ^o	1.979	0.145	
3755.090	20	25	MIT	26623.19	a ³ F ₂ - y ⁵ F ₃ ^o	1.085	1.272	
3753.545	30	60	MIT	26633.94	a ³ G ₄ - y ³ G ₅ ^o	1.038	1.145	
3752.778	8	3	MIT	26639.38	a ¹ H ₅ - w ³ F ₄ ^o			
3751.853	5	3	MIT	26645.95	a ³ H ₄ - y ⁵ G ₅ ^o			
3746.218	4	4	MIT	26686.03	b ³ F ₄ - y ⁵ F ₃ ^o	1.28	1.28 n	
3744.219	8	25	MIT	26700.28	a ⁵ P ₃ - y ⁵ F ₄ ^o	1.627	1.359	
3743.945	5	4	MIT	26702.23	a ³ D ₂ - w ³ D ₂ ^o			
3742.784	50	50	MIT	26710.51	a ³ H ₆ - z ³ I ₇ ^o	(1.164)	1.146n	
3742.280	70	100	MIT	26714.11	a ⁵ F ₂ - z ⁵ F ₂ ^o	0.998	1.158	
3739.465	20	18	MIT	26734.22	a ³ G ₃ - y ³ F ₂ ^o	0.750	0.888	
3738.912	10	10	MIT	26738.17	a ³ H ₅ - z ³ I ₅ ^o	1.029	0.852	
3738.629	8	8	MIT	26740.37	a ³ G ₃ - y ³ G ₄ ^o	0.760	1.195	
3737.741	6	5	MIT	26746.43	a ⁵ D ₀ - y ⁵ F ₁ ^o	0/0	0.149	
3737.401	12	12	MIT	26748.98	a ⁵ D ₂ - y ⁵ F ₃ ^o			
3736.798	3	-	MIT	26753.30	b ³ F ₂ - x ⁵ D ₁ ^o			
3735.021	4	-	MIT	26766.03	a ³ H ₄ - y ⁵ G ₄ ^o	(0.834)		
3733.049	10	3	MIT	26780.17	a ³ F ₂ - y ⁵ F ₂ ^o	1.085	1.065up	
3732.765	4	-	MIT	26782.21	a ¹ G ₄ - x ³ F ₃ ^o			
3732.029	6	8	MIT	26787.49	b ³ P ₂ - y ³ F ₂ ^o	1.315	0.895	
3730.904	3	5	MIT	26795.56	a ¹ D ₂ - v ³ D ₁ ^o			
3730.592	2	5	MIT	26797.80	a ³ F ₃ - z ⁵ P ₂ ^o	1.187	1.803	
3730.433	12	70	MIT	26798.95	a ⁵ F ₃ - z ⁵ F ₃ ^o	1.247	1.291up	
3730.132	3	1	MF	26801.11	a ³ P ₁ - z ³ S ₁ ^{o?}			
3728.030	100	150	MIT	26816.22	a ⁵ F ₅ - z ⁵ F ₅ ^o	1.391	1.391n	
3726.926	100	150	MIT	26824.16	a ⁵ F ₄ - z ⁵ F ₄ ^o	1.340	1.366up	
3726.096	12	60	MIT	26830.14	a ³ G ₅ - x ³ F ₄ ^o	1.184	1.115	

<u>λ</u>	<u>Arc</u>	<u>Spk</u>	<u>Auth.</u>	<u>σ</u>	<u>Comb.</u>	<u>Zeeman</u>	<u>Effect</u>
						g_1	g_2
3725.486	8	5	MIT	26834.53	a ³ P ₀ - z ³ S ₁ ^o	0/0	1.558n
3724.969	12	12	MIT	26838.26	a ⁵ P ₂ - z ⁵ P ₂ ^o	1.569	1.812
3722.312	5	2	MIT	26857.41	a ¹ D ₂ - z ¹ D ₂ ^o	1.19	1.03
3719.329	20	25	MIT	26878.95	a ³ H ₄ - 204	0.832	0.930
3718.400	8	2	MIT	26885.67	a ³ F ₄ - y ⁵ D ₃ ^o		
3717.682	6	5	MIT	26890.86	a ⁵ D ₁ - y ⁵ F ₂ ^o		
3717.004	30	25	MIT	26895.57	a ⁵ D ₃ - y ⁵ F ₄ ^o	1.418	1.364up
3716.179	12	8	MIT	26901.24	a ³ F ₄ - v ⁵ D ₄ ^o	1.279	1.497
3715.562	12	8	MIT	26906.21	a ⁵ D ₂ - y ⁵ F ₂ ^o	1.240	1.071
3714.624	8	1	MIT	26913.00	a ⁵ F ₁ - z ⁷ F ₂ ^o		
3712.295	30	10	MIT	26929.88	a ¹ D ₂ - 204	1.171	0.983
3709.097	5	-	MIT	26953.10	a ³ D ₂ - x ³ D ₂ ^o ?		
3705.4	-	1+	E+H	26979.99	a ⁵ F ₁ - z ⁷ F ₁ ^o		
3705.357	8	2	MIT	26980.30	a ⁵ F ₂ - z ⁵ F ₂ ^o		
3703.206	12	3	MIT	26995.98	a ³ P ₂ - y ³ D ₁ ^o	1.537	0.754
3702.240	6	3	MIT	27003.02	a ⁵ P ₂ - z ⁵ P ₁ ^o	1.569	2.396
3701.848	5	Oh	MIT	27005.88	a ¹ P ₁ - w ³ F ₂ ^o		
3701.320	10	3	MIT	27009.73	a ⁵ F ₁ - z ⁷ F ₀ ^o	0.0	0/0 n
3700.991	50	20	MIT	27012.13	a ³ H ₄ - y ¹ H ₅ ^o	0.840	1.035
3697.861	4	3	MIT	27034.99	b ³ P ₁ - x ³ D ₀ ^o	1.43	0.89
3697.764	8	6	MIT	27035.70	a ⁵ P ₃ - y ⁵ F ₃ ^o	1.625	1.279
3696.587	50	15	MIT	27044.31	a ³ P ₂ - x ⁵ D ₂ ^o	1.534	1.442
3693.591	20	5	MIT	27066.25	a ³ G ₅ - z ³ H ₄ ^o	1.197	0.902
3693.227	3	-	MF	27068.92	a ³ G ₃ - x ³ D ₃ ^o		
3685.951	10	5	MIT	27122.35	b ³ P ₂ - x ³ D ₃ ^o	1.313	1.159
3685.068	8	3	MIT	27128.86	a ³ D ₁ - v ³ D ₁ ^o	0.677	0.800
3683.592	3	-	MIT	27139.72	b ³ F ₂ - z ³ S ₁ ^o		
3682.664	2	-	MF	27146.55	a ³ H ₄ - w ⁵ D ₄ ^o		
3680.063	4	-	MIT	27165.74	a ⁵ D ₁ - y ⁵ F ₁ ^o		
3678.315	6	15	MIT	27178.65	a ⁵ F ₂ - z ⁷ F ₃ ^o ?		
3678.059	4	2	MIT	27180.53	a ¹ G ₄ - w ³ D ₃ ^o		
3677.982	5	1	MIT	27181.11	a ⁵ D ₂ - y ⁵ F ₁ ^o		
3676.955	8	3	MIT	27188.70	a ¹ D ₂ - x ³ P ₂ ^o	(1.175)	1.415p
3676.670	8	4	MIT	27190.81	a ³ D ₁ - z ¹ D ₂ ^o	0.674	1.027
3676.408	5	2h	MIT	27192.75	a ⁵ P ₃ - y ⁵ F ₂ ^o		

<u>λ</u>	Arc	Spk	Auth.	<u>σ</u>	Comb.	Zeeman Effect	
						g_1	g_2
3675.262	6	2	MIT	27201.23	b ³ P ₁ - w ³ F ₂ ^o	1.447	0.892
3674.626	5	-	MF	27205.93	a ¹ H ₅ - 233		
3672.383	6	4	MIT	27222.55	a ³ P ₁ - y ⁵ P ₂ ^o	(1.684)	1.717n
3672.066	4	1	MIT	27224.90	a ³ H ₄ - x ⁵ F ₅ ^o	(0.834)	1.303p
3671.219	10	4	MIT	27231.19	a ⁵ D ₃ - χ ⁵ F ₃ ^o	1.426	1.281
3669.494	50	70	MIT	27243.98	a ³ G ₅ - y ³ G ₅ ^o	1.194	1.146up
3668.729	4	2	MIT	27249.67	a ³ G ₃ - z ¹ F ₃ ^o		
3667.993	4	-	MF	27255.13	a ¹ D ₂ - x ³ P ₁ ^o		
3667.465	2	-	MF	27259.06	b ³ F ₂ - y ⁵ P ₃ ^o		
3663.373	5	60	MIT	27289.50	a ⁵ D ₄ - χ ⁵ F ₅ ^o		
3661.577	1	5	MIT	27302.89	b ³ P ₂ - z ¹ F ₃ ^o		
3661.353	60	100	MIT	27304.56	a ⁵ F ₄ - z ³ G ₅ ^o	1.348	1.237
3660.814	2	8	MIT	27308.58	a ³ D ₃ - v ³ D ₂ ^o ?		
3657.173	2	4	MIT	27335.77	a ⁵ F ₃ - z ⁵ F ₂ ^o		
3655.976	2	1	MF	27344.72	a ³ H ₄ - x ³ G ₃ ^o		
3653.699	-	1	MF	27361.76	a ³ D ₂ - z ¹ P ₁ ^o		
3652.50	1	-	E+H	27370.74	b ³ P ₂ - x ³ D ₁ ^o		
3652.316	2	5	MIT	27372.12	a ⁵ F ₂ - z ⁷ F ₁ ^o ?		
3650.322	3	12	MIT	27387.07	a ³ F ₃ - χ ⁵ F ₄ ^o	1.199	1.361
3649.200	tr	-	MF	27395.49	a ¹ D ₂ - x ³ G ₃ ^o		
3646.114	12	8	MIT	27418.68	a ³ G ₄ - y ³ G ₃ ^o	1.034	0.894
3645.669	tr	-	MF	27422.02	b ³ F ₄ - x ⁵ D ₄ ^o		
3640.640	3	12	MIT	27459.90	a ³ G ₄ - z ¹ G ₄ ^o	1.03	1.03 n
3638.016	1	4	MIT	27479.71	a ³ D ₂ - x ³ F ₂ ^o	1.160	1.022
3637.466	2	10	MIT	27483.35	a ³ G ₃ - w ³ F ₂ ^o	0.753	0.883
3635.516	2	8	MIT	27498.60	a ⁵ P ₁ - z ³ P ₂ ^o	1.985	1.470
3634.929	50	100	MIT	27503.05	a ⁵ F ₃ - z ⁷ F ₂ ^o	1.253	1.371
3633.921	2	5	MIT	27510.67	a ³ H ₄ - x ⁵ F ₄ ^o		
3632.409	2	1	MF	27522.08	a ³ D ₁ - x ³ P ₂ ^o		
3631.711	2	8	MIT	27527.41	a ³ F ₄ - z ⁵ P ₃ ^o	1.280	1.644
3627.289	2	4	MIT	27560.80	a ³ G ₃ - w ³ F ₃ ^o		
3626.744	3	40	MIT	27565.11	a ³ H ₄ - w ³ G ₄ ^o	0.840	0.919up
3625.196	4	30	MIT	27576.88	a ³ P ₂ - x ⁵ D ₁ ^o	(1.534)	1.558n
3623.635	2	10	MIT	27588.76	b ³ F ₃ - y ³ F ₄ ^o		
3620.285	2	5	MIT	27614.29	b ³ P ₂ - w ³ F ₃ ^o		

<u>λ</u>	<u>Arc</u>	<u>Spk</u>	<u>Auth.</u>	<u>σ</u>	<u>Comb.</u>	<u>Zeeman</u>	<u>Effect</u>
						<u>g_1</u>	<u>g_2</u>
3619.202	2	9	MIT	27622.56	a ³ G ₄ - y ³ G ₄ ^o	1.030	1.195
3616.951	2	4	MIT	27639.74	b ³ F ₄ - x ⁵ D ₃ ^o	1.256	1.424
3616.057	tr	-	MF	27646.58	a ¹ G ₄ - w ³ F ₄ ^o		
3609.107	3	4	MIT	27699.81	a ⁵ F ₄ - z ⁵ F ₃ ^o		
3608.727	2	8	MIT	27702.73	a ⁵ D ₂ - x ⁵ D ₃ ^o	1.239	1.430
3607.426	tr	-	MF	27712.72	a ³ D ₃ - z ¹ D ₂ ^o		
3606.153	2	1	MIT	27722.50	a ³ F ₃ - y ⁵ F ₃ ^o		
3605.641	2	9	MIT	27726.44	a ⁵ P ₁ - z ³ P ₁ ^o	1.979	1.308
3601.485	2	5	MIT	27758.43	a ³ H ₅ - y ⁵ G ₆ ^o	1.041	1.220
3599.764	12	100	MIT	27771.70	a ⁵ P ₃ - x ⁵ D ₄ ^o	1.615	1.479
3599.400	2	3	MIT	27774.51	b ³ P ₁ - w ³ D ₂ ^o		
3598.476	2	1	MF	27781.64	a ³ F ₂ - y ³ D ₂ ^o		
3596.179	30	100	MIT	27799.40	a ⁵ F ₃ - z ³ G ₄ ^o		
3593.022	60	150	MIT	27823.82	a ⁵ F ₂ - z ⁵ G ₃ ^o		
3591.343	tr	-	MF	27836.82	b ³ P ₂ - x ³ F ₃ ^o		
3590.886	2	4	MIT	27840.37	a ³ D ₂ - w ³ D ₁ ^o	1.168	0.809
3589.215	60	100	MIT	27853.32	a ⁵ F ₁ - z ⁵ G ₂ ^o	0.000	0.373
3587.203	5	70	MIT	27868.97	a ³ H ₅ - y ¹ H ₅ ^o	1.036	1.036n
3585.820	-	10h	E+H	27879.70	a ³ F ₃ - y ⁵ F ₂ ^o		
3584.198	2	6	MIT	27892.27	a ⁵ D ₁ - y ³ D ₂ ^o	1.792	1.171
3579.768	3	8	MIT	27926.82	a ⁵ F ₃ - z ⁷ F ₂ ^o	1.249	1.497
3578.688	3	4h	MF	27935.27	a ³ F ₂ - z ³ P ₂ ^o		
3577.538	3	5	MF	27944.24	a ³ D ₂ - y ¹ F ₃ ^o		
3575.041	2	-	MF	27963.66	a ³ P ₂ - z ³ S ₁ ^o		
3574.577	4	15	MIT	27967.38	a ⁵ D ₃ - x ⁵ D ₄ ^{o?}		
3573.68	1	-	E+H	27974.40	a ³ H ₄ - w ⁵ D ₃ ^o		
3572.015	3	5	MIT	27987.44	a ³ P ₁ - y ⁵ P ₁ ^o	1.684	2.321
3571.759	3	5	MF	27989.45	a ⁵ P ₃ - x ⁵ D ₃ ^o		
3567.73	-	1h	E+H	28021.05	a ³ P ₀ - y ⁵ P ₁ ^o		
3567.155	3	9	MIT	28025.57	b ³ P ₁ - x ³ D ₂ ^o	1.442	1.005
3564.798	2	5	MIT	28044.09	a ³ D ₃ - x ³ P ₂ ^o		
3564.562	4	5	MIT	28045.96	a ⁵ D ₁ - z ³ P ₂ ^o	1.81	1.48
3564.353	3	6	MIT	28047.61	a ⁵ P ₁ - x ⁵ D ₂ ^o		
3563.578	2	-	MF	28053.70	a ¹ H ₅ - 239		
3563.141	2	3	MIT	28057.14	a ³ G ₃ - w ³ D ₂ ^o		

<u>λ</u>	<u>Arc</u>	<u>Spk</u>	<u>Auth.</u>	<u>σ</u>	<u>Comb.</u>	<u>Zeeman Effect</u>
						<u>g_1</u> <u>g_2</u>
3562.616	2	3	MIT	28061.28	$a^5D_2 - z^3P_2^o$	
3561.894	2	5	MIT	28066.96	$b^3P_0^o - w^3D_1^o$	0/0 0.811n
3561.562	2	1	MF	28069.58	$a^3G_5 - z^1G_4^o$	
3560.177	2	-	MF	28080.50	$a^5F_1 - z^5S_2^o$	
3559.879	3	2	MF	28082.85	$a^3P_2 - y^5P_3^o$	
3557.058	3	5	MIT	28105.12	$a^3H_4 - x^3F_3^o$	
3556.626	3	5	MIT	28108.54	$a^3P_1 - y^3P_0^o$	1.680 0/0 n
3556.382	2	-	MIT	28110.46	$b^3P_2 - w^3D_2^o$	
3554.262	2	1	MF	28127.23	$a^5D_0 - y^3D_1^o$	
3553.848	4	10	MIT	28130.51	$a^1P_1 - y^1P_1^o$	1.679 1.606
3553.668	5	1	MIT	28131.93	$a^3G_4 - z^1F_3^o$	
3550.630	4	5	MIT	28156.00	$a^1D_2 - x^5F_3^o$	
3550.269	4	8	MIT	28158.87	$a^5F_3 - z^7P_4^o$	1.253 1.658
3549.735	3	5	MIT	28163.10	$a^3F_2 - z^3P_1^o$	
3549.623	2	-	MF	28163.99	$a^3P_0 - y^3P_1^o$	
3547.380	3	2	MF	28181.77	$a^3G_3 - w^3D_3^o$	
3547.181	3	2	MF	28183.38	$a^3F_2 - y^3D_3^o$	
3546.982	2	5	MIT	28184.96	$a^5D_3 - x^5D_3^o$	1.42 1.42 n
3546.012	2	-	MF	28192.67	$a^3H_6 - y^5G_5^o$	
3545.806	2	-	MF	28194.31	$a^5P_3 - y^3D_2^o$	
3541.631	60	10	MIT	28227.54	$a^3F_4 - y^5F_5^o$	1.294 1.407
3541.046	10	-	MIT	28232.20	$a^3G_5 - y^3G_4^o$	1.18 1.18
3540.678	4	-	MF	28235.14	$b^3P_2 - w^3D_3^o$	
3539.369	60	15	MIT	28245.58	$a^5F_2 - z^5G_2^o$	1.001 0.378
3539.263	30	5	MIT	28246.43	$b^3F_4 - y^3D_3^o$	
3537.951	70	25	MIT	28256.90	$a^5F_3 - z^3F_4^o$	(1.249) 1.269n
3536.567	50	-	MIT	28267.96	$a^3H_4 - A214$	
3535.831	60	12	MIT	28273.84	$a^5D_1 - z^3P_1^o$	1.796 1.312
3535.372	30	8	MIT	28277.50	$a^5F_4 - z^7F_5^o$	
3535.307	5	-	MIT	28278.03	$a^1G_4 - z^3I_5^o$	
3535.052	10	1	MIT	28280.07	$b^3P_0 - y^3S_1^o$	
3533.913	6	-	MIT	28289.19	$a^5D_2 - z^3P_1^o$	
3532.814	60	12	MIT	28297.99	$a^1G_4 - y^1F_3^o$	0.99 0.99 n
3531.390	60	9	MIT	28309.40	$a^5D_2 - y^3D_3^o$	1.241 1.390
3529.276	30	3	MIT	28326.36	$b^3F_2 - z^3D_1^o$	
3528.683	60	12	MIT	28331.12	$a^5F_2 - z^3D_3^o$	1.002 1.204

<u>λ</u>	Arc	Spk	Auth.	<u>σ</u>	Comb.	Zeeman Effect	
						<u>g_1</u>	<u>g_2</u>
3526.575	12	3	MIT	28348.05	a ⁵ P ₃ - z ³ P ₂		
3525.817	5	-	MIT	28354.14	b ³ F ₃ - y ⁵ P ₂		
3524.902	12	2	MIT	28361.50	b ³ P ₂ - x ³ D ₂		
3524.152	6	-	MIT	28367.54	a ³ H ₅ - x ⁵ F ₄		
3522.276	10	8R	MIT	28382.65	b ³ F ₃ - x ³ F ₄		
3521.968	8	5R	MIT	28385.13	a ³ P ₂ - y ⁵ P ₂		
3521.393	7	-	MF	28389.77	a ⁵ D ₃ - y ³ D ₂		
3520.130	60	40	MIT	28399.95	a ⁵ D ₁ - z ³ P ₀	1.791	0/0 n
3519.635	70	30	MIT	28403.94	a ⁵ F ₄ - z ⁷ F ₄	1.350	1.364up
3518.983	30	3	MIT	28409.21	a ³ G ₅ - z ¹ H ₅		
3517.994	4	-	MF	28417.19	a ³ D ₃ - x ⁵ F ₄		
3517.407	10	-	MIT	28421.94	a ³ H ₅ - w ³ G ₄		
3516.948	2	-	MF	28425.64	a ³ H ₄ - 216		
3515.894	10	8R	MIT	28434.17	b ³ P ₁ - z ¹ P ₁		
3515.678	10	8R	MIT	28435.91	a ³ F ₂ - y ³ D ₁		
3514.766	12	4	MIT	28443.30	a ³ G ₄ - w ³ F ₃		
3514.488	70	40	MIT	28445.54	a ⁵ F ₃ - z ⁵ G ₃	1.247	0.941
3514.141	4	-	MIT	28448.35	a ³ H ₆ - y ⁵ G ₆		
3513.299	5	-	MF	28455.17	a ³ D ₂ - v ³ D ₂		
3512.882	8	-	MIT	28458.54	a ³ F ₃ - x ⁵ D ₄		
3511.560	6	-	MIT	28469.30	b ³ F ₂ - y ³ P ₁		
3511.291	2	-	MIT	28471.44	a ³ D ₃ - w ³ G ₄		
3511.126	8	-	MIT	28472.78	a ⁵ F ₂ - z ⁵ S ₂		
3509.717	50	2	MIT	28484.21	a ³ F ₂ - x ⁵ D ₂		
3508.370	4	-	MF	28495.14	a ⁵ F ₅ - z ³ G ₅		
3507.319	12	-	MF	28503.68	a ¹ D ₂ - w ³ G ₃		
3502.640	tr	-	MF	28541.76	a ¹ H ₅ - B242		
3502.418	20	4	MIT	28543.57	a ⁵ D ₃ - z ³ P ₂	(1.420)	1.460n
3502.045	3	-	MF	28546.61	a ⁵ D ₁ - y ³ D ₁		
3501.354	30	3	MIT	28552.24	b ³ P ₁ - x ³ F ₂	1.449	1.027
3500.528	5	-	MF	28558.98	a ³ H ₆ - y ¹ H ₅		
3500.162	2	-	MF	28561.97	a ⁵ D ₂ - y ³ D ₁		
3498.942	500R	200	MIT	28571.92	a ⁵ F ₅ - z ⁵ G ₆	(1.397)	1.379n
3497.937	30	8	MIT	28580.13	a ⁵ P ₁ - x ⁵ D ₁	1.985	1.573
3497.611	3	-	MF	28582.80	a ³ H ₅ - 211		

<u>λ</u>	<u>Arc</u>	<u>Spk</u>	<u>Auth.</u>	<u>\sim</u>	<u>Comb.</u>	<u>Zeeman</u>	<u>Effect</u>
						g_1	g_2
3496.127	12	-	MIT	28594.93	$a^5D_1 - x^5D_2$		
3495.973	60	10	MIT	28596.19	$a^5P_3 - y^3D_3$	1.628	1.389
3494.251	50	8	MIT	28610.28	$a^5D_2 - x^5D_2$	1.237	1.441
				or	$a^3D_3 - y^5G_0$		
3493.220	20	1	MIT	28618.72	$b^3F_3 - z^3H_4$		
3490.716	12	2	MIT	28639.25	$b^3P_1 - z^1S_0$	1.441	0/0 n
3489.749	12	-	MIT	28647.19	$a^3P_1 - y^3F_2$		
3488.338	tr	-	MF	28658.77	$a^3H_4 - w^3G_5$		
3487.456	5	-	MIT	28666.02	$a^3G_4 - x^3F_3$		
3486.789	30	-	MIT	28671.32	$a^5F_2 - z^7P_3$		
3486.206	20	-	MIT	28676.30	$a^3F_3 - x^5D_3$		
3483.292	60	10	MIT	28700.29	$a^5F_4 - z^3G_4$		
3483.25	-	1	E+H	28700.64	$a^3D_3 - y^5G_2$		
3483.159	50	8	MIT	28701.39	$a^5F_4 - z^7F_3$		
3482.341	30	3	MIT	28708.12	$a^5D_0 - x^5D_1$		
3481.297	70	35	MIT	28716.74	$a^5P_2 - x^5D_3$	1.557	1.420
3479.774	3	-	MF	28729.30	$a^5D_2 - x^5D_0$		
3477.931	tr	-	MF	28744.63	$a^1D_2 - w^5D_2$		
3474.843	20	4	MIT	28770.07	$b^5P_2 - z^1P_1$		
3474.641	2	-	MF	28771.74	$a^3H_6 - x^5F_5$		
3473.746	70	35	MIT	28779.16	$b^3F_3 - y^3F_3$	1.083	0.970
3472.653	12	3	MIT	28788.22	$b^3F_2 - y^3G_3$		
3472.231	60	9	MIT	28791.71	$a^5D_3 - y^3D_3$	1.419	1.389
3470.002	3	-	MF	28810.21	$a^3P_2 - y^3F_3$		
3467.046	50	3	MIT	28834.77	$a^3G_3 - x^3F_2$	0.754	1.020
3465.286	5	2h	MIT	28849.41	$a^3D_2 - z^1D_2$		
3463.144	60	4	MIT	28867.26	$a^5F_3 - z^5G_2$		
3461.924	30	-	MIT	28877.43	$a^1D_2 - u^3D_2$		
3461.525	tr	-	MF	28880.76	$a^3D_3 - w^5D_3$		
3461.466	tr	-	MF	28881.25	$a^3F_3 - y^3D_2$		
3460.642	7	-	MF	28888.13	$b^3P_2 - x^3F_2$		
3459.569	30	-	MIT	28897.09	$a^5P_3 - x^5D_2$	(1.624)	1.446
3457.689	4	-	MF	28912.80	$b^3P_1 - w^3D_1$		
3456.620	60	8	MIT	28921.74	$a^3D_2 - 204^\circ$	1.164	0.938
3455.732	12	-	MIT	28929.17	$a^5D_2 - 161^\circ$		

<u>λ</u>	<u>Arc</u>	<u>Spk</u>	<u>Auth.</u>	<u>σ</u>	<u>Comb.</u>	<u>Zeeman Effect</u>	<u>g_1</u>	<u>g_2</u>
3452.903	60	6	MIT	28952.87	$a^5F_3 - z^3D_3^o$	1.24	1.21	up
3451.216	3	-	MF	28967.03	$a^5P_1 - z^3S_1^o$			
3450.819	2	-	MF	28970.36	$a^3H_4 - 222$			
3448.953	70	20	MIT	28986.03	$b^3F_2 - y^3F_2^o$	0.763	0.890	
3446.070	50	6	MIT	29010.28	$a^1D_2 - u^3D_1^o$	(1.175)	1.118	n
3445.939	10	-	MIT	29011.39	$a^3D_3 - x^5F_3^o$			
3445.609	tr	-	MIT	29014.16	$b^3P_0 - x^3D_1^o$			
3445.301	12	-	MIT	29016.75	$a^3F_2 - x^5D_1^o$			
3443.155	30	1	MIT	29034.84	$a^3F_3 - z^3P_2^o$	(1.196)	1.464	p
3442.241	2	-	MF	29042.55	$a^1G_4 - y^5G_5^o$			
3440.205	100	30	MIT	29059.74	$a^5D_4 - x^5D_4^o$	1.440	1.475	
					and $a^5F_4 - z^7P_4^o$	1.349	1.658	
3439.676	30	-	MIT	29064.21	$a^3G_4 - w^3D_3^o$			
3438.368	70	35	MIT	29075.26	$a^5P_2 - z^3P_2^o$	1.564	1.474	
3436.737	300R	150	MIT	29089.06	$a^5F_4 - z^5G_5^o$	1.34	1.26	
3436.332	12	8	MIT	29092.49	$a^5D_3 - x^5D_2^o$			
3436.059	3	-	MF	29094.80	$a^5D_0 - z^3S_1^o$			
3435.186	60	20	MIT	29102.19	$a^5F_1 - z^3D_2^o$	0.000	1.028	
3433.260	60	25	MIT	29118.52	$a^3P_2 - y^3P_2^o$	1.533	1.301	
3432.741	70	40	MIT	29122.92	$b^3F_4 - y^3F_4^o$	1.254	1.109	
3432.373	5	-	MIT	29126.04	$b^3P_1 - y^3S_1^o?$			
3432.209	50	12	MIT	29127.43	$a^5D_1 - x^5D_1^o$			
3430.772	70	45	MIT	29139.64	$a^5F_2 - z^3G_3^o$	0.999	0.869	
3430.374	4	-	MF	29143.02	$a^5D_2 - x^5D_1^o$			
3429.542	60	25	MIT	29150.09	$a^3P_2 - y^5P_1^o$	1.534	2.314	
3428.634	30	12	MIT	29157.80	$a^5F_4 - z^3F_4^o$			
3428.309	100	100	MIT	29160.57	$a^5F_5 - z^7F_6^o$	1.404	1.462	
3426.456	6	-	MIT	29176.34	$a^3H_4 - 225$			
3425.964	30	4	MIT	29180.53	$a^3D_2 - x^3P_2^o$	1.162	1.420	
3424.208	2	-	MF	29195.49	$a^3G_3 - w^3D_1^o$			
3422.45	1	-	MF	29210.69	$a^3D_1 - u^3D_2^o$			
3421.793	3	-	MF	29215.98	$a^5P_3 - 161$			
3420.078	60	8	MIT	29230.75	$a^3P_1 - x^3D_1^o$	1.686	0.890	
3419.252	30	2	MIT	29237.81	$a^5F_1 - z^7P_2^o$	0.000	2.061	
3418.166	5	-	MF	29247.10	$a^3D_2 - x^3P_1^o$			

<u>λ</u>	<u>Arc</u>	<u>Spk</u>	<u>Auth.</u>	<u>σ</u>	<u>Comb.</u>	<u>Zeeman</u>	<u>Effect</u>
						g_1	g_2
3417.961	60	-	MIT	29248.71	$b^3P_2 - w^3D_1^o$		
3417.353	200	70	MIT	29254.06	$a^5F_3 - z^5G_4^o$	1.244	1.113
3416.182	50	4	MIT	29264.08	$a^3P_0 - x^3D_1^o$	0/0	0.898n
3414.839	20	-	MF	29275.59	$a^1G_4 - 204$		
3414.642	50	5	MIT	29277.28	$a^5D_4 - x^5D_3^o$	(1.447)	1.434n
3413.980	3	-	MIT	29282.96	$a^3F_3 - y^3D_3^o$		
3413.714	3	-	MIT	29285.24	$a^3D_3 - u^3D_3^o$		
3413.350	5	-	MF	29288.36	$a^3H_5 - 216$		
3412.800	50	5	MIT	29293.08	$a^5F_3 - z^7P_3^o$		
				or	$a^3P_2 - y^3P_1^o$		
3412.078	30	-	MIT	29299.27	$a^3G_3 - y^1F_3^o$		
3411.636	80	12	MIT	29303.07	$a^5P_2 - z^3P_1^o$	1.571	1.318
3409.568	20	2	MIT	29320.85	$b^3F_2 - x^3D_3^o$		
3409.277	100	40	MIT	29323.36	$a^5P_2 - y^3D_3^o$	1.556	1.380
3407.579	5	-	MF	29337.96	$a^3D_3 - 216$		
3406.917	4	-	MIT	29343.66	$a^3D_1 - u^3D_1^o$		
3406.591	50	3	MIT	29346.47	$a^5F_4 - z^5G_3^o$		
3405.880	50	2	MIT	29352.60	$b^3P_2 - y^1F_3^o$	1.319	0.995
3403.775	8	-	MIT	29370.75	$a^3G_5 - z^3I_6^o$		
3401.739	100	50	MIT	29388.33	$a^5P_1 - y^5P_2^o$	1.984	1.712
3401.505	30	2	MIT	29390.35	$a^3D_1 - w^5D_0^o$	0.673	0/0 n
3400.754	30	1	MIT	29396.84	$a^3P_1 - w^3F_2^o$		
3400.604	10	-	MIT	29398.13	$a^3H_4 - A226$		
3399.974	4	-	MIT	29403.58	$a^3F_2 - z^3S_1^o$		
3399.375	60	3	MIT	29408.76	$a^1G_4 - y^1H_5^o$		
3393.257	3	-	MF	29461.79	$b^3P_2 - y^3S_1^o$		
3392.537	100	40	MIT	29468.04	$a^5F_5 - z^7F_5^o$	1.404	1.478
3392.033	7	-	MIT	29472.51	$a^5P_3 - y^3F_4^o$		
3391.890	50	6	MIT	29473.66	$b^3P_0 - x^3P_1^o$	0/0	1.348n
3390.910	12	-	MF	29482.18	$a^1D_2 - 227$	(1.175)	1.078p
3389.500	60	18	MIT	29494.44	$a^5F_2 - z^3D_2^o$	1.002	1.026up
3388.709	80	20	MIT	29501.32	$b^3F_2 - z^1F_3^o$	0.764	1.136
3387.232	30	2	MIT	29514.19	$a^5D_1 - z^3S_1^o$		
3386.251	30	2	MIT	29522.73	$a^3F_2 - y^5P_3^o$		
3385.707	50	4	MIT	29527.48	$b^3F_1 - v^3D_2^o$	1.435	1.156

<u>λ</u>	<u>Arc</u>	<u>Spk</u>	<u>Auth.</u>	<u>σ</u>	<u>Comb.</u>	<u>Zeeman Effect</u>	
						<u>g_1</u>	<u>g_2</u>
3385.474	8	2	MIT	29529.51	a ⁵ D ₂ - z ³ S ₁ ^o		
3385.385	3	-	MF	29530.29	a ³ G ₄ - w ³ F ₄ ^o		
3385.144	60	35	MIT	29532.39	a ³ G ₅ - x ³ G ₅ ^o	1.194	1.194n
3380.915	10	2	MIT	29569.33	b ³ F ₂ - x ³ D ₁ ^o		
3380.175	60	15	MIT	29575.81	a ⁵ P ₂ - y ³ D ₁ ^o	1.570	0.764
3379.605	60	18	MIT	29580.79	b ³ F ₃ - y ³ G ₃ ^o	1.082	0.888
3379.264	30	2	MIT	29583.78	a ³ F ₃ - x ⁵ D ₂ ^o		
3379.029	20	-	MIT	29585.83	b ³ F ₂ - y ⁵ P ₃ ^o		
3378.020	60	12	MIT	29594.67	a ⁵ F ₅ - z ⁷ F ₄ ^o	(1.397)	1.374n
3376.053	5	-	MIT	29611.92	a ³ P ₂ - y ³ G ₃ ^o		
3374.903	30	1	MIT	29622.00	b ³ F ₃ - z ¹ G ₄ ^o		
3374.646	80	18	MIT	29624.26	a ⁵ P ₂ - x ⁵ D ₂ ^o	1.557	1.447
3373.978	60	4	MIT	29630.12	a ⁵ F ₂ - z ⁷ P ₂ ^o		
3371.860	70	18	MIT	29648.74	a ⁵ D ₂ - y ⁵ P ₃ ^o	1.237	1.631
3369.669	30	2	MIT	29668.01	a ⁵ D ₃ - y ³ F ₄ ^o		
3368.451	100	60	MIT	29678.74	a ⁵ F ₂ - z ³ F ₃ ^o	1.003	1.131
3362.335	50	5h	MIT	29732.73	a ³ D ₃ - u ³ D ₂ ^o	1.333	1.087
3362.003	60	8	MIT	29735.66	b ³ F ₂ - w ³ F ₂ ^o	0.765	0.883
3359.519	2	-	MF	29757.64	a ¹ D ₂ - 230		
3359.095	70	20	MIT	29761.40	a ⁵ F ₃ - z ³ G ₃ ^o	1.245	0.868
3357.157	2	-	MF	29778.58	b ³ F ₃ - y ³ F ₂ ^o		
3356.461	10	-	MIT	29784.76	b ³ F ₃ - y ³ G ₄ ^o		
3356.199	30	3	MIT	29787.08	a ³ D ₁ - B226	0.70	0/0 n
3353.648	50	4	MIT	29809.74	a ³ P ₂ - y ³ F ₂ ^o		
3353.308	30	15	MIT	29812.76	b ³ F ₂ - w ³ F ₃ ^o		
3352.976	6	-	MIT	29815.71	a ³ D ₁ - 227		
3351.932	50	4	MIT	29825.00	a ³ F ₂ - y ⁵ P ₂ ^o	(1.089)	1.716p
3351.710	2	-	MF	29826.97	a ³ H ₅ - 222		
3350.549	12	-	MIT	29837.31	a ³ D ₂ - y ⁵ G ₂ ^o		
3348.705	50	2	MIT	29853.74	a ⁵ F ₄ - z ³ D ₃ ^o	(1.349)	1.207p
3348.012	50	3	MIT	29859.92	b ³ P ₁ - v ³ D ₁ ^o		
3347.613	60	6	MIT	29863.48	b ³ P ₂ - v ³ D ₂ ^o	1.316	1.160
3345.317	60	5	MIT	29883.97	a ⁵ D ₄ - y ³ D ₃ ^o	(1.447)	1.393n
3344.532	60	6	MIT	29890.99	a ⁵ F ₅ - z ³ G ₄ ^o		
3344.266	2	-	MF	29893.37	a ¹ H ₅ - 244		

<u>λ</u>	<u>Arc</u>	<u>Spk</u>	<u>Auth.</u>	<u>σ</u>	<u>Comb.</u>	<u>Zeeman</u>	<u>Effect</u>
						<u>g_1</u>	<u>g_2</u>
3343.451	2	-	MF	29900.65	a^1D_2 - 231		
3342.707	3	-	MIT	29907.31	a^1G_4 - $x^5F_4^o$		
3341.664	70	50	MIT	29916.64	b^3F_4 - $x^3F_4^o$	1.257	1.119
3341.087	50	5	MIT	29921.81	b^3P_1 - $z^1D_2^o$		
3339.552	100	60	MIT	29935.56	a^5D_1 - $y^5P_2^o$ or a^5P_3 - $y^5P_3^o$		
3338.707	30	3	MIT	29943.14	a^5P_2 - 161		
3337.823	60	8	MIT	29951.06	a^5D_2 - $y^5P_2^o$		
3336.639	50	4	MIT	29961.69	a^1G_4 - $w^3G_4^o$		
3335.686	70	12	MIT	29970.35	a^3P_1 - $w^3D_2^o$	1.685	1.179
3332.643	60	5	MIT	29997.62	a^3F_4 - $x^5D_4^o$	1.276	1.481
3332.320	3	Oh	MIT	30000.53	a^1D_2 - A231		
3332.052	60	10	MIT	30002.94	$z^7P_3^o$ - 63		
3328.456	12	-	MIT	30035.35	b^3F_2 - $x^3F_3^o$		
3327.708	50	6	MIT	30042.10	$z^5G_4^o$ - 63		
3324.995	60	12	MIT	30066.61	a^5F_1 - $z^3F_2^o$ or a^1H_5 - B244	0.000	1.020
3323.244	tr	-	MIT	30082.45	a^3D_3 - 225		
3321.254	12	-	MIT	30100.48	a^1G_4 - $y^5G_3^o$		
3319.808	6	-	MIT	30113.59	b^3F_3 - $x^3D_3^o$		
3319.524	10	-	MIT	30116.16	a^5F_3 - $z^3D_2^o$		
3318.908	12	3	MIT	30121.76	a^5P_1 - $y^3P_1^o$		
3318.822	50	8	MIT	30122.53	a^1G_4 - 211		
3317.888	50	12	MIT	30131.02	a^5D_3 - $y^5P_3^o$	1.428	1.635
3316.902	5	50	MIT	30139.97	a^3G_5 - $w^3F_4^o$		
3316.386	80	-	MIT	30144.66	a^3P_2 - $x^3D_3^o$	1.533	1.158
3315.442	30	5	MIT	30153.24	a^5P_1 - $y^5P_1^o$		
3315.228	60	25	MIT	30155.19	a^5F_4 - $z^5G_4^o$	1.340	1.111
3315.047	50	12	MIT	30156.84	a^5P_2 - $x^5D_1^o$	1.56	1.56
3314.774	20	1	MIT	30159.32	a^3F_3 - $y^3F_4^o$		
3312.329	2	-	MF	30181.58	a^3G_4 - $y^1F_3^o$		
3310.957	30	5	MIT	30194.09	a^5F_4 - $z^7P_3^o$	1.356	1.906
3310.086	4	-	MIT	30202.03	a^1D_2 - $w^3F_2^o$		
3309.825	4	-	MIT	30204.41	a^3G_3 - $z^1D_2^o$		
3309.223	tr	-	MF	30209.91	a^3D_3 - 226		

<u>λ</u>	<u>Arc</u>	<u>Spk</u>	<u>Auth.</u>	<u>σ</u>	<u>Comb.</u>	<u>Zeeman</u>	<u>Effect</u>
						g_1	g_2
3308.626	10	-	MIT	30215.36	$a^3F_4 - x^5D_3^o$		
3307.984	50	-	MIT	30221.22	$a^3P_1 - x^3D_2^o$		
3306.172	60	12	MIT	30237.79	$a^5P_3 - y^5P_2^o$	(1.624)	1.702n
3305.655	4	-	MF	30242.52	$a^3H_4 - 234$		
3304.825	50	3	MIT	30250.11	$a^3F_2 - y^3F_3^o$		
3304.639	6	-	MIT	30251.81	$a^5F_3 - z^7P_2^o$		
3304.507	12	2	MIT	30253.02	$b^3P_1 - x^3P_2^o$	1.42	1.42 n
3304.303	3	-	MF	30254.89	$a^3H_5 - A226$		
3303.995	60	8	MIT	30257.71	$b^3P_2 - z^1D_2^o$	1.317	1.028
3302.187	6	-	MF	30274.28	$a^5P_1 - y^3P_0^o$		
3301.911	30	8	MIT	30276.80	$a^3G_3 - 204$		
3301.587	70	40	MIT	30279.78	$a^5F_5 - z^5G_5^o$	1.396	1.268
3299.791	3	-	MIT	30296.26	$a^5P_1 - y^3P_1^o$		
3299.334	50	4	MIT	30300.45	$a^5F_3 - z^3F_3^o$		
3298.411	50	25R	MIT	30308.93	$b^3F_2 - w^3D_2^o$		
3297.955	50	6	MIT	30313.11	$b^3F_4 - y^3F_3^o$	1.250	00959
3297.258	50	4	MIT	30319.53	$b^3P_1 - x^3P_0^o$		
3296.649	50	5	MIT	30325.13	$a^3P_2 - z^1F_3^o$		
3296.111	50	10	MIT	30330.08	$b^3P_2 - 204$		
3294.110	60	200	MIT	30348.50	$a^5F_5 - z^3F_4^o$	1.40	1.30
3291.659	12	-	MIT	30371.10	$a^1G_4 - w^5D_3^o$		
3291.117	20	-	MIT	30376.10	$a^5D_2 - y^3F_3^o$		
3285.910	4	-	MIT	30424.24	$a^5D_0 - y^3P_1^o$		
3284.932	30	5	MIT	30433.29	$a^5D_3 - y^5P_2^o$	1.40	1.69
3282.607	2	-	MF	30454.85	$a^3H_5 - w^3F_4^o$		
3281.866	3	1	MF	30461.72	$a^5D_3 - x^3F_4^o$		
3280.47	3	-	E+H	30474.69	$a^5F_1 - z^3D_1^o$		
3277.567	30	12	MIT	30501.68	$a^1G_4 - x^5F_3^o$	(0.992)	1.059
3277.345	3	1	MF	30503.74	$a^5D_4 - 161$		
3274.706	60	25	MIT	30528.32	$b^3F_3 - w^3F_2^o$	1.087	0.891
3273.621	2	5	MIT	30538.44	$a^3H_4 - A235$		
3273.078	60	20	MIT	30543.51	$a^5P_2 - z^3S_1^o$	1.56	1.56 n
3268.208	60	12	MIT	30589.02	$b^3P_2 - x^3P_0^o$	1.32	1.42
3268.106	3	-	MF	30589.98	$a^3F_2 - y^5P_1^o$		
3266.445	50	9	MIT	30605.53	$b^3F_3 - w^3F_2^o$	1.090	1.230

<u>λ</u>	Arc	Spk	Auth.	<u>σ</u>	Comb.	Zeeman Effect	
						<u>g_1</u>	<u>g_2</u>
3264.663	30	6	MIT	30622.23	a ³ F ₃ - y ⁵ P ₃ ^o		
3264.550	30	5	MIT	30623.30	a ⁵ F ₁ - y ⁵ D ₂ ^o		
3263.853	30	3	MIT	30629.83	a ³ P ₁ - z ¹ P ₁ ^o		
3263.148	3	-	MF	30636.45	a ³ P ₂ - w ³ F ₃ ^o		
3261.129	30	3	MIT	30655.42	b ³ P ₂ - x ³ P ₁ ^o		
3260.353	100	50	MIT	30662.71	a ⁵ P ₂ - y ⁵ P ₃ ^o		
				or	a ⁵ P ₃ - y ³ F ₃ ^o		
3260.167	12	-	MIT	30664.46	a ¹ G ₄ - A214		
3259.667	60	9	MIT	30669.17	a ⁵ D ₁ - y ³ P ₂ ^o		
3258.04	15	8	MIT	30684.48	a ⁵ D ₂ - y ³ P ₂ ^o		
3256.620	3	-	MF	30697.86	a ⁵ D ₃ - z ³ H ₄ ^o		
3256.331	50	3	MIT	30700.59	a ⁵ D ₁ - y ⁵ P ₁ ^o	1.791	2.318
3254.708	50	9	MIT	30715.89	a ⁵ D ₂ - y ⁵ P ₁ ^o	1.229	2.312
3254.542	50	9	MIT	30717.46	a ⁵ F ₂ - y ⁵ D ₃ ^o	1.001	1.495
3252.905	20	-	MIT	30732.92	a ³ F ₂ - y ³ P ₁ ^o		
3252.539	12	-	MIT	30736.37	a ³ D ₂ - w ⁵ D ₂ ^o		
3251.890	30	3	MIT	30742.51	a ³ G ₃ - x ³ G ₃ ^o	0.76	0.76 n
3251.329	30	3	MIT	30747.81	a ³ P ₁ - x ³ F ₂ ^o		
3250.465	5	-	MF	30755.99	a ³ D ₃ - 231		
3250.009	30	3	MIT	30760.30	a ⁵ D ₄ - y ³ F ₄ ^o	(1.447)	1.108p
3248.843	5	-	MIT	30771.34	a ³ G ₅ - z ³ I ₅ ^o		
				or	a ³ H ₄ - A237		
3246.273	2	-	MF	30795.70	b ³ P ₂ - x ³ G ₃ ^o		
3244.456	6	-	MIT	30812.97	a ⁵ P ₁ - y ³ F ₂ ^o		
3244.341	5	-	MIT	30814.04	a ⁵ D ₄ - z ³ H ₅ ^o		
3243.498	70	12	MIT	30822.05	a ³ F ₄ - y ³ D ₃ ^o	1.280	1.375
3242.848	20	-	MIT	30828.23	b ³ F ₃ - x ³ F ₃ ^o		
				or	a ¹ G ₄ - 216		
3242.165	80	-	MIT	30834.72	a ³ P ₁ - z ¹ S ₀ ^o	1.684	0/0 n
3241.235	60	12	MIT	30843.57	a ⁵ D ₁ - y ³ P ₁ ^o	1.792	1.605
3239.929	3	-	MF	30856.00	a ³ D ₃ - A231		
3239.695	25	1h	MF	30858.23	a ⁵ D ₃ - y ³ F ₃ ^o		
3239.605	50	5	MIT	30859.09	a ³ P ₂ - x ³ F ₃ ^o	1.541	1.285
3238.775	50	1	MIT	30866.99	a ⁵ F ₂ - z ³ D ₁ ^o		

<u>λ</u>	<u>Arc</u>	<u>Spk</u>	<u>Auth.</u>	<u>σ</u>	<u>Comb.</u>	<u>Zeeman</u>	<u>Effect</u>
						<u>g_1</u>	<u>g_2</u>
3238.527	100	45	MIT	30869.36	a ³ D ₂ - u ³ D ₂ ^o	1.167	1.095up
3233.522	4	-	MF	30917.14	a ³ H ₅ - B231		
3232.751	50	4	MIT	30924.51	a ³ F ₃ - y ⁵ P ₂ ^o	1.196	1.715
3232.594	2	-	MF	30926.01	a ³ G ₄ - y ⁵ G ₅ ^o		
3230.617	3	1	MF	30944.89	a ³ H ₆ - A226		
3229.760	4	1	MF	30953.09	a ³ F ₃ - x ³ F ₄ ^o		
3228.760	4	-	MF	30962.74	a ³ G ₃ - w ³ G ₄ ^o		
3228.530	50	150	MIT	30964.94	a ⁵ P ₂ - y ⁵ P ₂ ^o		
3228.157	12	4	MIT	30968.52	b ³ F ₂ - z ¹ P ₁ ^o		
3227.885	20	10	MIT	30971.13	a ⁵ P ₃ - y ³ P ₂ ^o	1.626	1.298
3226.374	50	12	MIT	30985.63	a ⁵ F ₁ - y ⁵ D ₁ ^o	0.000	1.515
3224.651	4	-	MIT	31002.19	a ³ D ₂ - u ³ D ₁ ^o		
3223.274	60	35	MIT	31015.43	a ⁵ F ₂ - y ⁵ D ₂ ^o	0.998	1.478
3220.77	2	-	K	3Lo39.55	z ³ F ₄ ^o - 63		
3220.069	4	3	MIT	31046.30	a ³ G ₄ - y ⁵ G ₄ ^o		
3219.129	tr	-	MF	31055.37	a ¹ G ₄ - w ³ G ₅ ^o		
3217.503	tr	-	MF	31071.06	a ³ D ₃ - 233		
3216.523	12	6	MIT	31080.56	a ⁵ F ₃ - z ³ F ₂ ^o		
3215.897	4	2	MF	31086.57	b ³ F ₂ - x ³ F ₂ ^o		
3214.322	3	-	MF	31101.64	b ³ F ₃ - w ³ D ₂ ^o		
				or	a ³ G ₃ - y ⁵ G ₃ ^o		
3212.969	10	6	MIT	31114.90	b ³ F ₄ - y ³ G ₃ ^o	1.256	0.886
3212.038	4	0	MF	31123.92	a ³ G ₃ - 211		
3211.130	tr	-	MF	31132.72	a ³ P ₂ - w ³ D ₂ ^o		
3210.17	2	-	E+H	31142.03	a ³ P ₀ - w ³ D ₁ ^o		
3208.74	1	-	S	31155.95	b ³ F ₄ - z ¹ G ₄ ^o		
3208.41	3	-	S	31159.15	a ³ G ₄ - 204		
3207.751	0	-	M	31166.51	a ⁵ D ₃ - y ³ P ₂ ^o		
3206.473	tr	-	MF	31177.94	a ⁵ D ₂ - y ³ G ₃ ^o		
3205.312	4	1	MIT	31189.23	a ³ F ₃ - z ³ H ₄ ^o		
3204.060	8	5	MIT	31201.42	a ⁵ F ₄ - z ³ F ₃ ^o		
3201.499	4	5	MIT	31226.37	b ³ F ₃ - w ³ D ₃ ^o		
3201.258	2	100	MIT	31228.73	b ³ P ₀ - u ³ D ₁ ^o		
3199.108	2	-	MF	31249.71	a ³ F ₂ - y ³ F ₂ ^o		
3198.327	3	-	MIT	31257.34	a ³ P ₂ - w ³ D ₃ ^o		

<u>λ</u>	<u>Arc</u>	<u>Spk</u>	<u>Auth.</u>	<u>σ</u>	<u>Comb.</u>	<u>Zeeman</u>	<u>Effect</u>
						<u>g_1</u>	<u>g_2</u>
3196.591	50	2	MIT	31274.32	a ⁵ F ₁ - y ⁵ D ₀	0.00	0/0 n
3194.738	4	1	MIT	31292.31	a ³ G ₄ - y ¹ H ₅	1.03	1.03 n
3193.397	4	-	MF	31304.51	a ¹ H ₅ - 245	(1.007)	1.094p
3193.149	2	-	MF	31308.03	a ³ H ₄ - 241		
3192.069	10	5	MIT	31318.62	b ³ F ₄ - y ³ G ₄	1.253	1.196up
3191.776	3	1	MIT	31321.49	a ³ P ₁ - y ³ S ₁		
3189.976	50	50	MIT	31339.17	a ⁵ F ₃ - y ⁵ D ₃	1.251	1.498
3189.296	3	-	MIT	31345.85	a ⁵ F ₅ - z ⁵ G ₄		
3188.907	4	3	MIT	31349.59	a ³ F ₃ - y ³ F ₃		
3188.609	3	5	MIT	31352.60	b ³ F ₃ - x ³ D ₀		
3188.338	60	50	MIT	31355.27	a ⁵ F ₃ - y ⁵ D ₄		
3187.932	4	-	MF	31359.17	a ⁵ F ₂ - z ⁵ P ₃		
3187.813	tr	-	MF	31360.43	a ⁵ D ₁ - y ³ F ₂		
3186.594	3	-	MF	31372.43	a ³ G ₃ - w ⁵ D ₃		
3186.044	80	25	MIT	31377.84	a ⁵ F ₂ - y ⁵ D ₁	0.998	1.515
3185.442	12	-	MIT	31383.77	a ³ P ₂ - x ³ D ₂		
3183.147	3	-	MF	31406.40	a ³ H ₄ - B241		
3181.187	4	-	MIT	31425.75	b ³ P ₂ - w ⁵ D ₃		
3179.264	50	50R	MIT	31444.76	a ³ D ₃ - A235	1.325	1.055
3179.031	3	-	MF	31447.06	b ³ F ₂ - w ³ D ₁		
					or a ¹ D ₂ - A241	(1.175)	1.143n
3176.292	50	3	MIT	31474.18	a ³ D ₂ - 227		
3174.131	50	3	MIT	31495.61	b ³ F ₄ - z ¹ H ₅	1.251	1.020
3173.399	30	-	MIT	31502.87	a ³ G ₃ - x ⁵ F ₃		
3173.110	30	-	MIT	31505.74	a ⁵ P ₃ - z ¹ G ₄		
3171.239	20	-	MIT	31524.28	a ⁵ D ₀ - x ³ D ₁	0/0	0.886n
3170.093	30	-	MIT	31535.72	a ³ G ₅ - y ⁵ G ₅	(1.190)	1.272p
3168.525	100	25R	MIT	31551.33	b ³ F ₂ - y ¹ F ₃	0.757	0.994
3168.239	40	-	MIT	31554.17	a ⁵ D ₄ - x ³ F ₄		
3167.816	12	-	MF	31558.39	a ¹ D ₂ - C242		
3167.378	3	-	MIT	31562.75	a ⁵ P ₁ - w ³ F ₂		
3166.356	tr	-	MF	31572.94	a ¹ G ₄ - 225		
3165.194	15	-	MF	31584.53	a ³ F ₂ - x ³ D ₃		
3163.828	10	-	MIT	31598.16	a ³ D ₃ - B235		

<u>λ</u>	<u>Arc</u>	<u>Spk</u>	<u>Auth.</u>	<u>σ</u>	<u>Comb.</u>	<u>Zeeman</u>	<u>Effect</u>
						<u>g_1</u>	<u>g_2</u>
3160.940	2	-	MF	31627.03	a ³ D ₃ - 237		
3159.923	70	25	MIT	31637.21	a ⁵ F ₃ - y ⁵ D ₂	1.250	1.481
3158.889	60	12	MIT	31647.57	b ³ F ₄ - x ³ D ₃	1.258	1.170
3158.060	2	-	MF	31655.87	a ³ G ₅ - y ⁵ G ₄		
3157.846	40	-	MF	31658.02	a ³ F ₃ - y ³ P ₂		
3157.627	30	-	MIT	31660.22	b ³ F ₂ - y ³ S ₁		
3157.419	30	1	MIT	31662.30	a ⁵ P ₂ - y ³ F ₂		
3157.081	60	-	MF	31665.69	a ³ G ₃ - A214		
3156.817	50	-	MIT	31668.34	a ⁵ P ₃ - y ³ G ₄		
3155.881	3	-	MF	31667.73	a ³ D ₃ - A237		
3154.434	30	-	MIT	31692.26	b ³ F ₃ - w ³ F ₄		
				or	a ³ D ₂ - w ³ F ₃		
3153.823	60	12	MIT	31698.40	a ⁵ P ₂ - y ³ P ₂	1.561	1.309
				or	a ³ F ₄ - y ³ F ₄		
3153.595	2	-	MF	31700.69	b ³ P ₀ - 227		
3152.608	tr	-	MF	31710.62	a ⁵ D ₂ - x ³ D ₃		
3153.353	100	6	MIT	31723.25	a ³ P ₁ - v ³ D ₂		
				or	a ¹ D ₂ - A242		
3150.693	60	60	MIT	31729.85	a ⁵ P ₂ - y ⁵ P ₁		
3148.485	30	-	MIT	31752.14	a ³ F ₄ - z ³ H ₅		
3147.208	50	3	MIT	31765.02	a ³ F ₂ - z ¹ F ₃		
3146.067	30	20	MIT	31776.55	a ⁵ F ₁ - z ⁵ P ₂ ?		
3144.720	4	-	MIT	31790.16	a ⁵ D ₄ - z ³ H ₄		
3144.649	3	-	MF	31790.87	a ³ G ₄ - x ⁵ F ₄		
3144.508	4	-	MF	31792.30	a ³ P ₂ - z ¹ P ₁		
3144.260	60	8	MIT	31794.81	a ¹ G ₄ - A226	(0.992)	1.022n
3142.891	3	-	MF	31808.65	b ³ P ₁ - w ⁵ D ₂		
3142.533	7	-	MF	31812.28	a ³ D ₃ - 238		
3140.973	60	6	MIT	31828.08	b ³ F ₄ - z ¹ F ₃	1.263	1.142
3140.484	50	-	MIT	31833.03	a ³ F ₂ - x ³ D ₁	1.094	0.898
3140.084	8	-	MIT	31837.09	a ³ H ₄ - A243		
3139.272	20	-	MIT	31845.32	a ³ G ₄ - w ³ G ₄		
3138.760	10	-	MIT	31850.52	a ³ G ₃ - w ³ G ₃		
3136.909	6	-	MIT	31869.31	a ³ H ₅ - 239		
3136.555	60	6	MIT	31872.90	a ⁵ P ₂ - y ³ P ₁		

<u>λ</u>	<u>Arc</u>	<u>Spk</u>	<u>Auth.</u>	<u>σ</u>	<u>Comb.</u>	<u>Zeeman Effect</u>	
						<u>g_1</u> <u>g_2</u>	
3135.924	12	-	MIT	31879.32	b ³ F ₃ - x ³ F ₂ ^o		
3135.078	2	-	MF	31887.92	a ¹ D ₂ - A243		
3134.631	tr	-	MF	31892.47	a ³ D ₂ - 231		
3133.697	12	-	MIT	31901.97	a ³ G ₅ - y ¹ H ₅ ^o		
3132.878	60	5	MIT	31910.31	a ³ P ₂ - x ³ F ₂ ^o	1.550	1.029
3129.837	60	4	MIT	31941.32	a ⁵ F ₁ - z ⁵ P ₀ ^o	0:000	2.383
3129.604	50	1	MIT	31943.70	a ⁵ D ₁ - x ³ D ^o		
3128.939	2	-	MF	31950.48	a ⁵ D ₄ - y ³ F ₃ ^o		
3128.106	3	-	MF	31958.99	a ⁵ D ₂ - x ³ D ^o		
3127.266	3	-	MF	31967.57	a ⁵ D ₄ - y ³ G ₅ ^o		
3126.608	12	50	MIT	31974.30	a ³ D ₃ - 240		
3125.963	70	12	MIT	31980.90	a ⁵ F ₃ - z ⁵ P ₃ ^o	1.248	1.647
3124.607	50	2	MIT	31994.78	a ¹ G ₄ - w ³ F ₄ ^{o?}		
3124.366	30	2	MIT	31997.25	a ⁵ P ₃ - x ³ D ^o		
3124.167	60	8	MIT	31999.31	a ³ F ₂ - w ³ F ₂ ^o		
3123.509	4	-	MF	32006.03	a ³ G ₄ - 211		
3120.543	10	-	MIT	32036.44	a ³ G ₅ - w ⁵ D ₄ ^o		
3118.685	50	3	MIT	32055.53	a ³ P ₁ - v ³ D ₁ ^o		
3118.071	50	50	MIT	32061.84	b ³ F ₂ - v ³ D ₂ ^o	0.72	1.16
3117.623	5	-	MF	32066.45	a ³ D ₁ - 243		
3117.464	3	-	MF	32068.09	a ³ H ₄ - C243		
3116.839	30	-	MIT	32074.52	b ³ P ₁ - u ³ D ₁ ^o		
3116.658	30	-	MIT	32076.38	a ³ F ₂ - w ³ F ₃ ^o		
3115.452	3	-	MIT	32088.79	a ³ P ₀ - v ³ D ^o		
3113.397	50	-	MIT	32109.97	a ⁵ D ₁ - w ³ F ₂ ^o		
3112.677	50	3	MIT	32117.40	a ³ P ₁ - z ¹ D ₂ ^o		
					or a ³ F ₂ - 186		
3112.304	30	-	MIT	32121.25	b ³ P ₁ - w ⁵ D ₀ ^o		
3111.912	50	5	MIT	32125.30	a ⁵ D ₂ - w ³ F ₂ ^o	1.232	0.892
3110.549	60	6	MIT	32139.37	b ³ F ₄ - w ³ F ₃ ^o		
3110.042	4	-	MF	32144.61	b ³ P ₂ - w ⁵ D ₂ ^o		
3109.403	20	-	MIT	32151.22	a ³ F ₃ - y ³ G ₃ ^o		
3108.426	30	-	MIT	32161.32	a ³ F ₄ - y ⁵ P ₃ ^o		
3107.715	60	5	MIT	32168.68	a ⁵ P ₂ - z ⁵ P ₀ ^o		
3106.840	50	3	MIT	32177.74	a ⁵ P ₃ - z ¹ F ₃ ^o		

<u>λ</u>	Arc	Spk	Auth.	<u>σ</u>	Comb.	Zeeman Effect	
						<u>g_1</u>	<u>g_2</u>
3105.496	2	-	MF	32191.67	a ⁵ P ₂ - y ³ G ₃ ^o		
3105.411	50	1	MIT	32192.55	a ³ F ₃ - z ¹ G ₄ ^o		
				or	a ⁵ D ₃ - x ⁵ D ₃ ^o		
3105.283	50	40	MIT	32193.87	a ³ D ₂ - w ³ F ₂ ^o	11.164	0.702
3104.464	30	-	MIT	32202.37	a ⁵ D ₂ - w ³ F ₃ ^o		
3103.748	2	-	MF	32209.79	b ³ P ₁ - w ⁵ D ₁ ^o		
3100.839	70	.50	MIT	32240.01	a ⁵ F ₄ - y ⁵ D ₃ ^o	1.350	1.508
3100.249	2	-	MF	32246.15	a ¹ G ₄ - 231		
3099.283	70	60	MIT	32256.19	a ⁵ F ₄ - y ⁵ D ₄ ^o		
3098.605	3	0	MF	32263.25	a ³ H ₅ - B241		
3097.879	6	15	MIT	32270.81	a ³ P ₂ - w ³ D ₁ ^o		
3097.231	30	-	MIT	32277.57	b ³ P ₂ - u ³ D ₂ ^o		
3096.568	70	60	MIT	32284.47	a ³ G ₅ - C208	(1.190)	1.164n
3091.873	50	5	MIT	32333.50	a ⁵ F ₂ - z ⁵ P ₁ ^o	1.001	2.388
3090.897	30	1	MIT	32343.71	b ³ F ₃ - y ¹ F ₃ ^o		
3090.379	12	1h	MF	32349.13	a ³ F ₃ - y ³ F ₂ ^o		
3089.801	60	5	MIT	32355.18	a ³ F ₃ - y ³ G ₄ ^o	1.19	1.19 n
3089.145	60	12	MIT	32362.05	b ³ F ₄ - x ³ F ₃ ^o		
3088.075	30	2wh	MIT	32373.26	a ⁵ D ₃ - z ¹ F ₃ ^o		
3087.917	4	-	MIT	32374.92	a ³ P ₂ - y ¹ F ₃ ^o		
3086.930	30	1	MIT	32385.27	a ³ G ₄ - x ⁵ F ₃ ^o		
3086.784	8	-	MIT	32386.80	a ⁵ P ₁ - x ³ D ₂ ^o		
3086.520	30	40	MIT	32389.57	a ⁵ P ₂ - y ³ F ₂ ^o		
3086.067	60	6	MIT	32394.33	b ³ F ₂ - v ³ D ₁ ^o		
3085.469	4	-	MIT	32400.60	a ³ G ₅ - x ⁵ F ₄ ^o		
3084.881	5	-	MF	32406.78	a ³ D ₃ - B242		
3084.629	3	-	MF	32409.43	a ¹ D ₂ - F243		
3084.526	30	2	MIT	32410.51	b ³ P ₂ - u ³ D ₁ ^o	1.315	1.116
3083.148	50	3	MIT	32425.00	a ⁵ D ₂ - x ³ F ₃ ^o		
3080.900	50	6	MIT	32448.65	a ³ P ₁ - x ³ P ₂ ^o		
3080.193	30	-	MIT	32456.10	b ³ F ₂ - z ¹ D ₂ ^o	0.75	1.01
3078.693	2	-	MF	32471.91	a ³ D ₂ - C235		
3077.552	30	1	MIT	32483.95	a ³ P ₂ - y ³ S ₁ ^o	(1.534)	1.528n
3077.063	30	40	MIT	32489.11	a ⁵ P ₃ - w ³ F ₃ ^o		
3076.777	50	3	MIT	32492.13	a ³ F ₄ - x ³ F ₄ ^o		

<u>λ</u>	<u>Arc</u>	<u>Spk</u>	<u>Auth.</u>	<u>σ</u>	<u>Comb.</u>	<u>Zeeman Effect</u>
						<u>g_1</u> <u>g_2</u>
3076.669	3	-	MF	32493.28	a ³ D ₂	- D235
3073.336	50	5	MIT	32528.51	b ³ F ₂	- 204
3071.735	tr	-	MF	32545.46	b ³ P ₂	- w ⁵ D ₁ ?
3071.642	3	-	MF	32546.45	b ³ P ₁	- 227
3071.499	20	-	MIT	32547.96	a ³ G ₄	- A214
3069.184	30	1	MIT	32572.51	a ³ F ₂	- w ³ D ₂
3069.043	2	-	MF	32574.01	a ³ G ₃	- 225
3067.679	3	-	MF	32588.49	a ³ D ₃	- 243
3065.897	4	-	MF	32607.37	a ⁵ D ₃	- w ³ F ₂
3064.838	70	60	MIT	32618.70	b ³ F ₄	- x ³ G ₅
3062.932	2	-	MF	32639.00	a ¹ G ₄	- 234
3061.043	tr	-	MF	32659.14	a ³ G ₄	- u ³ D ₃
3058.786	30	3	MIT	32683.23	a ⁵ D ₁	- w ³ D ₂
3058.655	30	3	MIT	32684.64	a ⁵ D ₃	- w ³ F ₃
3057.342	30	2	MIT	32698.67	a ⁵ D ₂	- w ³ D ₂
3056.136	20	-	MF	32711.57	a ⁵ P ₃	- x ³ F ₃
3054.937	70	12	MIT	32724.41	a ⁵ P ₂	- x ³ D ₃
3054.580	2	-	MF	32728.24	a ³ F ₄	- z ³ H ₄
3052.342	8	-	MIT	32752.23	a ⁵ D ₄	- y ³ G ₃
3052.089	3	-	MF	32755.06	a ³ G ₃	- 236
3051.597	30	-	MIT	32760.23	b ³ F ₄	- w ³ D ₃
3049.075	6	-	MIT	32787.33	b ³ F ₂	- x ³ P ₂
3048.785	60	9	MIT	32790.44	a ⁵ F ₃	- z ⁵ P ₂
3048.495	50	5	MIT	32793.56	a ⁵ D ₄	- z ¹ G ₄
3048.314	7	-	MF	32795.51	a ⁵ P ₁	- z ¹ P ₁
3046.562	tr	-	MF	32814.37	a ³ D ₂	- A237
3045.869	2	-	MF	32821.83	b ³ P ₁	- 230
3045.710	60	12	MIT	32823.55	a ³ F ₂	- x ³ D ₂
3045.515	3	-	MF	32825.65	a ¹ G ₄	- C235
3043.060	40	0	MF	32852.13	a ³ H ₄	- 244
3042.831	60	5	MIT	32854.60	b ³ F ₃	- v ³ D ₂
3042.475	70	12	MIT	32858.45	a ⁵ F ₁	- v ⁵ F ₂
3041.919	30	1	MIT	32864.45	a ³ F ₃	- z ¹ F ₃
3040.310	60	10	MIT	32881.84	a ⁵ F ₄	- z ⁵ P ₃
3039.961	30	2	MIT	32885.62	a ³ P ₂	- v ³ D ₂

(1.255) 1.205n

11.239 1.192up

1.559 1.157

1.248 1.810

1.083 1.006

0.000 1.070

1.347 1.648

<u>λ</u>	<u>Arc</u>	<u>Spk</u>	<u>Auth.</u>	<u>σ</u>	<u>Comb.</u>	<u>Zeeman</u>	<u>Effect</u>
						g_1	g_2
3039.684	12	-	MIT	32881.64	a ³ F ₄ - y ³ F ₃ ^o		
3038.176	80	5	MIT	32904.94	a ⁵ P ₂ - z ¹ F ₃ ^o	1.58	1.14
3037.964	50	5	MIT	32907.23	a ⁵ D ₃ - x ³ F ₃ ^o		
3036.466	50	150	MIT	32923.47	a ⁵ D ₀ - z ¹ P ₁ ^o		
3036.349	2	-	MF	32924.74	a ³ H ₅ - C243 or a ¹ D ₂ - E244		
3035.473	60	4	MIT	32934.24	a ⁵ D ₁ - x ³ D ₂ ^o		
3034.060	60	5	MIT	32949.58	a ⁵ D ₂ - x ³ D ₂ ^o	1.233	1.005
3033.451	70	10	MIT	32956.19	a ⁵ D ₄ - y ³ G ₄ ^o	1.448	1.197
3031.914	30	-	MIT	32972.90	a ⁵ P ₂ - x ³ D ₁ ^o		
3031.792	2	-	MF	32974.22	a ³ D ₃ - C243		
3031.122	20	-	MF	32981.52	b ³ P ₀ - 236		
3030.781	30	2	MIT	32985.22	a ⁵ P ₃ - w ³ D ₂ ^o	1.633	1.190
3029.961	2	-	MF	32994.15	b ³ F ₂ - x ³ G ₂ ^o		
3029.385	10	-	MF	33000.42	a ⁵ P ₁ - z ¹ S ₀ ^o		
3027.084	20	-	MIT	33025.51	a ³ H ₄ - B244		
3025.099	8	-	MIT	33047.17	a ³ G ₃ - w ³ F ₃ ^o		
3020.882	60	40	MIT	33093.30	a ⁵ F ₂ - w ⁵ F ₃ ^o	1.001	1.275
3020.241	4	-	MF	33100.33	b ³ P ₂ - w ³ F ₃ ^o		
3019.371	20	-	MIT	33109.87	a ⁵ P ₃ - w ³ D ₃ ^o		
3019.303	25	-	MF	33110.61	a ³ D ₂ - 240		
3017.236	100	50	MIT	33133.29	a ⁵ F ₁ - w ⁵ F ₃ ^o	0.000	0.143
					or a ⁵ D ₄ - z ¹ H ₅ ^o		
3016.697	4	-	MIT	33139.21	a ⁵ P ₂ - w ³ F ₂ ^o		
3015.026	3	-	MF	33157.58	a ³ G ₅ - A214		
3014.088	5	-	MF	33167.90	a ¹ G ₄ - A237		
3013.359	60	5	MIT	33175.92	a ³ F ₃ - w ³ F ₃ ^o	1.198	1.232
3012.916	60	4	MIT	33180.80	a ⁵ D ₃ - w ³ D ₂ ^o	1.418	1.181
3010.42	-	1	E+H	33208.31	b ³ F ₃ - y ⁵ G ₄ ^o		
3009.694	20	-	MIT	33216.32	a ⁵ P ₂ - w ³ F ₃ ^o		
3008.796	50	5	MIT	33226.23	b ³ F ₄ - w ³ F ₄ ^o	1.25	1.25 n
3008.259	50	3	MIT	33232.16	a ³ F ₂ - z ¹ P ₁ ^o	1.094	0.965
3007.872	6	-	MF	33236.34	a ⁵ P ₃ - x ³ D ₂ ^o		
3006.590	70	15	MIT	33250.61	a ³ G ₄ - 222 or a ⁵ F ₂ - w ⁵ F ₃ ^o		
						1.001	1.068

<u>λ</u>	<u>Arc</u>	<u>Spk</u>	<u>Auth.</u>	<u>σ</u>	<u>Comb.</u>	<u>Zeeman Effect</u>
						<u>g_1</u> <u>g_2</u>
3005.973	12	-	MIT	33257.43	a ⁵ P ₂	- 186
3004.471	5	-	MF	33274.06	a ⁵ P ₁	- w ³ D ₁ ^o
3003.961	12	-	MF	33279.71	a ⁵ P ₂	- z ¹ D ₂ ^o
3003.485	30	-	MIT	33284.98	a ⁵ D ₄	- x ³ D ₃ ^o
3002.067	6	-	MIT	33300.70	b ³ P ₂	- 231
3001.642	60	5	MIT	33305.41	a ⁵ D ₃	- w ³ D ₃ ^o
3000.227	30	1	MIT	33321.13	b ³ F ₃	- 204
2997.615	30	5	MIT	33350.16	a ³ F ₂	- x ³ F ₂ ^o
2997.426	30	5	MIT	33352.26	a ³ P ₂	- 204
2997.318	12	0	MF	33353.46	b ³ F ₂	- y ⁵ G ₃ ^o
2996.895	60	5	MIT	33358.17	a ⁵ D ₂	- z ¹ P ₁ ^o
2994.964	80	40	MIT	33379.68	a ⁵ F ₃	- x ⁵ F ₄ ^o
2993.272	60	9	MIT	33398.55	a ³ F ₃	- x ³ F ₃ ^o
2992.957	12	1	MIT	33402.06	a ⁵ D ₀	- w ³ D ₁ ^o
2990.291	30	1	MIT	33431.84	a ⁵ D ₃	- w ³ D ₃ ^o
2989.655	30	2	MIT	33438.95	a ⁵ P ₂	- x ³ F ₃ ^o
					or a ³ D ₂	- A241
2988.948	250	100	MIT	33446.86	a ⁵ F ₅	- y ⁵ D ₄ ^o
2988.094	8	-	MIT	33456.42	a ³ G ₄	- 225
2987.932	10	-	MF	33458.23	a ³ G ₃	- B231
2987.705	30	-	MIT	33460.77	a ⁵ D ₁	- x ³ F ₂ ^o
2986.335	20	25wh	MIT	33476.12	a ⁵ D ₂	- x ³ F ₂ ^o
2981.935	60	3	MIT	33525.52	a ⁵ F ₂	- x ⁵ F ₁ ^o
2979.959	60	80	MIT	33547.75	a ⁵ D ₁	- z ¹ S ₀ ^{o?}
2979.874	4	-	MF	33548.70	a ³ G ₅	- w ³ G ₅ ^o
					or a ³ G ₃	- w ³ F ₂ ^o
2979.72	30	40	MIT	33550.44	a ³ D ₂	- C242
2978.380	6	-	MIT	33565.53	b ³ P ₁	- D235
2977.100	5	-	MF	33579.96	b ³ F ₃	- x ³ P ₀
2976.925	60	5	MIT	33581.93	a ⁵ F ₄	- x ⁵ F ₅ ^o
2975.133	2	-	MF	33602.16	b ³ P ₂	- w ³ F ₂ ^o
2974.335	30	2	MIT	33611.18	a ³ P ₂	- x ³ P ₀
2973.991	50	5	MIT	33615.06	a ⁵ D ₀	- y ³ S ₁ ^o
2972.998	15	-	MF	33626.29	a ³ D ₁	- G244
2971.771	10	15	MIT	33640.18	a ³ G ₃	- 234

<u>λ</u>	<u>Arc</u>	<u>Spk</u>	<u>Auth.</u>	<u>σ</u>	<u>Comb.</u>	<u>Zeeman</u>	<u>Effect</u>
						g_1	g_2
2971.265	2	-	MF	33645.89	a ³ G ₃	-	235
2968.954	60	6	MIT	33672.09	a ³ F ₃	- w ³ D ₂ ^o	1.21 1.21 n
2968.482	15	-	MIT	33677.45	a ³ P ₂	- x ³ P ₁ ^o	1.537 1.364
2968.402	60	1	MF	33678.35	a ³ G ₄	- A226	
2967.341	30	1	MIT	33690.39	a ³ F ₄	- y ³ G ₃ ^o	
2967.056	15	-	MF	33693.63	b ³ P ₂	- 234	
2966.559	12	-	MIT	33699.28	b ³ P ₂	- 235	
2965.711	20	-	MIT	33708.91	a ³ H ₅	- 244	
2965.546	60	200	MIT	33710.78	a ³ F ₂	- w ³ D ₁ ^o ?	
2965.162	80	20	MIT	33715.15	a ⁵ F ₃	- w ⁵ F ₃ ^o	
2964.309	8	-	MIT	33724.85	a ³ D ₂	- 243	
2963.715	60	5	MIT	33731.61	a ³ F ₄	- z ¹ G ₄ ^o	
2961.689	60	3	MIT	33754.68	b ³ F ₂	- x ⁵ F ₃ ^o	
2960.975	30	1h	MIT	33762.82	a ⁵ P ₃	- x ³ F ₂ ^o	
2959.736	12	2h	MIT	33776.96	a ⁵ D ₄	- w ³ F ₃ ^o	1.444 1.233
2958.877	6	-	MF	33786.76	b ³ F ₃	- x ³ G ₃ ^o	
2958.000	60	5	MIT	33796.78	a ³ F ₃	- w ³ D ₃ ^o	1.191 1.167up
2956.152	5	-	MIT	33817.90	a ³ P ₂	- x ³ G ₃ ^o	
					or a ⁵ D ₄	- 186	
2955.842	15	-	MIT	33821.45	a ⁵ D ₁	- w ³ D ₁ ^o	
2955.359	50	1	MIT	33826.98	a ³ G ₃	- C235	(0.757) 1.163p
2954.486	100	20	MIT	33836.98	a ⁵ P ₂	- w ³ D ₃ ^o	1.558 1.160
					or a ⁵ D ₂	- w ³ D ₃ ^o	
2952.692	-	100	MIT	33857.53	b ³ F ₄	- z ³ I ₅ ^o ?	
2952.498	60	2	MIT	33859.76	a ⁵ F ₁	- y ³ D ₂ ^o	
2951.406	2	-	MF	33872.29	a ⁵ F ₃	- w ⁵ F ₂ ^o	
2950.715	5	-	MF	33880.22	b ³ P ₂	- C235	
2950.536	30	2	MIT	33882.27	a ³ H ₅	- B244	(1.041) 1.169p
2949.965	4	20	MIT	33888.83	a ⁵ P ₁	- v ³ D ₂ ^o ?	
2949.500	80	12	MIT	33894.17	a ³ F ₄	- y ³ G ₄ ^o	1.282 1.199
2948.858	tr	-	MF	33901.55	b ³ P ₂	- D235	
2946.991	60	12	MIT	33923.03	a ³ F ₃	- x ³ D ₂ ^o	1.201 1.015
2946.425	tr	-	MF	33929.54	a ³ G ₄	- w ³ F ₃ ^o	
2943.921	50	5	MIT	33958.40	a ⁵ D ₃	- x ³ F ₂ ^o	1.422 1.029

<u>λ</u>	<u>Arc</u>	<u>Spk</u>	<u>Auth.</u>	<u>σ</u>	<u>Comb.</u>	<u>Zeeman Effect</u>	<u>g_1</u>	<u>g_2</u>
2943.481	30	-	MIT	33963.48	a ⁵ P ₂ - x ³ D ₂ ^o			
2940.358	50	3	MIT	33999.55	a ⁵ D ₄ - x ³ F ₃ ^o	1.451	1.285	
2939.944	30	3	MIT	34004.34	a ³ P ₁ - w ⁵ D ₂ ^o	1.68	1.48	
2939.692	12	5	MIT	34007.25	b ³ F ₃ - w ³ G ₄ ^o	(1.086)	0.923p	
2939.160	25	-	MF	34013.41	a ⁵ F ₃ - z ³ P ₂ ^o			
2937.878	7	-	MF	34028.25	b ³ F ₂ - u ³ D ₃ ^o ?			
2937.342	20	-	MIT	34034.46	a ⁵ D ₁ - y ³ S ₁ ^o	(1.795)	1.533p	
2936.258	10	-	MIT	34047.02	a ⁵ F ₂ - x ⁵ D ₃ ^o			
2936.016	20	-	MIT	34049.83	a ⁵ D ₂ - y ³ S ₁ ^o	(1.232)	1.527p	
2934.841	tr	-	MF	34063.46	a ³ D ₁ - C244			
2934.653	15	-	MF	34065.64	a ¹ G ₄ - A242			
2934.185	30	-	MIT	34071.08	a ³ F ₄ - z ¹ H ₅ ^o			
2928.492	30	10	MIT	34137.31	a ³ P ₁ - u ³ D ₂ ^o	(1.684)	1.084p	
2925.076	10	-	MIT	34177.17	a ³ P ₂ - y ⁵ G ₃ ^o			
2921.156	8	-	MIT	34223.03	a ³ F ₄ - x ³ D ₃ ^o			
2930.257	30	-	MIT	34233.61	a ¹ G ₄ - A243			
2919.608	80	12	MIT	34241.18	a ⁵ F ₁ - z ³ P ₁ ^o	0.000	1.308	
2917.774	60	2	MIT	34262.70	a ³ F ₃ - w ³ F ₄ ^o			
2917.137	20	15	MIT	34270.18	a ³ P ₁ - u ³ D ₁ ^o	(1.684)	1.115p	
2916.255	100	25	MIT	34280.55	a ⁵ F ₄ - y ⁵ F ₄ ^o	1.35	1.35 n	
2915.625	20	-	MIT	34287.95	a ³ G ₅ - A226	(1.190)	1.030p	
2914.299	50	-	MIT	34303.55	a ³ P ₀ - u ³ D ₁ ^o	0/0	1.115	
2913.170	50	3	MIT	34316.85	a ³ P ₁ - w ⁵ D ₀ ^o	1.71	0/0 n	
2912.435	30	3	MIT	34325.50	a ³ F ₂ - v ³ D ₂ ^o			
2910.433	3	-	MF	34349.11	a ⁵ D ₀ - v ³ D ₁ ^o			
2908.877	-	8	MIT	34367.49	a ⁵ F ₁ - z ³ P ₀ ^o	0.00	0/0 n	
2906.315	30	5	MIT	34397.78	a ⁵ D ₄ - w ³ D ₃ ^o			
2905.828	20	5	MIT	34403.55	a ³ F ₄ - z ¹ F ₃ ^o			
2905.650	50	12	MIT	34405.65	a ⁵ F ₂ - z ³ P ₂ ^o	1.003	1.473	
2904.699	2	lwh	MF	34416.92	b ³ F ₃ - w ⁵ D ₃ ^o			
2904.193	3	-	MF	34422.92	a ⁵ D ₃ - y ¹ F ₃ ^o			
2903.079	6	2	MIT	34436.12	a ⁵ D ₁ - v ³ D ₂ ^o			
2902.860	4	-	MIT	34438.72	a ³ P ₀ - w ⁵ D ₁ ^o			
2902.098	6	-	MIT	34447.76	a ³ P ₂ - w ⁵ D ₃ ^o			
2901.937	12	5	MIT	34449.67	a ³ F ₃ - x ³ F ₂ ^o			

<u>λ</u>	<u>Arc</u>	<u>Spk</u>	<u>Auth.</u>	<u>σ</u>	<u>Comb.</u>	<u>Zeeman</u>	<u>Effect</u>
						<u>g_1</u>	<u>g_2</u>
2901.780	4	-	MIT	34451.54	a ⁵ D ₂ - v ³ D ₂ ^o		
2899.727	5	1	MIT	34475.93	b ³ F ₂ - u ³ D ₂ ^o		
2898.538	20	4	MIT	34490.07	a ⁵ P ₂ - x ³ F ₂ ^o		
2896.530	30	4	MIT	34499.86	a ⁵ F ₁ - y ³ D ₁ ^o		
2895.806	3	-	MF	34522.61	a ³ G ₄ - 234		
2893.730	2	-	MIT	34547.37	b ³ F ₃ - x ⁵ F ₃ ^o		
2892.475	10	-	MF	34562.36	a ⁵ F ₁ - x ⁵ D ₂ ^o		
2891.649	8	5	MIT	34572.23	a ³ H ₆ - B244	1.16	1.16 n
2891.139	5	-	MIT	34578.33	a ³ P ₂ - x ⁵ F ₃ ^o		
2887.995	30	4	MIT	34615.97	a ⁵ F ₄ - χ ⁵ F ₃ ^o	1.34	1.28
2886.536	60	50	MIT	34633.47	a ⁵ F ₂ - z ³ P ₁ ^o	1.001	1.318
2884.848	8	-	MIT	34653.73	a ⁵ F ₂ - y ³ D ₃ ^o		
2884.507	20	5	MIT	34657.83	a ³ F ₂ - v ³ D ₁ ^o		
2883.595	30	5	MIT	34668.79	a ⁵ F ₃ - x ⁵ D ₃ ^o	1.253	1.429
2882.584	4	1h	MIT	34680.95	a ⁵ P ₁ - x ³ P ₁ ^o		
2881.276	30	3	MIT	34696.81	a ⁵ F ₁ - x ⁵ D ₀ ^o	0.00	0/0 n
2880.230	2	-	MIT	34709.29	a ³ G ₄ - C235		
2879.755	50	12	MIT	34715.02	a ³ F ₄ - w ³ F ₃ ^o		
2879.360	3	-	MIT	34719.78	a ³ F ₂ - z ¹ D ₂ ^o		
2877.840	3	1	MIT	34738.12	a ⁵ P ₃ - y ³ D ₂ ^o		
2877.089	5	1	MIT	34747.18	a ³ P ₀ - B226		
2875.317	4	-	MIT	34768.60	a ⁵ D ₁ - v ³ D ₁ ^o		
2874.984	80	50	MIT	34772.62	a ⁵ F ₅ - χ ⁵ F ₅ ^o	1.40	1.40 n
2874.052	5	-	MIT	34783.90	a ⁵ D ₂ - v ³ D ₁ ^o		
2871.186	4	-	MIT	34818.62	a ³ G ₄ - A235		
2870.214	4	-	MIT	34830.41	a ⁵ D ₁ - z ¹ D ₂ ^o		
2868.537	5	-	MIT	34850.77	a ⁵ P ₂ - w ³ D ₁ ^o		
2868.412	5	-	MF	34852.29	a ³ P ₂ - u ³ D ₃ ^o		
2868.188	8	4	MIT	34855.01	b ³ F ₄ - 204?		
2867.463	3	-	MIT	34863.83	a ⁵ D ₄ - w ³ F ₄ ^o		
2866.644	60	25	MIT	34873.78	a ⁵ F ₃ - y ³ D ₂ ^o		
2863.969	3	-	MF	34906.35	a ⁵ F ₂ - y ³ D ₁ ^o		
2863.324	30	80	MIT	34914.22	a ³ F ₃ - y ¹ F ₃ ^o		
2863.000	6	-	MIT	34918.17	a ⁵ D ₂ - 204		

<u>λ</u>	<u>Arc</u>	<u>Spk</u>	<u>Auth.</u>	<u>σ</u>	<u>Comb.</u>	<u>Zeeman Effect</u>
						<u>g_1</u> <u>g_2</u>
2861.719	12	-	MIT	34933.80	a ⁵ D ₃ - v ³ D ₂ ^o	
2861.407	60	35	MIT	34937.61	a ³ F ₄ - x ³ F ₃ ^o	
2860.374	3	-	MIT	34950.22	a ⁵ G ₅ - B231	
2860.016	60	12	MIT	34954.60	a ⁵ P ₂ - y ¹ F ₃ ^o	
				or	a ⁵ F ₂ - x ⁵ D ₂ ^o	
2857.244	2	-	MF	34988.51	b ³ F ₄ - y ¹ H ₅ ^o	
2854.870	2	15	MIT	35017.60	a ³ P ₁ - 230	
2854.074	60	35	MIT	35027.37	a ⁵ F ₃ - z ³ P ₂ ^o	1.249 1.469
2851.107	3	-	MF	35063.82	a ⁵ P ₂ - y ³ S ₁ ^o	
2848.579	50	3	MIT	35094.93	a ⁵ F ₁ - x ⁵ D ₁ ^o	
2846.749	3	-	MIT	35117.49	a ³ F ₂ - x ³ P ₁ ^o	
2846.535	4	-	MF	35120.13	b ³ P ₂ - A242	
				or	a ³ H ₅ - 245	
2846.316	12	1	MIT	35122.84	b ³ F ₄ - w ⁵ D ₄ ^o	
2845.524	8	-	MIT	35132.61	a ⁵ P ₃ - z ¹ D ₂ ^o	
2843.171	30	3	MIT	35161.68	a ⁵ D ₁ - x ³ P ₂ ^o	
2842.755	20	-	MIT	35166.83	a ³ P ₂ - w ⁵ D ₂ ^o	1.793 1.420
2842.533	30	-	MIT	35169.57	a ³ D ₃ - 245	
2840.539	60	8	MIT	35194.26	a ³ F ₄ - x ³ G ₅ ^o	(1.284) 1.198p
2837.274	20	-	MIT	35234.76	a ³ G ₃ - A243	
2836.573	30	1h	MIT	35243.47	a ⁵ D ₂ - x ³ P ₁ ^o	
2836.147	20	-	MIT	35248.76	a ¹ G ₄ - 244	
2834.001	30	5	MIT	35275.45	a ⁵ F ₃ - y ³ D ₃ ^o	1.242 1.375
2832.625	20	-	MIT	35292.58	a ³ G ₄ - 239	
2832.045	3	-	MF	35299.81	a ³ P ₂ - u ³ D ₂ ^o	
2830.575	20	-	MF	35318.40	b ³ P ₂ - D243	
2829.160	50	8	MIT	35335.81	a ³ F ₄ - w ³ D ₃ ^o	
2827.869	30	12	MIT	35352.04	a ⁵ F ₄ - x ⁵ D ₄ ^o	
				or	z ⁷ D ₃ ^o - 63	
2827.522	5	8	MIT	35356.28	b ³ F ₂ - 230	
2823.892	5	-	MF	35401.72	b ³ P ₂ - E243	
2822.032	50	5	MIT	35425.04	a ³ F ₃ - v ³ D ₂ ^o	
2818.952	50	3	MIT	35463.76	a ⁵ P ₃ - x ³ P ₂ ^o	1.629 1.428
2818.815	30	-	MIT	35465.48	a ⁵ P ₂ - v ³ D ₂ ^o	
2818.361	50	12	MIT	35471.20	a ⁵ F ₅ - v ⁵ F ₄ ^o	

<u>λ</u>	<u>Arc</u>	<u>Spk</u>	<u>Auth.</u>	<u>σ</u>	<u>Comb.</u>	<u>Zeeman Effect</u>
						<u>g_1</u> <u>g_2</u>
2817.093	50	4	MIT	35487.16	$a^5F_2 - x^5D_1^o$ or $b^3F_4 - x^5F_4^o$	0.994 1.565
2814.869	30	-	MIT	35515.20	$a^5D_4 - y^1F_3^o$	
2810.553	50	200	MIT	35569.73	$a^5F_4 - x^5D_3^o$	
2810.033	50	12	MIT	35576.31	$a^5F_3 - x^5D_2^o$	1.269 1.462
2808.228	50	-	MIT	35599.17	$b^3F_2 - A231$	
2803.498	50	4	MIT	35659.24	$a^5D_3 - x^3P_2^o$	
2802.162	30	40	MIT	35676.24	$a^3G_4 - A241?$	
2801.865	30	-	MIT	35680.02	$b^3F_4 - y^5G_3^o$	
2800.130	20	-	MF	35702.13	$b^3F_4 - 211$	
2792.645	50	1	MIT	35797.8L	$a^5P_2 - x^3D_1^o$	
2791.052	10	3	MIT	35818.24	$a^5D_1 - y^5G_2^o$	
2786.723	112	--	MF	35873.88	$a^5F_2 - z^3S_1^o$	
2785.650	60	200	MIT	35887.70	$a^3F_2 - w^5D_3^o$	
2785.346	125	-	MF	35891.62	$a^3F_3 - 204$	
2784.882	6	-	MIT	35897.60	$b^3F_2 - 235$	
2784.342	tr	-	MF	35904.56	$a^3P_2 - 227$	
2782.209	50	1	MIT	35932.09	$a^5P_2 - 204$	
2777.497	5	50	MIT	35993.04	$a^5F_2 - y^5P_3^o?$	
2775.907	50	-	MIT	36013.65	$a^5D_2 - w^5D_3^o$	
2775.554	12	-	MF	36018.23	$a^3F_2 - x^5F_3^o$	
2775.185	50	-	MIT	36023.02	$a^3P_1 - 236$	
2774.483	60	2	MIT	36032.14	$a^5D_3 - x^5F_4^o$	
2772.963	30	8	MIT	36051.89	$a^5P_3 - 211$	
2772.612	50	-	MIT	36056.45	$a^3P_0 - 236$	
2770.701	60	-	MIT	36081.32	$b^3F_4 - w^5D_3^o$	
2770.299	60	3	MIT	36086.55	$a^5D_3 - w^3G_4^o$	
2769.912	10	-	MF	36091.59	$b^3F_3 - w^3F_3^o$	
2767.953	7	-	MF	36117.13	$a^3G_4 - A243$	
2767.710	20	-	MF	36120.31	$a^5P_3 - y^5G_2^o$	
2764.725	50	1	MIT	36159.30	$a^3F_3 - w^5D_4^o$	
2763.903	30	1	MIT	36170.05	$a^5P_1 - w^5D_2^o$	
2763.419	50	15	MIT	36176.39	$a^5F_4 - y^3D_3^o$	
2763.142	30	5	MIT	36180.02	$a^3P_2 - 230$	
2762.306	50	3	MIT	36190.97	$a^5P_2 - x^3P_2^o$	

<u>λ</u>	<u>Arc</u>	<u>Spk</u>	<u>Auth.</u>	<u>σ</u>	<u>Comb.</u>	<u>Zeeman Effect</u>
						<u>g_1</u> <u>g_2</u>
2759.690	100	2	MF	36225.27	a ⁵ D ₃ - y ⁵ G ₃ ^o	
2758.009	20	-	MIT	36247.35	a ⁵ D ₃ - 211	
2757.808	50	-	MIT	36250.00	a ³ G ₃ - 244	
2757.075	30	-	MIT	36259.63	a ⁵ D ₄ - y ⁵ G ₅ ^o	
2754.612	50	1	MIT	36292.05	a ³ F ₂ - u ³ D ₃ ^o	(1.089) 1.552p
				or	b ³ F ₃ - 231	
2753.986	25	-	MF	36300.30	a ⁵ P ₃ - w ⁵ D ₃ ^{o?}	
2752.266	30	-	MIT	36322.98	a ³ P ₂ - 231	
2750.350	50	-	MIT	36348.28	a ³ G ₄ - C243	
2749.837	60	-	MF	36355.06	b ³ F ₄ - u ³ D ₃ ^o	
2749.677	50	10	MIT	36357.18	b ³ P ₁ - G244	
				or	a ³ F ₃ - x ³ G ₃ ^o	
2749.033	20	-	MF	36365.70	a ³ F ₂ - w ³ G ₃ ^o	
2748.052	25	-	MF	36378.67	a ³ P ₁ - 240	
2747.972	50	100	MIT	36379.73	a ⁵ D ₄ - y ⁵ G ₄ ^{o?}	
2745.834	50	38	MIT	36408.06	b ³ F ₄ - 216	
2745.076	30	-	MIT	36418.11	a ⁵ D ₂ - u ³ D ₃ ^o	
2744.713	20	-	MF	36422.93	a ³ P ₂ - A231	
2743.936	50	100	MIT	36433.24	a ³ F ₄ - z ³ I ₅ ^{o?}	
2740.223	30	-	MIT	36482.61	a ⁵ P ₁ - w ⁵ D ₀ ^o	
2739.473	15	-	MF	36492.59	a ⁵ D ₄ - 204	
2739.218	60	5	MIT	36495.99	a ⁵ D ₃ - w ⁵ D ₃ ^o	
2735.718	60	60	MIT	36542.68	a ⁵ F ₅ - x ⁵ D ₄ ^o	(1.397) 1.474n
2734.135	6	-	MF	36563.84	a ⁵ D ₀ - u ³ D ₀ ^o	
2733.592	80	4	MIT	36571.10	a ⁵ P ₁ - w ⁵ D ₁ ^o	
2733.087	10	-	MIT	36577.86	a ³ F ₃ - w ³ G ₄ ^o	
2731.901	50	-	MIT	36593.73	a ⁵ P ₃ - A214	
2730.932	80	5	MIT	36606.72	a ³ F ₂ - w ⁵ D ₂ ^o	
2730.328	60	2	MIT	36614.81	a ⁵ F ₃ - y ⁵ P ₃ ^o	
2729.455	60	-	MIT	36626.52	a ⁵ D ₃ - x ⁵ F ₃ ^o	
2728.834	60	-	MIT	36634.86	b ³ F ₄ - w ³ G ₅ ^o	
2726.973	60	10	MIT	36659.96	a ¹ G ₄ - 245	
2726.368	12	0h	MF	36668.00	a ⁵ F ₁ - y ⁵ P ₁ ^o	
2724.063	60	4	MIT	36699.02	a ⁵ D ₀ - w ⁵ D ₁ ^o	

<u>λ</u>	<u>Arc</u>	<u>Spk</u>	<u>Auth.</u>	<u>σ</u>	<u>Comb.</u>	<u>Zeeman</u>	<u>Effect</u>
						g_1	g_2
2722.824	10	-	MIT	36715.72	a^3P_2	-	234
2722.697	40	4	MF	36717.46	a^5D_1	- w	$^5D_2^o$
				or	b^3F_2	-	240
2722.391	20	-	MIT	36721.56	a^3P_2	-	235
2721.562	60	5	MIT	36732.74	a^5D_2	- w	$^5D_2^o$
2719.515	100	30	MIT	36760.39	a^5D_4	- w	$^5D_4^o$
2717.399	50	100	MIT	36789.01	a^5F_1	- y	$^3P_0^o$
2717.007	30	-	MIT	36794.32	b^3P_1	-	C244
2715.776	50	-	MIT	36811.00	a^5F_1	- y	$^5P_1^o$
2715.241	20	5h	MIT	36818.25	a^3P_1	-	C242
2713.737	60	2h	MIT	36838.65	a^5D_4	- x	$^5F_5^o$
2713.070	-	80	MIT	36847.71	a^5P_2	- y	$^5G_2^o?$
2712.879	30	-	MIT	36850.30	a^5D_1	- u	$^3D_2^o$
2711.333	15	-	MF	36871.32	b^3F_3	-	C235
2710.738	20	-	MIT	36879.41	a^5P_1	-	B226
2709.766	20	-	MF	36892.64	b^3F_3	-	D235
2709.204	60	8	MIT	36900.29	a^5D_3	- u	$^3D_3^o$
2709.051	20	2h	MF	36902.37	a^3P_2	-	C235
2708.646	20	-	MIT	36907.89	a^5P_1	-	227
2707.971	50	3	MIT	36917.09	a^5F_3	- y	$^5P_2^o$
2707.473	30	-	MIT	36923.88	a^3P_2	-	D235
2705.329	12	-	MIT	36953.14	a^5D_3	-	216
2704.991	10	-	MF	36957.76	b^3F_2	-	241
				or	a^3G_5	-	C243
2703.801	60	3	MIT	36974.02	a^5D_3	- w	$^3G_3^o$
2703.316	12	-	MIT	36980.65	b^3F_3	-	A235
2703.125	25	-	MF	36983.27	a^5D_1	- u	$^3D_1^o$
2702.832	80	8	MIT	36987.28	a^3F_3	- w	$^5D_3^o$
2702.416	12	-	MIT	36992.97	a^3P_1	-	243
2701.338	60	8	MIT	37007.73	a^3F_2	- w	$^5D_1^o$
2700.481	50	-	MIT	37019.48	a^5P_3	- w	$^5D_2^o$
2699.883	30	3	MIT	37027.67	a^5P_2	- w	$^5D_3^o$
2699.805	40	2	MF	37028.74	a^5F_2	- y	$^3P_2^o$
2699.718	40	0	MF	37029.94	a^5D_1	- w	$^5D_0^o$
2698.054	12	6	MIT	37052.77	a^5F_4	- y	$^3F_4^o$

<u>λ</u>	<u>Arc</u>	<u>Spk</u>	<u>Auth.</u>	<u>σ</u>	<u>Comb.</u>	<u>Zeeman</u>	<u>Effect</u>
						<u>g_1</u>	<u>g_2</u>
2697.512	30	-	MIT	37060.22	a^5F_2 - $y^5P_1^o$		
2693.287	80	2h	MIT	37118.35	a^5D_1 - $w^5D_1^o$		
2692.844	30	-	MIT	37124.46	a^5D_4 - $x^5F_4^o$		
2692.271	40	-	MF	37132.36	a^3G_4 - E244		
2690.820	8	-	MIT	37152.38	a^5P_3 - $u^3D_2^o$		
				or	b^3F_4 - 225		
2690.399	20	-	MIT	37158.19	a^5P_2 - $x^5F_3^o$		
2689.897	50	-	MIT	37165.13	a^3P_2 - B235		
2688.900	30	-	MIT	37178.91	a^5D_4 - $w^3G_4^o$		
2688.587	30	1	MIT	37183.24	a^5P_1 - 230		
2687.138	12	-	MIT	37203.29	a^5F_2 - $y^3P_1^o$		
2686.294	80	12	MIT	37214.97	a^5D_3 - $w^5D_2^o$		
2679.762	12	1h	MIT	37305.69	a^3G_4 - B244		
2678.893	15	-	MF	37317.78	a^3F_4 - $y^5G_4^o$		
				or	a^5D_4 - $y^5G_3^o$		
2678.178	10	-	MIT	37327.74	a^5F_1 - $y^3F_2^o$		
2677.896	10	-	MIT	37331.67	b^3F_2 - 243		
2677.38	12	-	MIT	37339.73	a^5D_4 - 211		
2676.972	12	-	MIT	37344.56	a^3F_2 - 227		
2676.735	3	-	MF	37347.86	a^5D_3 - $u^3D_2^o$		
2674.837	12	-	MF	37374.36	b^3F_4 - A226		
2674.477	15	-	MF	37379.40	a^3P_2 - 238		
2673.603	50	3	MIT	37391.61	a^3F_3 - $u^3D_3^o$		
2670.717	8	-	MIT	37432.02	a^5P_2 - $u^3D_3^o$		
2668.345	20	-	MIT	37465.29	a^3F_3 - $w^3G_3^o$		
2667.968	50	-	MIT	37470.58	a^5D_2 - 227		
2665.722	12	-	MIT	37502.15	a^5P_3 - 225		
2665.468	20	-	MF	37505.73	a^5P_2 - $w^3G_3^o$		
2665.166	12	-	MF	37509.98	b^3F_3 - 240		
2664.757	60	5	MIT	37515.73	a^5F_4 - $y^5P_3^o$	1.346	1.625
2662.959		-	MF	37541.06	a^3P_2 - 240		
2661.438	10	-	MF	37562.51	a^3F_2 - $w^3F_3^o$		
2660.603	12	-	MIT	37574.30	b^3F_4 - $w^3F_4^o$		
2659.615	80	12	MIT	37588.26	a^5D_4 - $w^5D_3^o$		
2658.770	10	-	MIT	37600.20	b^3F_2 - E243		

<u>λ</u>	Arc	Spk	Auth.	<u>σ</u>	Comb.	Zeeman Effect	
						<u>g_1</u>	<u>g_2</u>
2657.381	12	-	MF	37619.86	a ³ F ₂	-	230
2656.834	15	-	MF	37627.60	a ⁵ P ₁	- w	³ F ₂ ^o
2656.692	30	-	MIT	37629.61	a ⁵ P ₃	-	226
2655.219	20	-	MIT	37650.49	a ⁵ F ₃	- y	³ P ₂ ^o
2654.465	8	-	MIT	37661.18	a ³ G ₃	-	245
2652.134	8	2	MIT	37694.28	b ³ F ₂	-	B243
2651.841	100	9	MIT	37698.44	a ³ F ₄	- w	⁵ D ₄ ^o
2651.292	60	5	MIT	37706.25	a ³ F ₃	- w	⁵ D ₂ ^o
2650.405	50	-	MIT	37718.87	a ⁵ D ₄	- x	⁵ F ₃ ^o
2649.992	20	-	MIT	37724.74	a ⁵ P ₁	-	235
2649.581	15	-	MF	37730.60	a ⁵ D ₁	-	230
2648.780	30	150	MIT	37742.01	a ³ G ₅	-	244
2648.500	12	-	MF	37746.00	a ⁵ D ₂	-	230
2648.451	20	1	MIT	37746.70	a ⁵ P ₂	- w	⁵ D ₂ ^o
				or	b ³ P ₁	-	246
2647.315	50	5	MIT	37762.89	a ³ F ₂	-	231
2642.960	150	-	MIT	37825.11	a ⁵ D ₃	-	226
2641.978	20	-	MIT	37839.17	a ³ F ₃	- u	³ D ₂ ^o
2641.462	12	-	MIT	37846.55	a ⁵ F ₄	- x	³ F ₄ ^o
2640.327	60	5	MIT	37862.83	a ³ F ₂	-	A231
2639.870	50	-	MIT	37869.38	a ³ P ₂	-	A241
2638.510	60	4	MIT	37888.90	a ⁵ D ₂	-	231
2636.968	15	-	MF	37911.06	a ⁵ F ₁	- x	³ D ₁ ^o
2636.670	60	-	MIT	37915.34	a ³ G ₅	-	B244
2635.861	30	100	MIT	37926.98	a ⁵ P ₁	-	D235
2632.504	50	1	MIT	37975.34	a ⁵ P ₃	- w	³ F ₃ ^o
2632.127	50	2	MIT	37980.78	a ³ P ₂	-	C242
2631.568	60	3	MIT	37988.84	a ⁵ D ₂	-	A231
2631.303	20	10	MIT	37992.67	a ⁵ D ₄	- u	³ D ₃ ^o
2630.235	50	1h	MIT	38008.09	b ³ F ₂	-	F243
2629.928	20	-	MIT	38012.53	a ⁵ P ₂	- u	³ D ₁ ^o
2628.534	12	-	MIT	38032.69	a ⁵ P ₃	-	230
2627.651	60	1	MIT	38045.41	a ⁵ D ₄	-	216
2626.475	50	-	MIT	38062.50	a ³ F ₄	- x	⁵ F ₄ ^o
2626.352	20	50	MIT	38064.29	a ³ F ₂	- w	³ F ₂ ^o

<u>λ</u>	<u>Arc</u>	<u>Spk</u>	<u>Auth.</u>	<u>σ</u>	<u>Comb.</u>	<u>Zeeman</u>	<u>Effect</u>
						g_1	g_2
2626.210	50	-	MIT	38066.35	a^5D_4	- w	$^3G_3^o$
2625.086	40	-	MF	38082.64	a^5D_4	- z	$^3H_4^o$
				or	b^3P_2	-	246
2622.721	3	-	MF	38116.98	a^3F_4	- w	$^3G_4^o$
2621.081	20	4	MIT	38140.83	b^3F_4	-	233
2620.982	25	-	MF	38142.12	a^3P_2	-	A242
2620.876	20	-	MIT	38143.81	a^5F_3	- y	$^3G_3^o$
2620.610	50	5	MIT	38147.68	a^5P_2	- w	$^5D_1^o$
2620.068	10	6	MIT	38155.58	a^3F_2	-	234
				or	a^3P_2	-	243
2619.671	50	5	MIT	38161.36	a^3F_2	-	235
2619.020	30	1h	MIT	38170.84	a^5D_3	- w	$^3F_3^o$
2618.740	10	-	MIT	38174.92	a^5D_1	- w	$^3F_2^o$
2617.789	50	4	MIT	38188.79	a^5P_1	-	236
2617.688	25	0	MF	38190.26	a^5D_2	- w	$^3F_2^o$
2615.093	60	100	MIT	38228.16	a^5D_3	-	230
2614.586	50	4	MIT	38235.57	a^5F_2	- z	$^1F_3^o?$
2614.068	60	3	MIT	38243.15	a^5F_4	- y	$^3F_3^o$
2613.206	5	10wh	MIT	38255.76	a^3F_4	- y	$^5G_3^o$
2612.917	5	-	MIT	38259.99	a^5F_4	- y	$^3G_5^o$
2612.068	100	30	MIT	38272.43	a^5D_4	- w	$^3G_5^o$
2611.702	20	-	MF	38277.79	a^3F_4	-	211
2611.605	12	-	MF	38279.21	b^3F_3	-	A243
2611.048	50	5	MIT	38287.37	a^5D_2	-	235
2609.485	30	6	MIT	38310.31	a^3P_2	-	A243
2609.057	80	12	MIT	38316.59	a^5D_0	-	236
				or	a^3F_3	-	226
2607.347	12	-	MIT	38341.72	a^5F_3	- y	$^3F_2^o$
2606.944	10	15	MIT	38347.65	a^5F_3	- y	$^3G_4^o$
2605.857	50	3	MIT	38363.64	a^3F_2	-	D235
2605.349	50	4	MIT	38371.12	a^5D_3	-	231
2604.318	12	-	MIT	38386.31	a^5P_3	-	B231
2602.995	10	2h	MF	38405.82	a^3P_1	-	F244
2601.775	7	-	MF	38423.83	a^3P_2	-	E243
2600.727	15	-	MF	38439.31	a^3P_0	-	F244

<u>λ</u>	Arc	Spk	Auth.	<u>σ</u>	Comb.	Zeeman Effect	
						g_1	g_2
2598.766	4	50	MIT	38468.31	a ⁵ D ₂	- C235?	
2598.678	5	-	MF	38469.62	a ⁵ F ₂	- wF ₂ ^o	
2598.581	20	-	MIT	38471.05	a ⁵ D ₃	- A231	
2597.680	2	-	MF	38484.40	a ⁵ P ₂	- 227	
2597.518	10	18	MIT	38486.79	b ³ F ₃	- B243	
2597.326	30	-	MIT	38489.64	a ⁵ D ₂	- D235	
2595.932	8	-	MIT	38510.31	b ³ F ₃	- C243	
2595.639	20	-	MIT	38514.65	b ³ F ₄	- A235	
2595.425	10	-	MIT	38517.83	a ³ P ₂	- B243	
2594.852	60	4	MIT	38526.33	a ³ F ₄	- w ⁵ D ₃ ^o	
2593.700	20	-	MIT	38543.44	a ³ G ₄	- 245	(1.033) 1.092up
2593.636	10	-	MIT	38544.39	a ⁵ P ₁	- 240	
2592.024	60	6	MIT	38568.36	a ⁵ P ₃	- 234	
2591.640	30	1	MIT	38574.08	a ⁵ P ₃	- 235	
2591.118	50	-	MIT	38581.85	a ⁵ D ₃	- D231	
2590.971	12	100	MIT	38584.04	a ⁵ D ₄	- 222	
2589.566	60	3	MIT	38604.97	a ³ F ₂	- B235	
2588.195	10	-	MIT	38625.42	a ³ F ₂	- 236	
2586.084	12	-	MIT	38656.95	a ³ F ₄	- x ⁵ F ₃ ^o	
2585.735	50	-	MIT	38662.16	a ³ F ₃	- w ³ F ₃ ^o	
2585.341	20	-	MIT	38668.05	b ³ F ₄	- B235	
2584.781	3	-	MF	38676.43	a ⁵ F ₃	- x ³ D ₃ ^o	
2584.138	50	3	MIT	38686.05	a ⁵ D ₃	- 233	
2582.115	2	-	MF	38716.36	b ³ F ₂	- A244	
2581.910	30	2	MIT	38719.44	a ³ F ₃	- 230	
2581.137	60	2	MIT	38731.03	a ⁵ D ₂	- B235	
2580.799	50	3	MIT	38736.10	a ⁵ D ₁	- 236	
2580.029	20	-	MF	38747.66	b ³ F ₄	- A237	
2579.776	25	-	MF	38751.46	a ⁵ D ₂	- 236	
2579.533	30	4	MIT	38755.10	a ⁵ P ₃	- C235	
2579.217	30	1	MIT	38759.86	a ⁵ P ₂	- 230	
2578.949	20	-	MIT	38763.89	a ⁵ D ₃	- 234	
2578.567	30	9	MIT	38769.63	a ⁵ D ₃	- 235	
2575.242	30	1	MIT	38819.68	a ³ F ₄	- A214	

<u>λ</u>	<u>Arc</u>	<u>Spk</u>	<u>Auth.</u>	<u>σ</u>	<u>Comb.</u>	<u>Zeeman Effect</u>
						<u>g_1</u> <u>g_2</u>
2573.203	4	-	MF	38850.44	a ⁵ F ₃	- A181
2572.409	30	1	MIT	38862.43	a ³ F ₃	- 231
2572.279	30	1	MIT	38864.40	a ⁵ P ₃	- A235
2571.085	6	100	MIT	38882.44	b ³ F ₄	- 238?
2569.736	20	-	MIT	38902.86	a ⁵ P ₂	- 231
2568.7676	60	8	MIT	38917.54	a ⁵ D ₄	- 226
2567.895	30	-	MIT	38930.74	a ³ F ₄	- u ³ D ₃ (1.284) 1.541p
2566.587	30	25	MIT	38950.58	a ⁵ D ₃	- C235
2565.808	12	5	MIT	38962.41	a ³ F ₃	- A231
2565.182	50	-	MIT	38971.91	a ⁵ D ₃	- D235
2564.809	-	4wh	MIT	38977.60	a ⁵ F ₅	- z ³ H ₆
2564.577	50	-	MIT	38981.11	a ³ F ₂	- 240
2564.417	8	-	MIT	38983.54	a ³ F ₄	- 216
2564.386	15	-	MF	38984.01	a ⁵ P ₁	- C242
2563.151	50	1	MIT	39002.79	a ⁵ P ₂	- A231
2563.044	7	-	MF	39004.42	a ³ F ₄	- w ³ G ₃
2562.173	5	-	MIT	39017.68	a ⁵ P ₃	- B235
2561.803	20	-	MIT	39023.31	b ³ F ₄	- A239
					or a ³ P ₀	-- C244
2560.894	25	-	MF	39037.17	a ⁵ F ₅	- x ³ F ₄
2560.521	7	-	MF	39042.85	a ⁵ F ₂	- w ³ D ₂
2560.262	60	5	MIT	39046.80	a ⁵ P ₃	- 237 (1.624) 1.322p
2559.405	30	4	MIT	39059.87	a ⁵ D ₃	- A235
2558.535	50	1	MIT	39073.15	a ³ F ₃	- B231
2557.697	30	5wh	MIT	39085.96	a ⁵ F ₄	- z ¹ G ₄
2557.325	7	-	MF	39091.64	a ⁵ D ₁	- 240
2556.947	15	-	MF	39097.42	a ⁵ P ₃	- A237
2556.312	50	-	MIT	39107.13	a ⁵ D ₂	- 240
2555.996	30	-	MIT	39111.97	a ⁵ D ₀	- C242
2553.310	6	5	MIT	39153.11	a ³ G ₅	- 245
2552.941	12	-	MF	39158.76	a ⁵ P ₁	- 243
2552.305	20	-	MIT	39168.52	a ⁵ F ₃	- w ³ F ₃
2551.726	30	-	MIT	39177.41	a ³ F ₃	- 233
2549.982	20	-	MF	39204.20	a ⁵ P ₂	- w ³ F ₂
2549.577	50	3	MIT	39210.43	a ³ F ₄	- w ³ G ₅

<u>λ</u>	<u>Arc</u>	<u>Spk</u>	<u>Auth.</u>	<u>σ</u>	<u>Comb.</u>	<u>Zeeman Effect</u>
						$g_1 \quad g_2$
2549.479	20	3	MIT	39211.94	a ⁵ D ₄	- w ³ F ₄ ^o
2548.870	15	-	MF	39221.31	a ³ F ₂	- 241
2548.172	15	-	MF	39232.05	a ⁵ P ₃	- 238
2547.508	12	-	MIT	39242.27	a ⁵ D ₃	- 237
2547.099	5	-	MF	39248.57	a ⁵ F ₄	- y ³ G ₄ ^o
2546.671	8	3	MIT	39255.17	a ³ F ₃	- 234
2546.299	25	-	MF	39260.91	a ³ F ₃	- 235
2546.153	20	-	MF	39263.15	a ⁵ D ₄	- w ³ F ₃ ^o
2545.495	12	-	MF	39273.30	a ⁵ F ₅	- z ³ H ₄ ^o
2544.222	60	6	MIT	39292.95	a ⁵ D ₃	- A237
2543.678	20	-	MIT	39301.36	a ⁵ P ₂	- 235
2543.164	60	-	MF	39309.30	a ³ F ₂	- A241
2541.284	50	-	MIT	39338.38	a ⁵ P ₃	- 239
2540.705	15	-	MF	39347.34	a ⁵ D ₂	- 241
2539.092	40	-	MF	39372.34	b ³ F ₄	- A241
2538.428	25	-	MF	39382.63	b ³ F ₄	- B241
2537.881	15	-	MF	39391.12	a ⁵ F ₃	- x ³ F ₃ ^o
2537.706	15	-	MF	39393.84	a ⁵ P ₃	- 240
2535.977	25	-	MF	39420.69	a ³ F ₂	- C242
2535.532	tr.	-	MF	39427.63	a ⁵ D ₃	- 238
2535.039	25	-	MF	39435.28	a ⁵ D ₂	- A241
2534.611	20	-	MF	39441.94	a ³ F ₃	- C235
2534.050	4	-	MF	39450.67	a ⁵ F ₅	- y ³ G ₅ ^o
2533.236	50	-	MIT	39463.33	a ³ F ₃	- D235
				or	a ⁵ D ₄	- 231
2532.374	20	-	MF	39476.78	b ³ F ₄	- B242
2532.015	10	-	MIT	39482.37	a ⁵ P ₂	- C235
2530.653	2	1	MF	39503.62	a ⁵ P ₂	- D235
2530.04	-	10	E+H	39513.19	a ⁵ D ₂	- 242
2529.464	20	-	MF	39522.19	a ³ F ₄	- 222
2528.878	60	2	MIT	39531.35	a ⁵ D ₁	- C242
2528.715	30	-	MIT	39533.90	a ⁵ D ₃	- 239
2527.608	25	-	MF	39551.21	a ³ F ₃	- A235
2527.352	5	4	MIT	39555.21	a ⁵ D ₀	- E243
2526.828	50	20	MIT	39563.41	a ⁵ D ₄	- A231

<u>λ</u>	<u>Arc</u>	<u>Spk</u>	<u>Auth.</u>	<u>σ</u>	<u>Comb.</u>	<u>Zeeman Effect</u>
						<u>g_1</u> <u>g_2</u>
2525.932	8	2wh	MIT	39577.45	a ⁵ F ₄	- x ³ D ₃
2526.632	30	-	MIT	39582.15	a ³ F ₂	- A242
2525.174	30	-	MIT	39589.33	a ⁵ D ₃	- 240
2522.320	12	2	MIT	39634.12	a ⁵ P ₃	- 241
2521.613	60	1	MIT	39645.23	b ³ F ₄	- A242
2520.366	4	-	MF	39664.84	a ⁵ F ₃	- w ³ D ₂
2517.616	50	-	MIT	39708.17	a ⁵ D ₂	- A242
2516.779	12	-	MF	39721.37	a ⁵ D ₂	- 243
2516.742	12	-	MF	39721.96	a ⁵ P ₃	- A241
2516.352	15	-	MF	39728.11	a ³ F ₄	- 225
2515.285	60	2	MIT	39744.96	a ⁵ P ₂	- B235
2514.882	25	0	MF	39751.33	a ⁵ F ₄	- A181
2514.460	100	1	MF	39758.00	a ⁵ F ₄	- z ¹ F ₃
2513.995	20	-	MF	39765.36	a ⁵ P ₂	- 236
2513.172	25	-	MF	39778.38	a ⁵ D ₄	- 233
2512.806	80	2	MIT	39784.17	a ³ F ₃	- A237
2512.481	4	8wh	MIT	39789.32	a ⁵ F ₃	- w ³ D ₃
2510.971	20	-	MIT	39813.25	b ³ F ₄	- A243
2510.515	15	-	MF	39820.47	a ⁵ F ₂	- x ³ F ₂
2510.139	30	-	MIT	39826.44	a ⁵ P ₃	- B242
2509.597	20	-	MF	39835.04	a ⁵ P ₁	- F243
2509.069	50	20	MIT	39843.42	b ³ F ₄	- D243
2508.306	100	5	MF	39855.54	a ³ F ₄	- 226
2508.267	50	2	MIT	39856.16	a ⁵ D ₄	- 234
2505.097	10	-	MF	39906.59	a ⁵ D ₂	- D243
2504.526	25	-	MF	39915.69	a ⁵ F ₃	- x ³ D ₂
2504.411	25	-	MF	39917.52	a ⁵ D ₃	- A241
2502.873	25	-	MF	39942.05	a ³ P ₁	- 246?
2502.377	20	4h	MIT	39949.97	a ³ F ₄	- A226
2501.888	30	30	MIT	39957.77	a ³ F ₂	- B243 (1.089) 1.029n
2500.838	30	-	MIT	39974.55	a ⁵ D ₁	- E243
2499.563	4	3	MIT	39994.94	a ⁵ P ₃	- A242
2499.537	7	-	MF	39995.35	a ⁵ D ₃	- 242
2497.874	20	-	MF	40021.98	a ⁵ D ₃	- B242
2497.678	50	1h	MIT	40025.12	a ³ F ₃	- 239

<u>λ</u>	<u>Arc</u>	<u>Spk</u>	<u>Auth.</u>	<u>σ</u>	<u>Comb.</u>	<u>Zeeman Effect</u>
						<u>g_1</u> <u>g_2</u>
2494.923	10	-	MF	40069.31	a ⁵ F ₄	- w ³ F ₃ ^o
2494.022	80	-	MIT	40083.79	a ⁵ D ₂	- B243
2491.712	25	-	MF	40120.95	a ⁵ P ₂	- 240
2489.912	60	-	MIT	40149.95	a ³ F ₄	- w ³ F ₄ ^o
2489.776	125	-	MF	40152.14	a ⁵ D ₄	- A235
					or a ³ P ₂	- C244
2487.405	60	-	MF	40190.41	a ⁵ D ₃	- A242
2486.738	20	-	MF	40201.19	a ³ F ₄	- w ³ F ₃ ^o
2486.586	20	-	MF	40203.65	a ⁵ D ₃	- 243
2483.395	20	-	MF	40255.30	a ⁵ F ₃	- w ³ F ₄ ^o
2482.083	40	-	MF	40276.58	a ⁵ F ₅	- z ¹ G ₄ ^o
2481.565	20	-	MF	40284.98	a ⁵ F ₂	- y ¹ F ₃ ^o
2480.302	60	-	MF	40305.50	a ⁵ D ₄	- B235
2479.359	20	-	MIT	40320.83	a ³ F ₃	- 241
2477.550	12	-	MF	40350.27	a ⁵ P ₁	- E244
2477.046	12	-	MF	40358.47	a ⁵ D ₃	- A243
2476.876	60	2	MIT	40361.24	a ⁵ P ₂	- 241
2476.308	50	-	MIT	40370.50	a ⁵ P ₃	- B243
2475.564	2	-	MF	40382.63	a ⁵ D ₁	- F243
2475.406	100	3	MIT	40385.21	a ⁵ D ₄	- A237
2475.191	2	-	MF	40388.72	a ⁵ D ₃	- D243
2474.407	12	-	MIT	40401.51	a ³ F ₄	- 231
2474.036	50	1wh	MIT	40407.57	a ⁵ P ₁	- D244
2472.099	40	-	MF	40439.23	a ⁵ F ₅	- y ³ G ₄ ^o
2471.487	30	-	MIT	40449.24	a ⁵ P ₂	- A241
2469.215	6	5h	MIT	40486.46	a ³ F ₃	- 242?
2468.303	20	-	MF	40501.42	a ³ F ₄	- A231
2467.578	30	-	MIT	40513.32	a ³ F ₃	- B242
2466.736	3	-	MF	40527.15	a ⁵ P ₂	- 242
2465.757	15	-	MF	40543.23	a ⁵ P ₁	- A244
2464.699	50	4	MIT	40560.64	a ⁵ P ₂	- C242
2464.365	12	-	MIT	40566.13	a ⁵ D ₃	- B243
2462.937	.60	-	MIT	40589.65	a ⁵ D ₃	- C243
2460.717	20	5	MIT	40626.26	a ⁵ D ₄	- 239
2458.621	60	2	MIT	40660.90	a ⁵ D ₄	= A239

<u>λ</u>	<u>Arc</u>	<u>Spk</u>	<u>Auth.</u>	<u>σ</u>	<u>Comb.</u>	<u>Zeeman</u>	<u>Effect</u>
						g_1	g_2
2457.995	8	2h	MIT	40671.25	a ⁵ D ₀	-	A244
2457.181	10	12	MIT	40684.73	a ⁵ P ₃	-	F243
2456.288	25	-	MF	40699.60	a ⁵ D ₀	-	F244
2454.923	60	5	MIT	40722.14	a ⁵ P ₂	-	A242
2450.584	10	-	MIT	40794.24	a ³ F ₄	-	234
2450.364	25	-	MF	40797.90	a ⁵ F ₁	-	z ¹ D ₂ ^o
2447.451	30	-	MIT	40846.46	a ⁵ D ₀	-	G244
2447.258	20	1	MF	40849.68	a ³ F ₃	-	A243
2445.438	25	-	MF	40880.09	a ⁵ D ₃	-	F243
				or	a ³ F ₃	-	D243
2444.831	60	-	MF	40890.23	a ⁵ P ₂	-	A243
2444.387	100	-	MF	40897.65	a ⁵ D ₁	-	E244
2443.475	7	-	MF	40912.92	a ⁵ D ₂	-	E244
2442.939	40	-	MF	40921.89	a ⁵ D ₄	-	241
2441.743	6	-	MIT	40941.93	a ⁵ F ₅	-	A181
2440.969	12	-	MIT	40954.92	a ⁵ D ₁	-	D244
2440.055	40	-	MF	40970.26	a ⁵ D ₂	-	D244
2439.413	12	-	MF	40981.04	a ³ F ₄	-	C235
2437.788	40	-	MF	41008.35	a ³ F ₂	-	F244
2437.084	20	-	MF	41020.20	a ⁵ D ₄	-	B241
2434.882	50	-	MIT	41057.29	a ³ F ₃	-	B243
2433.488	60	-	MF	41080.81	a ³ F ₃	-	C243
2433.075	40	-	MF	41087.78	a ⁵ D ₄	-	242
2432.927	60	-	MIT	41090.58	a ⁵ D ₁	-	A244
2432.068	3	-	MF	41104.79	a ³ P ₂	-	246
2431.992	25	-	MF	41106.08	a ⁵ D ₂	-	A244
2431.506	40	-	MF	41114.29	a ⁵ D ₄	-	B242
2431.221	3	-	MF	41119.11	a ⁵ D ₁	-	F244
2430.628	12	-	MF	41129.14	a ⁵ F ₁	-	x ³ P ₂ ^o
2427.741	2	12	MIT	41178.05	a ⁵ P ₃	-	244
2426.707	12	5	MIT	41195.59	a ⁵ F ₁	-	x ³ P ₁ ^o
2423.880	100	-	MF	41243.64	a ³ F ₄	-	B235
2423.092	8	-	MIT	41257.05	a ⁵ P ₃	-	D244
2422.766	15	-	MF	41262.60	a ⁵ F ₂	-	204

<u>λ</u>	<u>Arc</u>	<u>Spk</u>	<u>Auth.</u>	<u>σ</u>	<u>Comb.</u>	<u>Zeeman</u>	<u>Effect</u>
						g_1	g_2
2422.571	50	lh	MIT	41265.92	a ⁵ D ₁	- G244	
2422.177	12	8wh	MIT	41272.63	a ³ F ₄	- 237	
2419.207	60	-	MF	41323.30	a ³ F ₄	- A237	
2416.256	20	-	MF	41373.76	a ⁵ D ₃	- 244	
2415.009	25	-	MF	41395.12	a ⁵ D ₃	- E244	
2411.769	25	-	MF	41450.73	a ⁵ D ₄	- A243	
2411.354	2	-	MF	41457.86	a ³ F ₄	- 238	
2407.661	25	-	MF	41521.45	a ⁵ F ₂	- x ³ P ₂ ^o	
2405.182	12	2	MIT	41564.24	a ³ F ₄	- 239	
2403.804	15	-	MF	41588.06	a ⁵ D ₃	- A244	
				or	a ⁵ F ₂	- x ³ P ₁ ^o	
2403.566	15	-	MF	41592.18	a ³ F ₂	- C244	
2403.176	8	-	MIT	41598.93	a ³ F ₄	- A239	
2399.750	12	-	MIT	41658.32	a ⁵ D ₄	- B243	
2398.395	20	-	MF	41681.85	a ⁵ D ₄	- C243	
2397.185	2	-	MF	41702.89	a ⁵ D ₁	- C244	
2395.726	100	-	MF	41728.28	a ⁵ F ₂	- x ³ G ₃ ^o	
2395.094	2	-	MF	41739.29	a ⁵ F ₅	- x ³ G ₅ ^o	
2393.253	80	1	MIT	41771.32	a ⁵ F ₃	- y ⁵ G ₄ ^o	
2392.424	80	6	MIT	41785.87	a ⁵ F ₁	- y ⁵ G ₂ ^o	0.005 0.388
2391.176	6	3	MIT	41807.68	a ⁵ F ₄	- y ¹ F ₃ ^o	
2388.189	20	8	MIT	41859.96	a ³ F ₄	- 241	
2387.900	60	3	MIT	41865.03	a ³ F ₃	- 244	
2386.678	8	1	MIT	41886.46	a ³ F ₃	- E244	
2383.179	3	-	MF	41947.95	a ³ F ₄	- A241	
2382.589	2	-	MF	41958.34	a ³ F ₄	- B241	
2378.773	10	-	MF	42025.64	a ³ F ₄	- 242	
2377.262	3	-	MF	42052.35	a ³ F ₄	- B242	
2375.271	80	5	MIT	42087.60	a ⁵ F ₂	- y ⁵ G ₃ ^o	
2372.141	15	-	MF	42143.12	a ⁵ F ₃	- x ³ P ₂ ^o	
2370.173	60	-	MIT	42178.11	a ⁵ F ₂	- y ⁵ G ₂ ^o	
2367.775	4	-	MIT	42220.83	a ³ F ₄	" A242	
2360.724	8	2	MIT	42346.92	a ⁵ F ₅	- w ³ F ₄ ^o	
2360.555	30	-	MIT	42349.96	a ⁵ F ₃	- x ³ G ₃ ^o	

<u>λ</u>	<u>Arc</u>	<u>Spk</u>	<u>Auth.</u>	<u>σ</u>	<u>Comb.</u>	<u>Zeeman Effect</u>
						<u>g_1</u> <u>g_2</u>
2360.097	20	-	MIT	42358.17	a ⁵ F ₂	- w ⁵ D ₃ ^o
2354.100	4	1	MIT	42466.07	a ⁵ D ₄	- 244
2352.842	10	-	MF	42488.77	a ⁵ F ₂	- x ⁵ F ₃ ^o
2351.334	60	4	MIT	42516.12	a ⁵ F ₃	- x ⁵ F ₄ ^o
2349.763	2	-	MF	42544.44	a ³ F ₂	- 246
2349.336	60	4	MIT	42552.17	a ⁵ F ₄	- y ⁵ G ₅ ^o
2348.327	50	-	MF	42570.46	a ⁵ F ₃	- w ³ G ₄ ^o
2344.534	5	1	MIT	42639.32	a ⁵ D ₄	- B244
2342.72	60	10	MF	42672.33	a ⁵ F ₄	- y ⁵ G ₄ ^o
2340.691	60	4	MIT	42708.99	a ⁵ F ₃	- y ⁵ G ₃ ^o
2339.49	20	-	MF	42731.24	a ⁵ F ₃	- 211
2337.779	7	-	MF	42762.51	a ⁵ F ₂	- u ³ D ₃ ^o
2336.565	3	-	MF	42784.73	a ⁵ D ₃	- 245
2335.74	12	-	MF	42799.84	a ⁵ F ₃	- y ⁵ G ₂ ^o
2334.768	2	-	MF	42817.66	a ⁵ F ₁	- u ³ D ₂ ^o
2333.758	6	-	MF	42836.19	a ⁵ F ₂	- w ³ G ₃ ^o
2327.532	10	-	A	42950.76	a ⁵ F ₁	- u ³ D ₁ ^o
2325.956	30	-	A	42979.86	a ⁵ F ₃	- w ⁵ D ₃ ^o
2322.012	60	2	A	43052.85	a ⁵ F ₄	- w ⁵ D ₄ ^o
2320.701	50	-	MIT	43077.17	a ⁵ F ₂	- w ⁵ D ₂ ^o
2320.230	20	-	A	43085.92	a ⁵ F ₁	- w ⁵ D ₁ ^{o?}
2318.911	40	-	MF	43110.42	a ⁵ F ₃	- x ⁵ F ₃ ^o
2316.626	4	-	MF	43152.94	a ⁵ D ₃	- 246
2313.566	6	-	MF	43210.01	a ⁵ F ₂	- u ³ D ₂ ^o
2310.028	tr	-	MF	43276.18	a ³ F ₃	- 245
2302.541	80	3	MIT	43416.88	a ⁵ F ₄	- x ⁵ F ₄ ^o
2302.233	8	-	A	43422.69	a ⁵ F ₁	- 227
2300.367	50	-	A	43457.91	a ⁵ F ₃	- w ³ G ₃ ^o
2299.29	50	-	A	43478.27	a ⁵ F ₂	- w ⁵ D ₁ ^o
2294.058	60	-	MF	43577.42	a ³ F ₄	- B244
2292.337	20	-	MIT	43610.17	a ⁵ F ₄	- y ⁵ G ₃ ^o
2291.177	60	1	MIT	43632.21	a ⁵ F ₄	- 211
2287.68	60	1	A	43698.90	a ⁵ F ₃	- w ⁵ D ₂ ^o
2285.380	80	1	MIT	43742.87	a ⁵ F ₅	- y ⁵ G ₅ ^o
2280.741	tr	-	MF	43831.84	a ⁵ F ₃	- u ³ D ₂ ^o

<u>λ</u>	Arc	Spk	Auth.	<u>σ</u>	Comb.	Zeeman Effect	
						g_1	g_2
2278.393	3	-	MF	43877.00	a ⁵ D ₄	- 245	
2278.19	80	-	A	43880.91	a ⁵ F ₄	- w ⁵ D ₃	
2273.278	tr	-	MF	43975.72	a ⁵ F ₃	- 222	
2272.089	100	3	MIT	43998.79	a ⁵ F ₅	- y ⁵ G ₆	
2271.436	4	-	MF	44011.38	a ⁵ F ₄	- x ⁵ F ₃	
2270.311	5	-	MF	44033.18	a ⁵ F ₂	- w ³ F ₃	
2267.366	6	-	MF	44090.37	a ⁵ F ₂	- 230	
2264.686	10	-	MF	44142.54	a ⁵ F ₁	- w ³ F ₂	
2263.066	tr	-	MF	44174.14	a ⁵ F ₄	- A214	
2262.278	40	-	A	44181.71	a ⁵ F ₃	- 225	
2259.515	150	-	MF	44243.55	a ⁵ F ₅	- w ⁵ D ₄	
2256.170	15	-	MF	44309.14	a ⁵ F ₃	- 226	
2255.521	80	3	MIT	44321.89	a ⁵ F ₅	- x ⁵ F ₅	
2254.946	10	-	MF	44333.19	a ⁵ F ₂	- A231	
2254.701	25	-	MF	44338.01	a ⁵ F ₄	- 216	
2253.64	50	-	MF	44358.88	a ⁵ F ₄	- w ³ G ₃	
2249.43	8	-	MF	44441.89	a ⁵ F ₁	- D235	
2246.911	2	-	MF	44491.71	a ⁵ F ₅	- C208	
2243.220	20	1	MIT	44564.91	a ⁵ F ₄	- w ³ G ₅	
2241.278	2	-	MF	44603.52	a ⁵ F ₃	- w ³ F ₄	
2241.07	60	-	MF	44607.66	a ⁵ F ₅	- x ⁵ F ₄	
2240.138	2	-	MF	44626.22	a ⁵ F ₂	- 234	
2239.85	8	-	A	44631.95	a ⁵ F ₂	- 235	
2238.701	4	-	MF	44654.86	a ⁵ F ₃	- w ³ F ₃	
2236.256	5	-	MF	44703.68	a ⁵ F ₁	- 236	
2235.84	12	-	A	44712.00	a ⁵ F ₃	- 230	
2230.804	8	2	MIT	44812.92	a ⁵ F ₂	- C235	
2230.687	3	-	MF	44815.27	a ³ F ₄	- 245	
2230.31	30	-	A	44822.84	a ⁵ F ₅	- 211	
2229.747	2	-	MF	44834.17	a ⁵ F ₂	- D235	
2228.703	7	-	MF	44855.16	a ⁵ F ₃	- 231	
2227.64	30	-	A	44876.52	a ⁵ F ₄	- 222	
2223.750	3	-	MF	44955.06	a ⁵ F ₃	- A231	
2217.455	3	-	MF	45082.66	a ⁵ F ₄	- 225	
2216.801	2	-	MF	45095.96	a ⁵ F ₁	- 236	

<u>λ</u>	<u>Arc</u>	<u>Spk</u>	<u>Auth.</u>	<u>σ</u>	<u>Comb.</u>	<u>Zeeman Effect</u>
						$g_1 \quad g_2$
2211.210	5	-	MF	45209.98	a ⁵ F ₄	- 226
2209.359	3	-	MF	45247.84	a ⁵ F ₃	- 234
2209.074	10	-	MIT	45253.68	a ⁵ F ₃	- 235
2203.658	7	-	MF	45364.89	a ⁵ F ₅	- A214
2200.28	8	-	A	45434.53	a ⁵ F ₃	- C235
2199.451	4	-	MF	45451.65	a ⁵ F ₁	- 240
2196.904	12	-	MF	45504.34	a ⁵ F ₄	- w ³ F ₄ ^o
2195.73	12	-	A	45528.67	a ⁵ F ₅	- 216
2187.629	3	-	MF	45697.25	a ⁵ F ₃	- B235
2186.242	tr	-	MF	45726.24	a ⁵ F ₃	- 237
2184.830	5	-	MF	45755.79	a ⁵ F ₄	- 231
				or	a ⁵ F ₅	- w ³ G ₅ ^o
2183.823	6	-	MF	45776.88	a ⁵ F ₃	- A237
2183.686	10	-	MF	45779.76	a ⁵ F ₂	- A241
2180.055	3	-	MF	45855.99	a ⁵ F ₄	- A231
2178.386	3	-	MF	45891.12	a ⁵ F ₂	- C242
2177.419	10	-	MF	45911.50	a ⁵ F ₃	- 238
2175.973	7	-	MF	45942.00	a ⁵ F ₁	- E243
2174.804	7	-	MF	45966.70	a ⁵ F ₄	- B231
2172.386	5	-	MF	46017.86	a ⁵ F ₃	- 239
2170.126	7	-	MF	46065.77	a ⁵ F ₂	- 243
2170.060	7	-	MF	46067.17	a ⁵ F ₅	- 222
2169.773	12	-	MF	46073.27	a ⁵ F ₃	- 240
2166.226	12	-	MF	46148.70	a ⁵ F ₄	- 234
2162.855	2	-	MF	46220.62	a ⁵ F ₂	- A243
2160.400	12	-	MF	46273.13	a ⁵ F ₅	- 225
2158.515	2	-	MF	46313.54	a ⁵ F ₃	- 241
2157.548	6	-	MF	46334.29	a ⁵ F ₂	- E243
2152.419	15	-	MF	46444.69	a ⁵ F ₄	- A235
2150.819	10	H	MF	46479.24	a ⁵ F ₃	- 242
2150.088	6	-	MF	46495.04	a ⁵ F ₅	- A226
2149.586	7	-	MF	46505.89	a ⁵ F ₃	- B242
2145.337	7	-	MF	46597.99	a ⁵ F ₄	- B235
2144.000	15	-	MF	46627.05	a ⁵ F ₄	- 237
2140.88	12	-	A	46694.99	a ⁵ F ₅	- w ³ F ₄ ^o

<u>λ</u>	<u>Arc</u>	<u>Spk</u>	<u>Auth.</u>	<u>σ</u>	<u>Comb.</u>	<u>Zeeman Effect</u>
						<u>g_1</u> <u>g_2</u>
2135.510	3	-	MF	46812.40	a ⁵ F ₄	- 238
2134.146	tr	-	MF	46842.29	a ⁵ F ₃	- A243
2133.114	4	-	MF	46864.97	a ⁵ F ₁	- E244
2130.672	4	-	MF	46918.68	a ⁵ F ₄	- 239
2129.103	10	-	MF	46953.25	a ⁵ F ₄	- A239
2124.73	4	-	A	47049.87	a ⁵ F ₃	- B243
2123.67	4	-	A	47073.36	a ⁵ F ₃	- C243
2115.21	3	-	A	47261.61	a ⁵ F ₅	- 233
2109.915	3	-	MF	47380.26	a ⁵ F ₄	- 242
2105.53	2	-	A	47478.86	a ⁵ F ₂	- F244
2090.60	4	-	A	47817.89	a ⁵ F ₅	- 237
2088.86	2	-	A	47857.71	a ⁵ F ₃	- 244
2085.427	3	-	MF	47936.48	a ⁵ F ₃	- D244
2076.43	4	-	A	48144.16	a ⁵ F ₅	- A239
2059.84	2	-	A	48531.86	a ⁵ F ₅	- B241
2050.259	2	-	MF	48758.63	a ⁵ F ₄	- 244
2029.022	tr	-	MF	49268.89	a ⁵ F ₃	- 245
2013.981	tr	-	MF	49636.79	a ⁵ F ₃	- 246

Supplement to Table IX

<u>λ</u>	Arc	Spk	Auth.	<u>σ</u>	Comb.	Zeeman Effect	
						<u>g_1</u>	<u>g_2</u>
6982.02	125	-	MF	14318.56	$z^5D_3^0 - A43$		
6824.09	200	-	MIT	14649.93	$z^5D_2^0 - A43$		
					or $z^5F_1^0 - e^5F_1$		
6766.95	30	-	MIT	14773.64	$z^5D_0^0 - e^5F_1$		
6702.053	3	-	MF	14916.69	$z^5F_2^0 - e^5F_1$		
6296.216	15	-	MIT	15878.17	$z^5D_2^0 - e^5F_1$		
6006.946	tr	-	MF	16642.80	$z^7D_2^0 - 46$		
5692.117	2	-	MF	17563.31	$z^7D_1^0 - e^5F_1$		
5454.816	100	-	MIT	18327.34	$z^5S_2^0 - 56$		
3516.186	3	-	MIT	28431.81	$a^3H_4 - 216$		
3405.133	10	-	MF	29359.04	$a^3D_3 - w^3G_3$		
2570.086	10	-	MIT	38897.56	$a^5F_5 - z^3H_6^0$		